

**Senirkent-Uluborlu (Isparta) Havzasının  
Hidrojeoloji İncelemesi**

**Fatma SEYMAN**

**Yüksek Lisans Tezi  
Jeoloji Mühendisliği  
Anabilim Dalı  
Isparta-2005**

T.C.  
SÜLEYMAN DEMİREL ÜNİVERSİTESİ  
FEN BİLİMLERİ ENSTİTÜSÜ

**SENİRKENT-ULUBORLU (ISPARTA) HAVZASININ  
HİDROJEOLOJİ İNCELEMESİ**

**FATMA SEYMAN**

**DANIŞMAN**  
**Prof. Dr. REMZİ KARAGÜZEL**

**YÜKSEK LİSANS TEZİ**  
**JEOLOJİ MÜHENDİSLİĞİ ANABİLİMDALI**

**ISPARTA 2005**

## İÇİNDEKİLER

	Sayfa
İçindekiler.....	i
Özet.....	iii
Abstract.....	v
Teşekkür.....	vii
Şekiller Dizini.....	viii
Çizelgeler Dizini.....	ix
1.GİRİŞ.....	1
1.1. Çalışmanın Amacı.....	1
2.KAYNAK ÖZETLERİ.....	2
2.1.Önceki Çalışmalar.....	2
3. MATERİYAL ve YÖNTEM.....	7
3.1.İnceleme Alanının Tanıtılması.....	7
3.2. Çalışma Yöntemleri.....	10
4. ARAŞTIRMA BULGULARI.....	12
4.1. Stratigrafi.....	12
4.1.1. Otokton Birimler.....	12
4.1.1.1. Sarıyardere Dolomiti (TRs).....	12
4.1.1.2. Yassiviran Kireçtaşı (Jy) .....	14
4.1.1.3. Suuçandere Kireçtaşı (JKs).....	16
4.1.1.4. Uluborlu Formasyonu (Tu).....	17
-İncesu Konglomera Üyesi (Tui).....	19
4.1.1.5. Zendevi Volkanitleri (Tz).....	20
4.1.1.6. Pupa Çayı Konglomerası (Pp).....	21
4.1.1.7. Pliyosen Karasal Çökelleri (Pl).....	22
4.1.1.8. Eski Alüvyon (Qel).....	22
4.1.1.9. Yamaç Molozu (Qy).....	22
4.1.1.10. Alüvyon (Qa).....	23
4.1.2. Allokton Birimler.....	23
4.1.2.1. Kapıdağ Kireçtaşı (Kk).....	23
4.2. Yapısal Jeoloji.....	25
4.2.1. Faylar.....	26
4.3. Jeolojik Evrim.....	27
4.4. Hidroloji.....	29
4.4.1. Yağış.....	29
4.4.2. Buharlaşma.....	35
4.4.3. Akış.....	43
4.4.4. Su Bilançosu.....	43
4.5. Hidrojeoloji.....	47
4.5.1.Su Noktaları.....	47
4.5.1.1. Akarsular.....	47
4.5.1.2. Kaynaklar.....	53
4.5.1.3.Sondaj Kuyuları ve Sığ Kuyular.....	57
4.5.1.4.Gölßer.....	61
4.5.2. Litolojik Birimlerin Hidrojeolojik Özellikleri.....	62

4.5.2.1. Geçirimli Birim(Gç1).....	62
4.5.2.2. Geçirimli Birim(Gç2).....	63
4.5.2.3. Geçirimli Birim(Gç3).....	64
4.5.2.4. Yarı Geçirimli Birim (Gy).....	64
4.5.2.5. Geçirimsiz Birim (Gz).....	64
4.5.3. Akiferlerin Hidrojelanjik Parametreleri .....	65
4.5.4. Yeraltısu Dinamiği.....	68
4.5.4.1. Yeraltısu Seviye Haritaları .....	68
4.5.4.2. Yeraltısu Seviye Değişimi.....	69
4.6. Su Kimyası.....	70
4.6.1. Yeraltılarının Genel Kimyasal Özellikleri.....	70
4.6.1.1. Sertlik.....	73
4.6.1.2. Hidrojen İyon Konsantrasyonu (pH).....	73
4.6.1.3. Özgül Elektriksel İletkenlik (EC) .....	74
4.6.1.4. Sodyum Absorpsiyon Oranı (SAR).....	74
4.6.1.5. Sodyum İyon Yüzdesi (% Na).....	75
4.6.2. Yeraltılarının Kimyasal Sınıflaması.....	75
4.6.2.1. Scholler (1995'e) Göre Suların Sınıflandırılması.....	75
4.6.2.2. Piper Diyagramına Göre Suların Sınıflaması.....	76
4.6.3. Suların Kullanım Özellikleri.....	78
4.6.3.1. Suların İçilebilebilirlik Özellikleri .....	78
4.6.3.2. Scholler'e Göre Suların İçilebilirlik Özellikleri.....	81
4.6.3.3. Suların Sulamada Kullanım Özellikleri.....	83
4.6.4. Yeraltısu Kirliliği.....	86
5. TARTIŞMA ve SONUÇLAR.....	90
6. YARARLANILAN ve DEĞİNİLEN KAYNAKLAR.....	93
7. ÖZGEÇMİŞ.....	97
8. EKLER.....	
EK-1 : Senirkent-Uluborlu Havzasının Jeoloji Haritası	
EK-2 : Senirkent-Uluborlu Havzasının Jeoloji Kesitleri	
EK-3 : Senirkent-Uluborlu Havzasının Eş Yağış Haritası	
EK-4 : Senirkent-Uluborlu Havzasının Drenaj Ağı Haritası	
EK-5 : Senirkent-Uluborlu Havzasının Hidrojeoloji ve Yeraltısu Seviye Haritası (Eylül 2003)	
EK-6 : Senirkent-Uluborlu Havzasının Yeraltısu SeviyeHaritası (Mayıs 2004)	
EK-7 : Sondaj Kuyuları Debi Haritası	
EK-8 : Senirkent-Uluborlu Havzasının Hidrojeokimya Haritası	
EK-9 : Kuyu Hidroliği Grafikleri	
EK-10 : Yüzey ve Yeraltılarında Ağır Metal, Nitrat, Nitrit ve Amonyak Konsantrasyonları Dağılım Haritaları	

## ÖZET

Bu çalışma Süleyman Demirel Üniversitesi, Fen Bilimleri Enstitüsü Jeoloji Mühendisliği Anabilimdalı'nda yüksek lisans tezi olarak hazırlanmıştır.

Bu çalışmada, ülkemizin önemli tatlı su rezervuarlarından biri olan Eğirdir Gölü su toplama alanı içerisinde bulunan, Senirkent-Uluborlu havzasında yeraltısı su potansiyelini ve kalitesini belirlemek amacıyla hidrojeolojik havza etüdü yapılmıştır. Bu çalışmalar doğrultusunda havzada; jeoloji, hidroloji, hidrojeoloji ve hidrojeokimyasal incelmeler yapılmıştır. Bu incelemeler Senirkent-Uluborlu havzasının yüzey drenaj alanı içerisinde gerçekleştirılmıştır.

Jeoloji çalışmalarında; inceleme alanında yer alan birimlerin jeolojik yapısına açıklık getirmek amacıyla, bölgede yapılmış önceki çalışmalar incelenmiş ve saha çalışmaları ile revize edilerek sahanın 1/100 000 ölçekli jeoloji haritası ve yeraltı jeolojisine açıklık getirmek amacıyla enine jeolojik kesitleri hazırlanmıştır. Bölgede yeralan kaya birimleri özelliklerine ve birbirleriyle olan ilişkilerine göre allokton ve otokton olmak üzere 2 grup altında toplanmıştır. Otokton birimler yaşıdan gence doğru; Sarıyardere dolomiti, Yassıviran kireçtaşı, Suuçandere kireçtaşı, Uluborlu formasyonu, İncesu konglomera üyesi, Zendevi volkanitleri, Pliyosen karasal çökeller, Pupa Çayı konglomerası, Eski alüvyon, Yamaç molozu ve Alüvyondan oluşmaktadır. Bölgede allokton birim olarak Kapıdağı kireçtaşı bulunmaktadır.

Hidrojeoloji çalışmalarında; inceleme alanında gözlenen litolojik birimlerin hidrojeolojik özelliklerine göre, geçirimli ( $G_c$ ), yarı geçirimli ( $G_y$ ) ve geçirimsiz birimler ( $G_z$ ) olarak değerlendirilmiş ve bogenin 1 / 100 000 ölçekli hidrojeoloji haritası hazırlanmıştır.

Alüvyon akiferin hidrojeolojik parametreleri ( $K, T, S$ ), DSİ 18. Bölge Müdürlüğü tarafından açılan sondaj kuyularında yapılmış olan pompa deney verilerinden yararlanarak belirlenmiştir. Bu verilere göre hidrojeolojik parametreler ortalama olarak; Senirkent bölgesi için,  $K = 3,24 \times 10^{-5}$  m/sn,  $T = 3,44 \times 10^{-3}$  m<sup>2</sup>/sn,  $S = 2,81 \times 10^{-2}$ , Uluborlu bölgesi için  $K = 6,15 \times 10^{-6}$  m/sn,  $T = 1,84 \times 10^{-3}$  m<sup>2</sup>/sn,  $S = 1,95$ 'dir.

Havzada yeraltısı su dinamiğine açıklık getirmek amacıyla hazırlanan yeraltısı su seviye haritasından akım yönünün Eğirdir Gölü'ne doğru olduğu görülmüştür.

Hidroloji çalışmalarında; inceleme alanına ait yağış, buharlaşma-terleme ve akış verilerinden yararlanılarak havza için toplam beslenim ( $465,174 \times 10^6$  m<sup>3</sup>/yıl) ve toplam boşalım ( $375,84 \times 10^6$  m<sup>3</sup>/yıl) miktarları hesaplanmıştır. Bilanço farkı  $90 \times 10^6$  m<sup>3</sup>/yıl olarak bulunmuştur. Bu hesaplama göre havzada emniyetli olarak kullanılabilen su miktarı, bilanço farkının %60'ı olan  $54 \times 10^6$  m<sup>3</sup>/yıl olarak belirlenmiştir.

Çalışma alanında suların hidrojeokimyasal özelliklerini belirlemek amacıyla, temsili lokasyonlardan alınan, yüzey ve yeraltısı su örneklerinin hidrojeokimyasal analizleri yapılmıştır. Su kimyasının litoloji ile ilişkisi ve bölgesel farklılığını görmek amacıyla 1/100 000 ölçekli hidrojeokimya haritası hazırlanmıştır. Havzadaki sular Piper diyagramına göre Ca-Mg-HCO<sub>3</sub>'lı sular olduğu ve karbonatlı kayaçlardan beslendiği görülmektedir. Schöeller diyagramına göre çok iyi-iyi kaliteli sular, ABD Tuzluluk Laboratuvarı diyagramına göre C<sub>2</sub>S<sub>1</sub> sınıfında, Wilcox diyagramlarına göre çok iyi-iyi kullanılabilir sular sınıflarında yer almaktadır.

İnceleme alanında yüzey ve yeraltı sularının kirliliklerinin belirlenmesi için yapılan nitrat ( $\text{NO}_3$ ), nitrit ( $\text{NO}_2$ ), amonyak ( $\text{NH}_4$ ) ve ağır metal analiz sonuçlarına göre, havzada suların dış kökenli kirleticilerden olumsuz etkilendiği sonucuna varılmıştır.

**Anahtar Kelimeler:** Jeoloji, hidrojeoloji, Senirkent-Uluborlu, su bilançosu, su kimyası

## ABSTRACT

This study has been prepared as master thesis in Geological Engineering Section of the Graduate School of Natural and Applied Sciences of Süleyman Demirel University.

In this study, hydrogeological basin investigation has been carried out to determine the quality and potential of groundwater of Senirkent-Uluborlu basin occurring in the Eğirdir Lake fresh water basin, which is one of the most important fresh water basins in our country. For this purpose, geological, hydrology, hydrogeology and hydrochemical features of the Senirkent-Uluborlu basin constrained by surface drainage area have been determined.

By using previous works made in the study area, 1/100 000 scale geological map and cross-sections of the study area have been prepared. The lithological units, which make up of the area were separated into two groups as autochthonous and allochthonous units. Autochthonous units consists from oldest to youngest of Sarıyardere dolomite, Yassıviran, Suçandere limestones, Uluborlu formation, İncesu conglomerate members, Zendevi volcanites, Pliocene terrestrial sediment, Pupaçayı conglomerate, old alluvium, slope wash and alluvium. Kapıdağ limestone is only the allochthonous unit in the area:

The lithological units have been evaluated as permeable, semi-permeable, impermeable units in terms of their hydrogeological features and 1/100 000 scale hydrogeological map was made.

Hydrogeologic parameters ( $K, T, S$ ) of alluvium aquifer were estimated by using results of pump experiment made by DSİ 18. Regional Management. Accordig to these results, hydrogeological parameters for Senirkent area are  $T = 3.44 \times 10^{-3} \text{ m}^2/\text{s}$ ,  $K = 3.24 \times 10^{-5} \text{ m/s}$ ,  $S = 2.81 \times 10^2$ , and for Uluborlu area;  $T = 1.84 \times 10^{-3} \text{ m}^2/\text{s}$ ,  $K = 6.15 \times 10^{-6} \text{ m/s}$ ,  $S = 1.95$ .

Groundwater map of the study area shows that direction of groundwater flow is towards the Eğirdir Lake.

By using precipitation, evaporation-transpiration, flow data of the area, total recharge and discharge were found as  $465,174 \times 10^6 \text{ m}^3/\text{year}$  and  $375,84 \times 10^6 \text{ m}^3/\text{year}$  respectively. Water budget deficit was calculated as  $90 \times 10^6 \text{ m}^3/\text{year}$  and the amount of water, which can be used safely, was determined as  $54 \times 10^6 \text{ m}^3/\text{year}$ , %60 of water budget deficit.

In order to find out the hydrogeochemical features, surface and groundwater samples taken from representative locations in the study area were analysed for the hydrochemical features. 1/100 000 scale hydrochemical map was made to find out relation of water chemistry with lithological units and to see the differences in regional scale. Waters plot within the Ca-Mg-HCO<sub>3</sub> area in Piper diagram and it is thought that these waters are in relation with carbonate rocks. They take place in good-best quality waters in Schöller diagram, in C<sub>2</sub>S<sub>1</sub> class in diagram of USA Salinity Lab., good-best usable waters in Wilcox diagrams.

Values of NO<sub>3</sub>, NO<sub>2</sub>, NH<sub>4</sub> heavy metals analyses made to determine pollution of groundwater, show that water in the basin have been affected from the outer-originated polluters.

**Key Words:** Geology, hydrogeology, Senirkent-Uluborlu, water budget, water chemistry

## **TEŞEKKÜR**

Bu tez Süleyman Demirel Üniversitesi Fen Bilimleri Enstitüsü Jeoloji Anabilim Dalı Uygulamalı Jeoloji Programında yüksek lisans tezi olarak hazırlanmıştır. Finansal desteklerinden dolayı SDÜ Araştırma Projeleri Yönetim Birimi'ne teşekkür ederim.

Tezin konu seçiminden hazırlanmasına kadar tüm bilgi ve tecrübelerini benden esirgemeyen ve tezin her aşamasında özenle destek veren danışman hocam Prof.Dr. Remzi KARAGÜZEL'e teşekkürü bir borç bilirim.

Tezle ilgili her konuda beni yönlendiren ve yardımcı olan hocalarım Yrd.Doç.Dr.Ayşen DAVRAZ'a, Yrd.Doç.Dr. Kamil YILMAZ ve Uzm. İskender SOYASLAN'a çok teşekkür ederim.

Tezimin her aşamasında bana destek ve özellikle arazi çalışmalarımda yardımcı olan meslektaşım Arş.Gör. Şehnaz TAY'a teşekkürü bir borç bilirim.

Tezin arazi çalışmalarının yürütülebilmesi için lojistik destek sağlayan Uluborlu ve Senirkent Belediye Başkan ve personeline teşekkür ederim.

Bu çalışmanın gerçekleştirilebilmesi için imkan sağlayan Süleyman Demirel Üniversitesi Fen Bilimleri Enstitüsü'ne ve Jeoloji Mühendisliği Bölüm Başkanlığı'na ve ayrıca manevi desteklerinden dolayı aileme teşekkür ederim.

Ocak, 2005

Fatma SEYMAN

## Şekiller Dizini

### Sayfa

Şekil 3.1	İnceleme Alanının Yer Bulduru Haritası.....	8
Şekil 4.1	İnceleme Alanının Tektono-Stratigrafik Sütun Kesiti.....	13
Şekil 4.2	Yassıviran Kireçtaşlarının Görünümü (Senirkent GD'su).....	15
Şekil 4.3	Suuçandere Kireçtaşlarından Bir Görünüm (Çatma T. KB'sı)...	17
Şekil 4.4	Uluborlu Formasyonundan Bir Görünüm (Gençali Kuzeyi).....	19
Şekil 4.5	Zendevi Volkanitlerinden Bir Görünüm (Gençali KB'sı).....	21
Şekil 4.6	Kapıdağ Kireçtaşlarından Görünüm (Kömürük Tepe).....	24
Şekil 4.7	Gençali Dolaylarında volkanitler üzerinde gözlenen faydan bir görünüm.....	27
Şekil 4.8	Çalışma Alanının Tektonik Haritası.....	28
Şekil 4.9 (a)	Ortalama Yıllık Yağıstan Eklenik Sapma (Senirkent DMİ).....	32
Şekil 4.9 (b)	Senirkent Bölgesinde Yağışın Yıllara Göre Dağılımı.....	32
Şekil 4.10 (a)	Ortalama Yıllık Yağıstan Eklenik Sapma (Uluborlu DMİ).....	33
Şekil 4.10 (b)	Uluborlu Bölgesinde Yağışın Yıllara Göre Dağılımı.....	33
Şekil 4.11 (a)	Ortalama Yıllık Yağıstan Eklenik Sapma (Gençali DMİ).....	34
Şekil 4.11 (b)	Gençali Bölgesinde Yağışın Yıllara Göre Dağılımı.....	34
Şekil 4.12	Thorntwaite Yöntemine Göre Yağış ve Etp'nin Aylık Değişim Grafiği (Senirkent).....	38
Şekil 4.13	Thorntwaite Yöntemine Göre Yağış ve Etp'nin Aylık Değişim Grafiği (Uluborlu) .....	40
Şekil 4.14	Yağış ve Etp'nin Aylık Değişim Grafiği (Senirkent ve Uluborlu Ortalaması).....	42
Şekil 4.15	Uluborlu Barajı'nın Teknik Özellikleri ve Mansaptan Bir Görünüm.....	50
Şekil 4.16	İleydağı Göleti'nin Görünümü ve Teknik Özellikleri.....	52
Şekil 4.17	Değirmendere Kaynağı Jeolojik Kesiti.....	53
Şekil 4.18	Ayazmana Kaynağı Jeolojik Kesiti.....	54
Şekil 4.19	Kayaağzı Kaynağı Jeolojik Kesiti.....	54
Şekil 4.20	Üğüllü Kaynağı Jeolojik Kesiti.....	55
Şekil 4.21	Üğüllü Kaynağı'ndan Bir Görünüm.....	56
Şekil 4.22	Uluborlu Bölgesi Sondaj Kuyu Logları.....	58
Şekil 4.23 (a)	Senirkent Bölgesi Sondaj Kuyu Logları.....	59
Şekil 4.23 (b)	Senirkent Bölgesi Sondaj Kuyu Logları (Devamı).....	60
Şekil 4.24	Piper Diyagramı.....	77
Şekil 4.25	Schöller Diyagramı.....	82
Şekil 4.26	ABD Tuzluluk Laboratuvarı Diyagramı.....	84
Şekil 4.27	Wilcox Diyagramı.....	85
Şekil 4.28	İleydağı Köyü Atık Su Arıtma Tesisi Taban Sızdırmazlık Çalışmaları.....	87

## Çizilgeler Dizini

### Sayfa

Çizelge 3.1	Çalışma Alanında Yeralan Yerleşim Merkezlerine Ait 2000 Yılı Nüfus Sayım Sonuçları.....	9
Çizelge 4.1	Isparta ve Afyon İllerine Bağlı Devlet Meteoroloji İstasyonları	30
Çizelge 4.2	Uluborlu-Senirkent Havzası Dolayındaki Devlet Meteoroloji İstasyonları Yıllık ve Ortalama Yağış Verileri.....	31
Çizelge 4.3	Senirkent Meteoroloji İstasyonu İçin Hazırlanan Thorntwaite Buharlaşma-Terleme Bilançosu.....	37
Çizelge 4.4	Uluborlu Meteoroloji İstasyonu İçin Hazırlanan Thorntwaite Buharlaşma-Terleme Bilançosu.....	39
Çizelge 4.5	Senirkent ve Uluborlu Meteoroloji İstasyonları Ortalaması İçin Hazırlanan Thorntwaite Buharlaşma-Terleme Bilançosu.....	41
Çizelge 4.6	Senirkent-Uluborlu Havzası Su Bilançosu.....	46
Çizelge 4.7	Pupa Çayı Su Temin Tablosu (DSİ 18. Bölge Müdürlüğü).....	49
Çizelge 4.8	Uluborlu ve Senirkent ilçelerine Ait DSİ 18. Bölge Müdürlüğü Tarafindan Açılmış Olan Sondaj Kuyularının Verileri.....	61
Çizelge 4.9	Akifer Parametreleri (K,T,S).....	66
Çizelge 4.10	Yeraltısu Seviye Ölçümleri (30.09.2003-20.05.2004).....	69
Çizelge 4.11	Senirkent-Uluborlu Havzasında Yüzey ve Yeraltılarının Hidrojeokimyasal Özellikleri.....	72
Çizelge 4.12	Türk İçme Suyu Standartı (TS-266).....	79
Çizelge 4.13	Dünya Sağlık Örgütü İçme Suyu Standartları (WHO).....	80
Çizelge 4.14	Senirkent-Uluborlu Havzasında Yüzey ve Yeraltılarında Ağır Metal Konsantrasyonları (ACME Laboratuvarları).....	88
Çizelge 4.15	Senirkent-Uluborlu Havzasında Yüzey ve Yeraltılarında Nitrat, Nitrit ve Amonyak Konsantrasyonları.....	89

## 1.GİRİŞ

Yeryüzünde yüzey ve yeraltısularının esas kaynağını oluşturan yağışın Dünya ortalaması 1000 mm iken Türkiye ortalaması 646 mm'dir. Bu durum Türkiye'nin su kaynakları bakımından zengin ülkeler arasında yer almadığını göstermektedir. Bu nedenle ülkemizde su kaynaklarından rezervi tüketmeden ve kaliteyi bozmadan yararlanma zorunluluğu artmaktadır. Ülkemizde, artan nüfusla, kişi başına düşen su potansiyeli her yıl biraz daha azalmaktadır. Öte yandan, yanlış arazi kullanımı, kentleşme ve sanayi kuruluşlarında, vahşi depolanan katı atıklar, sıvı atıklar arıtılmaksızın deşarj edilen havzalarda, yüzey ve yeraltı sularının hızla kirlenmesine neden olmaktadır.

Türkiye' de yıllık kullanılabilir yeraltı ve yerüstü su potansiyeli toplam olarak 107,3 km<sup>3</sup>'tür (DSİ, 1997). İyi nitelikli kullanılabilir yüzey suları potansiyelinin %33,15'i, yeraltısu potansiyelinin %48,78'i filen kullanılabilmektedir. Ülkemizde içme ve kullanmaya ayrılan mevcut su miktarı 2,401 km<sup>3</sup>/yıl dolayındadır. Ülkemizde su kaynaklarının rezervleri günümüz için yeterlidir. Ancak, gelecekteki kullanımlar için yeterli miktar ve kalitede suyun olup olmadığını belirlemek ve havzaların sorunlarına karşı çözümler üretmek için hidrojeolojik havza etüdlerinin yapılması gerekmektedir.

Tez konusu olarak seçilen havzada, sulama suyunun büyük bölümü Eğirdir Gölü'nden temin edilmektedir. Uluborlu-Senirkent havzasında 1969 yılında DSİ tarafından yapılan etüd dışında ayrıntılı bir hidrojeoloji çalışması bulunmamaktadır. Ancak, bölgede tarımsal faaliyetlerde sulama suyuna olan talebin artışı ve nüfusla birlikte artan katı ve sıvı atıkların su kalitesine olan olumsuz etkileri, havzada hidrojeoloji çalışmalarının revize edilmesi zorunluluğunu getirmiştir.

### 1.1 Çalışmanın Amacı

Bu yüksek lisans tezinde, Eğirdir Gölü'nün yüzey drenaj alanı içinde yer alan Senirkent-Uluborlu havzasının hidrojeloloji incelemesini yaparak, havzadaki su potansiyeli ve kalitesi ile en uygun kullanım koşullarının belirlenmesi amaçlanmıştır.

## **2.KAYNAK ÖZETLERİ**

### **2.1 Önceki Çalışmalar**

Çalışma alanının ve yakın çevresinin jeolojisi birçok yerli ve yabancı araştırmacılar tarafından incelenmiştir. Ancak, mühendislik jeolojisi ve hidrojeolojisi ile ilgili sınırlı sayıda çalışma bulunmaktadır.

**Parejas (1942);** Araştırmacı Sandıklı, Dinar, Burdur, Isparta, Eğirdir civarının 1/100000 ölçekli jeoloji haritasını yapmıştır. Alanın, Alp Jeosenklinali, Torid çukurunun kuzey sahilinde olabileceğini ve bölgenin stratigrafisinin Paleozoyik, Verrukana, Mesozoyik, Tersiyer (Eosen-Oligosen) ve Neojen'den meydana geldiğini savunmuştur.

**Altınlı (1944);** Antalya, Burdur, Isparta bölgelerinde yaptığı çalışmalarla; fasyeslerin benzerlikleri yönünden, stratigrafik birimlerin ayrılmamasındaki güçlükleri belirterek; Jura yaşlı kumtaşı, radyolarit, silisli şist, kuvarsit topluluğu ile temsil edilen filişimsi serinin üzerine Senomaniyen yaşlı Rudist ve Actaenella'lı kireçtaşlarının geldiğini, üzerinde Senomaniyen yaşlı kireçtaşlarının ve bunları diskordansla örten Eosen' in ıraldığını belirtmiştir.

**Brunn vd. (1965);** Araştırmacılar Batı Toros'larda çok geniş çalışmalar yapmışlardır. Beydağlarını ve Geyik Dağı'nı otokton kabul etmişler ve bunların üstünde üç ana nap yapılarının bulunduğu ileri sürmüşlerdir. Sırasıyla; kuzeydoğudan geldiği varsayılan ve Lütesiyen-Priaboniyen filisi üzerine oturan Hoyran-Beyşehir-Hadım napları, kuzeybatıdan gelen ve üzerine Üst Kretase-Eosen aralığında (Lütesiyen öncesi) gelen Antalya naplarının yeraldığını savunmuşlardır.

**Poisson (1968);** Antalya, Burdur, Korkuteli, Isparta dolaylarında çalışmalar yapan araştırmacı, batı ve kuzeybatıda çok detaylı çalışmalar yapmış ve özellikle de Beydağlarına ağırlık vererek stratigrafisini ortaya koymaya çalışmıştır. Beydağlarının Liyas'tan başlayarak Senomaniyen sonuna kadar resifal kireçtaşları olarak devam ettiğini, Senomaniyenin pelajik kireçtaşlarından oluştuğunu, Üst Paleosen-Alt Eosen yaşında bir olistostromun varlığını, bunların üzerinde Lütesiyen kireçtaşlarının diskordans olduğunu, Akitaniyenin resifal kireçtaşları, Burdigaliyenin filiş olarak devam ettiğini belirtmiştir.

**DSİ, (1969),** Senirkent ovası hidrojeoloji incelemesi kapsamında alüvyon ortamda su potansiyeli belirlenmiştir.

**Dumont ve Kerey (1975);** Eğirdir Gölü güneyinde, Beydağları ile Anamasdağ, Geyik Dağı arasında kalan alanda; kaya birimlerinin stratigrafik ve tektonik özellikler açısından birbirleriyle farklılık gösteren üç birlik olarak adlandırmışlardır. Bunlardan, Karacahisar Birliği, metamorfik şistler ve kireçlarından oluşmuştur. İkinci birlik olan Ofiyolithi Birlik çeşitli yaştaki kireçtaşı blokları, radyolarit içeren serpentinleşmiş peridotit ve ultrabazik kayaçlardan oluşurken üçüncü birlik olan Dulup Birliği Jura-Kretase yaşı dolomit ve kireçtaşları ile temsil edilirler.

**D.S.İ. (1975);** D.S.İ. 18. Bölge Müdürlüğü tarafından hazırlanmış olan Isparta-Uluborlu Barajı yapılabılırlik raporunda, Uluborlu Barajı projesi kapsamında sulama ve taşın koruma amaçlarına hizmet etmek üzere Pupa Çayı üzerinde yapılacak depolamanın jeoteknik durumunu belirtmek amacıyla çalışmalar yapılmıştır.

**Koçyiğit (1980);** Isparta Büklümü kuzey kenarında yer alan Hoyran Gölü yoresinin stratigrafik ve tektonik özelliklerini belirlemeyi amaçlayan çalışmacı; metamorfiterle temsil edilen Üst Kambriyen-Alt Ordovisiyen yaşı Sultandede formasyonunun temeli oluşturduğunu, ve bu temeli açısal uyumsuzlukla üstleyen Hoyran grubunun ise Liyas-Lütesiyen yaşı sürekli bir sedimanter istif ile tanımladığını; ayrıca Liyas'ta başlayan Mesozoyik transgresyonun Lütesiyen'e kadar devam ettiğini belirtmiştir.

**Koçyiğit (1981);** Batı Toroslar'da karbonat platformunun evrimini inceleyen araştırmacı Toroslarda gözlenen ve egemen kaya türü genelde sığ denizel özellikli Paleozoyik, Mesozoyik ve Alt Tersiyer yaşılı karbonatlardan oluşan birimleri Toros Karbonat Platformu olarak adlandırmıştır. Platformdaki stratigrafik boşlukların genelde Üst Karbonifer - Alt Triyas'a rastladığını belirtmiştir. Araştırmacı tüm Mesozoyik istifinin egemen kaya türünün sığ denizel kökenli karbonatlar olduğu ve transgrasyonla başladığından bahsetmiştir. Araştırmacı 'Toros Karbonat platformu' nun özellikle Mesozoyik Alt Tersiyer sırasında oluşmuş örnek istiflerden birinin, Isparta Büklümü kuzey iç kenarında (Hoyran Havzası) yüzeylediğini belirtmiştir.

**Koçyiğit (1983);** Göller Bölgesi'nin tektonik evriminde birbirini izleyen duraylı, çökme tektoniği ve sıkışma tektonüğine bağlı olay ve jeolojik yapıları başlıca üç tektonizma dönemine ayırtlamıştır. Yazara göre bunlar sırasıyla, paleotektonik dönem, geçiş dönemi ve yeni tektonik dönem şeklinde sınıflanmıştır. Liyas'tan başlayıp Üst Lütesiyen sonuna kadar süren ve platform üzerine İç Toros ofiyolitli karışığı napının tektonik olarak üzerlemesiyle sona eren eski tektonik dönem veya Paleotektonik dönem, Üst Lütesiyen sonu ile Orta Oligosen sonu aralığında gerçekleşen ve molas oluşumuyla aralanan geçiş dönemi, Orta Oligosen sonunda başlayıp günümüzde deigin süren çökme tektonüğüyle denetlenen dönemi ise yeni tektonik dönem olarak adlanmıştır.

**Yalçınkaya vd. (1986);** Bölgede yaptıkları çalışmalarında Batı Toroslar'da yüzeylenen kaya birimlerinin düzgün bir stratigrafik dizilime sahip olduğunu belirmiştir. Genel stratigrafi çatısı içinde Batı Torosları otokton konumlu olarak, Teke Toroslarını ise allokton konumlu olarak tanımlamışlardır.

**Yalçınkaya (1989);** Batı Toroslar'da Isparta açısını oluşturan Mesozoyik ve Tersiyer yaşılı kaya birimlerinin stratigrafisi ile ofiyolitik kayalarla olan ilişkilerini ve bunların tektonik evrimini araştırmıştır. Neritik, yarı pelajik ve pelajik fasiyeste çökelmiş kireçtaşlarından oluşan Davraz formasyonunun Anatolid - Torid platformunun küçük

bir bölümünü yansittığını belirten yazar, ofiyolitik karmaşıkların Üst Paleosen - Alt Eosen zaman aralığında bölgeye yerleştigiini vurgulamıştır.

**Karaman (1989);** Eğirdir, Kovada, Kaşikara ve Burdur Geç Senozoyik havzalarının yapısal evrimini ve ekonomik potansiyelini araştırmıştır. Orta Miyosen'de gerçekleşen Afrika Avrasya yakınlaşması ile bölgede sağ ve sol yanal atımlı iki makaslama fayının olduğunu, bu fayların kesiştiği yerde ise Eğirdir Gölü'nün açılmasına başladığını K-G doğrultulu açılma çatlaklarının normal faylara dönüşmesi ile Eğirdir Gölü'nün oluşumunu tamamadığını belirtmiştir.

**Karaman vd. (1990);** Gönen - Atabey arasındaki bölgede yaptıkları çalışmada kayaçları allokton ve otokton kökenli olmak üzere iki gruba ayırmışlardır. Bölgede tek allokton konumlu birim Orta - Üst Jura yaşlı Tınastepe kireçtaşları olduğunu ve Eosen yaşlı Kayıköy formasyonunu tektonik bir dokanakla üstlediğini belirtirler. Eosen yaşlı Kayıköy formasyonu iki ümeye ayrılmıştır. Formasyonun üzerinde bulunan bu üyelerin birbirleriyle yanal ve düşey geçişli olduğunu belirterek önceden Oligosen olarak değerlendirilen bu birimlerin Üst Eosen yaşlı olduğunu tespit etmişlerdir.

**Mutlutztürk vd. (1991),** Türkiye'nin 4. büyük gölü olan Eğirdir Gölü'nün doğal ve yapay yollarla kirlenmesine neden olan kirleticiler araştırmışlardır. Yaklaşık 470 km<sup>2</sup>'lik göl alanı ve 3351.2 km<sup>2</sup>'lik havza alanı kirleticilerden etkilenmektedir. Gerek su potansiyeli, gerek çevreye olan etkisi, gerekse gelecekte bölge halkı için içme suyu temin edecek olan bu gölün ve havzanın mutlak kirlenme faktörleri bitki besin maddeleri, hayvansal atıklar, tarımsal mücadele ilaçları, kanalizasyon, evsel sıvı atılar ve katı atıklar olduğunu ortaya koymuşlardır.

**Özgül vd. (1991);** Araştırmacılar Göller Bölgesi yada Isparta Büklümü adlarıyla bilinen Orta ve Batı Torosların birleştiği bölgenin çeşitli yörelerinde çok sayıda çalışmalar yapmışlardır. Bölgenin stratigrafi ve yapısal özellikleri açısından birbirinden farklı kaya topluluklarını incelemiştir ve ayrı birlikler altında

toplamlıslardır. Bu birlikleri Geyik Dağı, Aladağ, Bolkar Dağı, Bozkır ve Antalya Birlikleri ve Batı Toroslarda bilinen Bey Dağı Birliği olarak adlandırmışlardır.

**Karagüzel vd. (1996);** Araştırmacılar 13 Temmuz 1995 tarihinde Senirkent'te meydana gelen moloz-çamur akmasında; olayın nedenlerinin açıklanabilmesi, alınması gereken önlemleri belirlemek ve projelendirmek için, öncelikle akmalara neden olan havzaların jeomorfolojik, hidrolojik ve jeolojik özelliklerini belirlemişlerdir. Ayrıca, sözkonusu doğal olayın yanısıra insan faktörünün yaşanan afete etkisini de tartışmışlardır.

**Polat (1997);** Çalışmada, Uluborlu-Senirkent Ovası (Isparta) hidrojeoloji incelemesi konulu bitirme ödevi kapsamında su kimyasını belirlemeye çalışmıştır.

### **3. MATERİYAL ve YÖNTEM**

#### **3.1. İnceleme Alanının Tanıtılması**

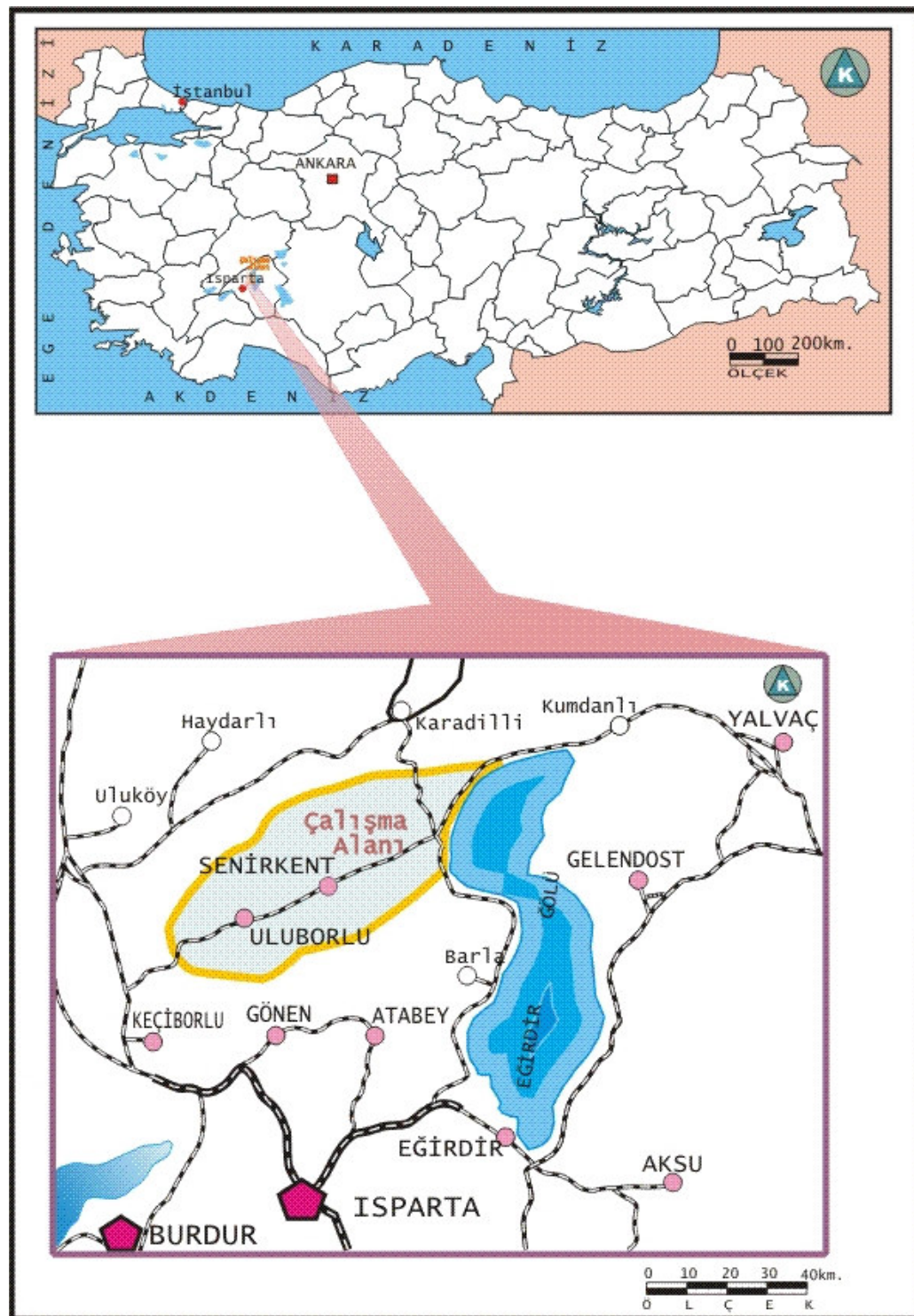
İnceleme alanı Türkiye'nin Göller Bölgesi'nde ve Eğirdir Gölü'nün batısında olup, yaklaşık 753 km<sup>2</sup>'lik bir alanı kapsamaktadır (Şekil 3.1). Havza içerisinde Senirkent ve Uluborlu ilçeleri ile Gençali, Büyükkabaca, Uluğbey, Küçükkabaca, İnhisar, İleydağı, Yassiören, Ortayazı, ve Garip kasabaları, çevresinde ise kuzeyde Kulak, batıda Dinar, güneyde Atabey ve Keçiborlu, güneydoğusunda Barla önemli yerleşim birimleridir.

Doğusunda Eğirdir Gölü'ne açılan ve yarı kapalı bir havza özelliğinde olan Senirkent-Uluborlu havzasının kuzey ve güneyi dağlarla sınırlanmıştır. İnceleme alanının batıdan doğuya doğru önemli yükseltileri başlıca; Karabeygir T. (2372m), Gelincik (Barla) Dağı (2799m), Beşparmak Dağı (2402m), Kapıdağı (2463m), Tınas T. (1989m), Kömürlük T. (1983m), Toklu T.(1911m), Gök T.(1992m), Şablalı T.(2130m), Kuzueşneği T. (2060m), Tepe çukuru T. (1999m), Kılınçlağın Dağı'dır. Ovanın batısında 1010m olan arazi kotu Eğirdir Gölü kenarında ise yaklaşık olarak 920 m'ye düşmektedir.

İnceleme alanının en önemli yüzeysel akışlarından Pupa Çayı ovayı baştan sona kat etmekte ve Eğirdir Gölü'ne (Hoyran Kesimi) dökülmektedir. Ayrıca Senirkent'in doğusunda yer alan Değirmendere ve Uluborlu'nun güneyinde yer alan Şehircayı Pupa Çayı'nın önemli kollarıdır.

Coğrafi konum olarak Akdeniz ve İç Anadolu bölgeleri arasında yer alan çalışma alanı, Göller bölgesi ikliminin karakteristik özelliklerini taşımaktadır. İlkbaharı kısa, sonbahar ve kış mevsimleri uzun geçen bölgede, yazlar kurak ve sıcak, kış ayları ise soğuk ve yağışlıdır. Yağışlar en çok ilkbahar ve sonbahar mevsimlerinde düşmektedir.

olup, genellikle batı ve güney kesimden gelmektedir. Uzun yıllar (38 yıl) ortalamasına göre ortalama yıllık yağış 558 mm'dir.



Şekil 3.1 : İnceleme alanının yerbulduru haritası

Çalışma alanının batısına Isparta-Afyon yolunun 40. km'sinden doğuya dönülerek yaklaşık 10 km sonra ulaşılmaktadır. Ayrıca Isparta-Barla yolundan da çalışma alanının doğusuna ulaşmak mümkündür. Çalışma alanında yer alan başlıca yerleşim yerleri Senirkent ve Uluborlu ilçeleridir. Çalışma alanında bulunan yerleşim merkezlerine ait 2000 yılı nüfus sayımları Çizelge 3.1'de verilmiştir.

**Çizelge 3.1. Çalışma alanında yer alan yerleşim merkezlerine ait 2000 yılı nüfus sayımları**

<b>Yerleşim Merkezleri</b>	<b>Nüfus (2000)</b>
Uluborlu Merkez	11717
Dereköy	324
İleydağı	319
İnhisar	129
Küçükabaca	759
Senirkent Merkez	13698
Akkeçili	251
Başköy	222
Büyükkabaca	4479
Garip	655
Gençali	714
Ortayazı	375
Uluğbey	3507
Yassören	1927
Toplam	39078

(Yerleşim merkezlerindeki belediyelerden alınan veriler kullanılmıştır.)

Çalışma alanında yüksek ve eğimli arazi kesimleri genelde mera olarak kullanılırken, düşük eğimli ova kenarları ve ovada sulu tarım yapılmaktadır. Bağcılık, elmacılık, gülcülük, kiraz, pancar ve hububat tarımı halkın önemli tarımsal faaliyetleridir. Tarım suyu Eğirdir Gölü, Uluborlu ve İleydağı Göletleri ile yeraltısuyundan sağlanmaktadır.

### **3.2. Çalışma Yöntemleri**

Senirkent-Uluborlu havzasında yeraltısı suyu potansiyelini ve kalitesini belirlemek amacıyla yapılan araştırmalar; jeoloji, hidroloji, hidrojeoloji ve hidrojeokimyasal çalışmalar başlıklarını altında toplanmıştır. Çalışma alanı 1/100 000 ölçekli Afyon L-25 ve Afyon L-24 paftalarında yer almaktır ve yaklaşık 753 km<sup>2</sup>lik bir alanı kapsamaktadır. Bu çalışma kapsamında hazırlanan jeoloji ve hidrojeoloji haritaları 1/50 000 ölçekli ayrıntıda çalışılmış ve 1/100 000 ölçüde küçültülmüş sunulmuştur.

**Jeoloji:** Çalışmada öncelikle beslenme havzası sınırı 1/25 000 ölçekli topografik haritalar yardımıyla belirlenmiştir. Havza sınırı içerisindeki alanın ayrıntılı 1/100 000 ölçekli jeoloji haritası önceki çalışmalarдан ve arazi çalışmalarından yararlanarak hazırlanmıştır. Yeraltı jeolojisine açıklık getirmek amacıyla sistematik jeolojik kesitler çizilmiştir.

**Hidroloji :** Çalışmanın bu bölümünde, inceleme alanında yer alan Senirkent ve Uluborlu ilçelerinde bulunan Devlet Meteoroloji İstasyonlarının uzun yillara ait ölçüm verileri kullanılarak, havza için su bilançosu elemanları belirlenmiştir. Bilanço elemanları yağış, buharlaşma, akış ve sızmadır.

Havza içinde ortalama yağış tayini için Eş Yağış (İzohyet) Yöntemi uygulanmıştır. Bu yöntemde inceleme alanı ve yakın çevresinde yer alan meteoroloji istasyonlarına ait yıllık toplam yağış verileri kullanılmıştır. Ayrıca yağış verilerinden yararlanılarak Senirkent, Uluborlu ve Gençali yerleşim yerlerine ait eklenik sapma grafikleri hazırlanmıştır. Potansiyel ve gerçek buharlaşma-terleme değerleri Senirkent ve Uluborlu için Thornthwaite yöntemi kullanılarak hesaplanmıştır. Havzaya dışarıdan gelen bir yüzeysel akış bulunmamaktadır. Havzadan Eğirdir Gölü'ne boşalan Pupa Çayı üzerinde bulunan ve DSİ 18. Bölge Müdürlüğü'ne ait olan akım-rasat istasyonu değerleri alınmıştır. Sonuç olarak, bu bölümde havza için su bilançosu oluşturulmuştur.

**Hidrojeoloji :** Bu bölümde inceleme alanında su noktaları, litolojik birimlerin hidrojeolojik özellikleri, akiferlerin hidrojeolojik parametreleri ve yeraltısu dinamiği konuları araştırılmıştır. Akiferlerin hidrolojik parametrelerinin tespit edilebilmesi için DSİ tarafından açılmış sondaj kuyularında yapılan pompaj deneylerinde elde edilen zaman-düşüm değerleri kullanılmıştır. Deney sonuçlarının değerlendirilmesinde Aquifer Test 3.5 bilgisayar yazılım programından yararlanılarak, Cooper-Jacob Time Drown ve Thies yöntemleri kullanılmıştır. Senirkent-Uluborlu havzasında yeraltısu seviyesi ve akım yönü belirlenmesi için Eylül (2003) ve Mayıs (2004) dönemlerinde yeraltısu seviye ölçümleri yapılmıştır. Seviye ölçümlerinde GPS ve kuyu rasat aletinden yararlanılmıştır.

**Hidrojeokimya :** Çalışma alanında yeraltılarının hidrojeokimyasal özelliklerini ve kirlilik durumunu belirlemek amacıyla, havzayı temsil edecek yüzey ve yeraltısu (kaynak, kuyu) noktaları belirlenmiştir. Seçilen lokasyonlardan alınan örneklerin kimyasal analizleri ACME (Kanada) laboratuvarında, SDÜ Jeotermal Enerji, Yeraltısu Mineral Kaynakları Araştırma ve Uygulama Merkezi ve SDÜ Çevre Mühendisliği laboratuvarlarında yaptırılmıştır. Analiz sonuçları farklı yöntemlerle değerlendirilerek ve çeşitli kullanım alanlarına göre sınıflandırılmıştır.

## 4. ARAŞTIRMA BULGULARI

### 4.1. Stratigrafi

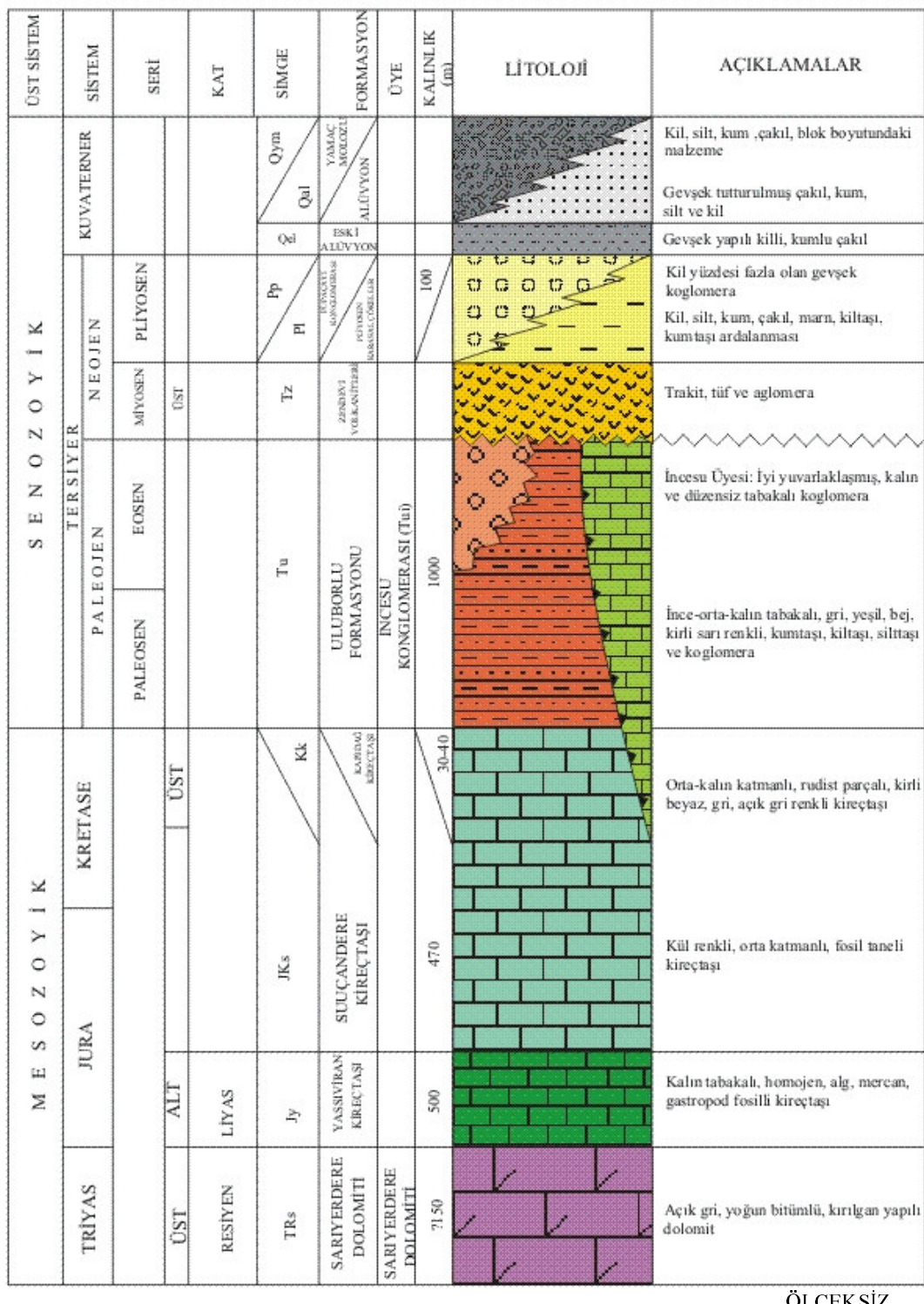
Senirkent-Uluborlu havzasının yüzey drenaj alanı sınırı belirlenerek tüm çalışmalar havza sınırı içerisinde kalan alan için gerçekleştirılmıştır. İnceleme alanında yer alan birimlerin jeolojik yapısına açıklık getirmek amacıyla, bölgede yapılmış önceki çalışmalar incelenmiş ve saha çalışmaları ile revize edilerek sahanın 1/100 000 ölçekli jeoloji haritası ve yeraltı jeolojisine açıklık getirmek amacıyla enine jeolojik kesitleri hazırlanmıştır (Ek-1, EK-2).

Bölgедe yeralan kaya birimleri özelliklerine ve birbirleriyle olan ilişkilerine göre allokton ve otokton olmak üzere 2 grup altında toplanmıştır. Otokton birimler yaşlıdan gence doğru; Sarıyardere dolomiti, Yassıviran kireçtaşı, Suuçandere kireçtaşı, Uluborlu formasyonu, İncesu konglomera üyesi, Zendevi volkanitleri, Pliyosen karasal çökeller, Pupa Çayı konglomerası, Eski alüvyon, Yamaç molozu ve alüvyondan oluşmaktadır. Bölgede allokton birim olarak Kapıdağı kireçtaşı bulunmaktadır (Şekil 4.1)

#### 4.1.1. Otokton Birimler

##### 4.1.1.1. Sarıyardere Dolomiti (TRs)

Birim, Dumont ve Kerey (1975) tarafından Menteşe dolomiti olarak adlandırılırken, Özgül vd. (1991) tarafından Menteşe dolomiti ile denetirilebilecek nitelik ve konumda olduğu için ismi değiştirilerek Sarıyardere dolomiti olarak adlandırılmıştır.



Sekil 3.1 İnceleme alanının tektono-stratigrafik sütun kesiti

Özgül vd. (1991), Sarıyardere dolomitini Barla Dağı'nın kuzeybatı ve kuzey eteklerinde yüzeylenen Senirkent birimine dahil etmişlerdir. Senirkent birimi Üst Triyas-Üst Eosen aralığında çökelmiş kayaları kapsar. Sarıyardere dolomiti Barla Dağı ile Uluborlu ve Senirkent ilçelerinin arasında kalan dik yamacında düzenli kesit veren Senirkent biriminin, bölgede yüzeylenen en yaşlı kaya-stratigrafi birimidir (Özgül vd, 1991).

Sarıyardere dolomiti, inceleme alanında Senirkent, Yassören, ve Garip yerleşim birimlerinin güneyinde ve Kapıdağı'nın doğusunda geniş bir yayılıma sahiptir. Ayrıca, Barla (Gelincik) Dağı ile Beşparmak Dağı aralığında, bu iki dağın güney ve kuzeyinde olmak üzere iki koldan doğu-batı yönünde de yayılım göstermektedir (EK-1).

Gri, grimsi siyah renkli, orta-kalın katmanlı, yoğun bitüm kokulu, üzerinde bol megalodont kavkları bulunduran, çok kırılgan bir yapıya sahip, yersel olarak breşik ve sık eklemli, dolomitik kireçtaşlarından oluşan Sarıyardere dolomiti, 150 m kalınlığa sahiptir (Yalçınkaya vd. 1986).

Üst Triyas-Paleosen aralığına ait kaya birimlerinden bölgede açıga çıkan en yaşlı kaya stratigrafi birimini Noriyen-Resiyen yaşıta Sarıyardere dolomiti oluşturmaktadır (Şekil 4.1). Suuçandere kireçtaşı dolomitler üzerine uyumlu olarak gelmektedir (Özgül vd. 1991).

#### **4.1.1.2. Yassıviran Kireçtaşı (Jy)**

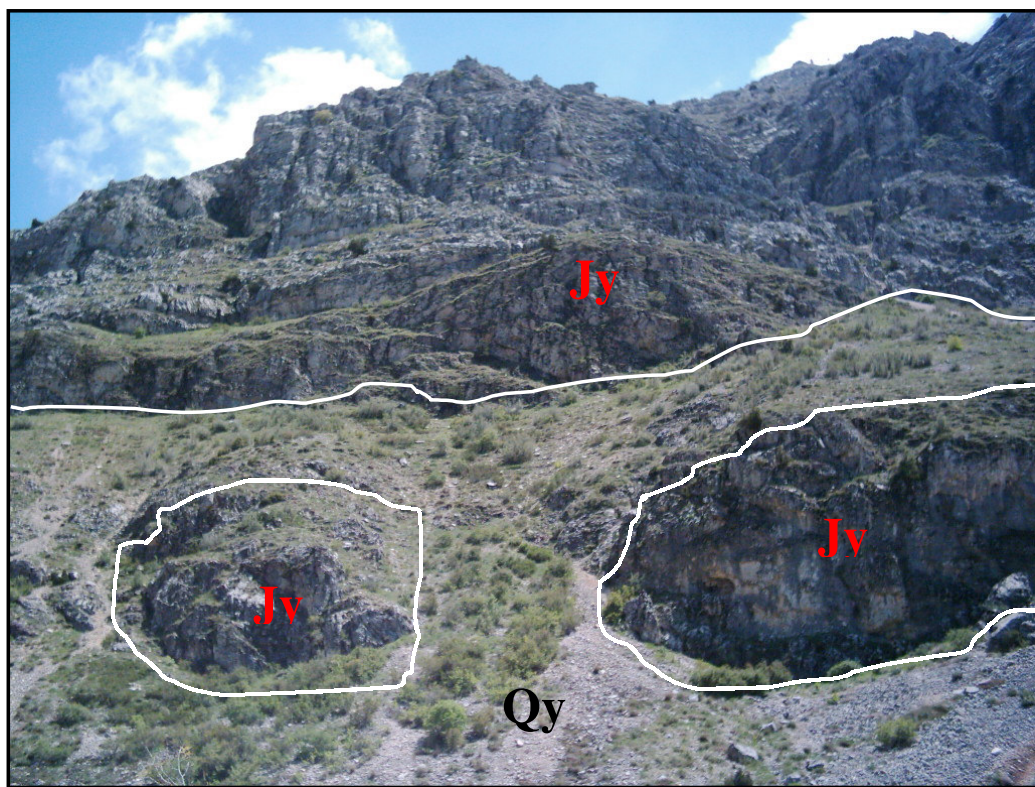
Bu birim Dumont ve Kerey (1975) tarafından Alakilise kireçtaşı olarak adlandırılmıştır. İnceleme alanı dolayında birim Yassıviran kireçtaşı olarak adlandırıldığı için bu çalışmada da bu isim benimsenmiştir. Ayrıca Özgül vd. (1991), bu litolojik birimi Barla Dağı çevresinde Senirkent Birimi içerisinde Yassıviran kireçtaşı olarak tanımlamıştır.

Birim çalışma alanında, Senirkent'in güneydoğusunda Ayazmana Tepe, Yağlıca Tepe, Dikmen Tepe, Kırağdağı ve Gelincik Dağı çevresinde gözlenmektedir (Şekil 4.2).

Yassıviran kireçtaşı, orta-kalın katmanlı, siyahımsı gri, gri renkli, yaygın kesimlerde yaklaşık kalınlığı 400-500 m'ye ulaşır (Yalçınkaya vd. 1986). Birim sahada kırıkçı çatıtlaklı ve erime boşluklu yapısı ile belirgindir.

Birim Sarıyardere dolomitini uyumlu ve geçişli bir dokanakla üstler. Üstte ise Suuçandere kireçtaşı ile uyumludur (Şekil 4.1).

Özgül vd. (1991) tarafından birimin yaşı lamellibrans, bentonik foraminifer ve Rudist bulgularından dolayı Liyas olarak verilmiştir.



Şekil 4.2 : Yassıviran kireçtaşlarının görünümü (Senirkent güneydoğusu)

#### **4.1.1.3. Suuçandere Kireçtaşı (JKs)**

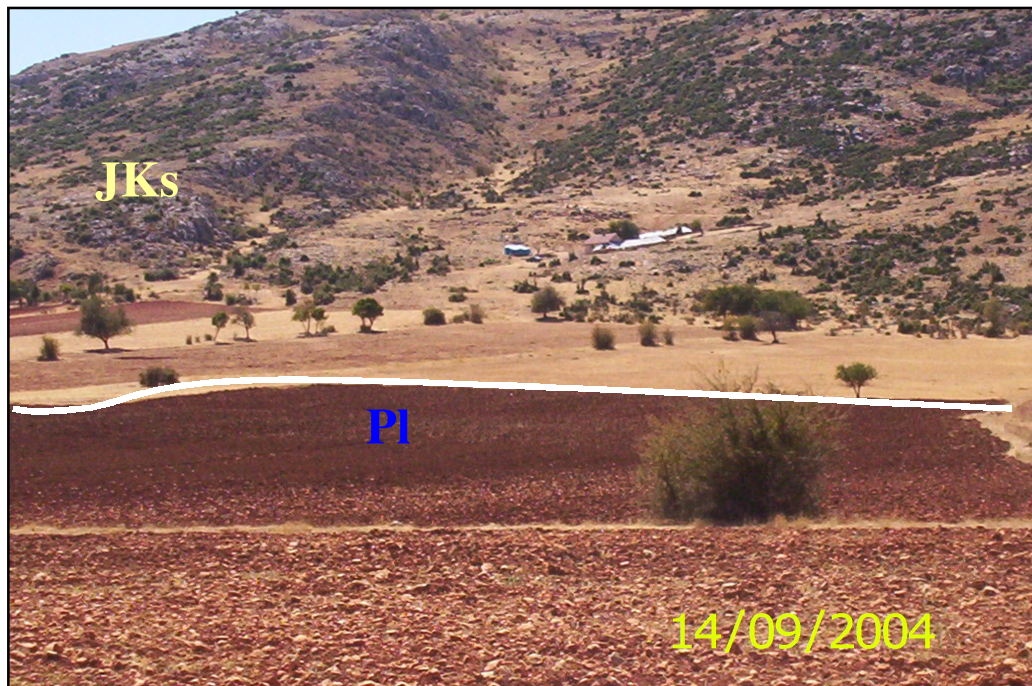
İnceleme alanında aynı yaş aralığında bulunan üç ayrı kireçtaşı gözlenmektedir. Bu birimler Koçyiğit (1980) tarafından Ergenli kireçtaşı (Malm-Maastrichtiyen), Özgül vd. (1991) tarafından Tınastepe kireçtaşı (Dogger-Senomaniyen) ve Suuçandere kireçtaşı (Dogger-Alt Kretase) olarak adlandırmışlardır. Hidrojeoloji amaçlı bu çalışmada, bu üç kireçtaşı birimi çalışmanın amacına uygun olması bakımından birleştirilmiş ve Özgül vd. (1991) tarafından verilen Suuçandere kireçtaşı ismi benimsenmiştir.

Birim Senirkent Ovası kuzey kıyısı boyunca Uluğbey-Büyükkabaca-Gençali şeridine yüzeylemektedir. Ova düzluğu içerisinde Ada Tepe, Ulaş Tepe, ve Düden Tepe yükseltilerinde ve ovanın güneyinde Kapıdağ-Beşparmak Dağ eteklerinde de haritalanan birim alüvyon ova tabanında da yer almaktadır. Ayrıca birim inceleme alanının batısında Damönü tepe, Çatma Tepe ve İnhisar çevresinde geniş bir alanda yüzeylekerken (Şekil 4.3), çalışma alanının kuzeydoğusunda Gürlek Tepe-Sümbüllü Tepe yükseltileri boyunca da haritalanmıştır (EK-1).

Birim tabanda, gri, orta katmanlı, bentonik ve pelajik foraminiferli oolitli, onkoidli yer yer çakmaktaşı yumruları, mikrit ve killi kireçtaşı aradüzeyleri bulunduran ve yaklaşık kalınlığı 250 m olan kireçtaşları ile başlamaktadır.

Birim, Kömürlük Tepe KD'sunda, yeşil, gri-boz renkli, ince katmanlı, mikrit-radyolarit-kalkarenit arakatkılı kireçtaşları ile temsil edilmektedir.

Birimin en üst seviyesini oluşturan, grimsi siyah, siyah renkli, orta katmanlı, bentonik foraminiferli, dolomit arakatkılı, yer yer rudistli kireçtaşları Çatma Tepe, İnhisar Tepe Sümbüllü Tepe dolaylarında haritalanmıştır (EK-1).



Şekil 4.3 : Suuçandere kireçtaşından bir görünüm (Çatma Tepe kuzeybatisı)

Suuçandere kireçtaşı altta yassıviran kireçtaşını uyumlu olarak üstlemektedir (Şekil 4.1). Üstte ise Uluborlu formasyonu tarafından uyumlu olarak olarak üzerlenmektedir (Özgül vd. 1991). Birimin yaşı Jura-Kretase aralığında yer almaktadır.

#### **4.1.1.4. Uluborlu Formasyonu (Tu)**

İnceleme alanında filiş özelliğini taşıyan iki ayrı birim bulunmaktadır. Birimler Özgül vd. (1991) tarafından Uluborlu formasyonu (A. Tersiyer- Ü. Paleosen) ve Kazanpınarı formasyonu (Ü. Paleosen-A.Eosen) olarak adlandırılmışlardır. Bu iki birim çalışmanın amacına yönelik olarak birleştirilmiş ve formasyonun yüzeylediği bölgeden dolayı Özgül vd. (1991) tarafından verilen Uluborlu formasyonu ismi kullanılmıştır.

Birim, inceleme alanında Uluborlu güneyinde geniş bir alanda yüzeylemektedir. Uluborlu-Senirkent Ovasının kuzeyinde Dereköy-Küçükabaca-Uluğbey yerleşim alanları dolayında ve Eğirdir Gölü kuzey kesimlerinde haritalanmıştır (EK-1). Ayrıca Başköy civarında ve Senirkent güneyi, Gençali ile Büyükkabaca'nın kuzeybatısı arasında da yayılım göstermektedir (Şekil 4.4).

Formasyonun tabanında egemen kaya türünü, sıg denizel koşullarda çökelmanış kumtaşı, kumlu çakıltaşı, çakıltaşı, detritik (kırıntılı) kireçtaşları ile bunlarla arakatkılı kiltaşı, killi kireçtaşları ve çamurtaşları düzeyleri oluşturur. Birim genel olarak arazi gözlemlerinde açık gri, yeşil, kirli sarı renkleri gösterir. Her düzeyde yaygın ana katmanlanma gösteren detritik kireçtaşları açık krem ve kirli beyaz renkli orta-kalın katmanlı olup, çoğunlukla türbitidik özelliktedir (Karaman, 1994).

Yaklaşık olarak 1000m kalınlığındaki birim, yukarıda doğru beyaz-bej renkli, ince-orta tabakalanmalı, kumtaşı, çamurtaşları, marn, tüf, konglomera ardalanmalıdır. Yer yer üst seviyelerinde lavlar bulunduran ve yine yer yer aralarında beyaz-bej renkli, gölsel kireçtaşları ara seviyeleri bulunduran gölsel ve karasal sedimanlardır (Yalçınkaya vd. 1986).

Uluborlu formasyonu alta Suuçandere kireçtaşları üzerine uyumlu olarak gelmektedir Zendevi volkanitleri ile ise birim üzerine uyumsuz olarak gelmektedir. Uluborlu formasyonu içinde Üst Eosen yaşta nisbeten boylanmış kireçtaşları, radyolarit ve volkanit çakıllı, çakıltaşları düzeyleri içeren İncesu konglomerası üyesini bulundurmaktadır (Şekil 4.1).

Uluborlu formasyonu Alt Tersiyer-Üst Paleosen-Alt Eosen yaşta mikrit ve kalsitürbitidlerle başlayan ve filiç fasiyesinde kırıntılarla temsil edilir. Filiç içinde Lütesiyene ait herhangi bir fosile rastlanamamıştır (Özgül vd. 1991).



Şekil 4.4: Uluborlu Formasyonundan bir görünüm (Gençali kuzeyi)

#### - İncesu Konglomera Üyesi (Tui)

Birim Parejas (1942) tarafından Priabonyen-Oligosen Filişi olarak Gutnic (1977) tarafından ise İncesu konglomerası olarak adlandırılmıştır. Uluborlu Formasyonunun üyesi kabul edilen birimin ismi yayılım gösterdiği İncesu Köyü'nden gelmektedir.

İnceleme alanında Dereköy kuzeyi ve Küçükocabaca civarında geniş bir yayılım gösterir (EK-1).

Birim ince-orta kalınlıkta, kil ve kumtaşı arabantlı, radyolarit ve killi kumlu kireçtaşından oluşmaktadır. Kum çimentolu konglomeralar oldukça yaygınmasına rağmen, aynı zamanda 3-50 cm arasında kalınlığa sahip kiltaşı ve marn içeren kömür arakatkılarından oluşmaktadır (Gutnic, 1977).

*Nummulites fichteli*, *Nummulites intermedius* ve *Amphistegina* sp. Fosilleri içeren İncesu konglomera üyesi Alt-Orta Oligosen yaşlıdır. Ayrıca yaygın olarak *Fusulint*'li biyomikrit, *Involutina*'lı biyosparit, *Siderolites* ve *Orbitoide*'sli biyomikrit, dolomit radyolarit, serpentinit, dunit, gabro, bazalt, andezit, diabaz, bazaltik tuf, şist, amfibolit, granit gibi kayaçlar bunların yanısıra zeolit, feldispat, klorit, kuvars mineralleri de içermektedir (Gutnic, 1977).

#### 4.1.1.5. Zendevi Volkanitleri (Tz)

İnceleme alanında gözlenen volkanitler, volkan bacalarının parazit konilerinin oluşumu sırasında dışarı atılan tuf, aglomera ve dayklardan türemiştir (Koçyiğit, 1983)

Gençali'nin kuzeybatısı ile Dereköy'ün batısı boyunca haritalanan birim (EK-1) Başköy dolaylarında ve Büyükkabaca'nın kuzey kesimlerinde geniş bir yayılıma sahiptir (Şekil 4.5).

Birim gri, pembe, siyah renkli, taze, kaba sanidin kristalli ve dayklar şeklinde traktitlerden meydana gelmiştir. Traktitler fenokristaller halinde labrador, andezit ve lösitler de içermektedir (Koçyiğit, 1983).

Zendevi Volkanikleri inceleme alanında yer alan Uluborlu formasyonunu uyumsuz olarak kesmektedir (Şekil 4.1). Miyosen yaşlı genç birim, üzerine ise Pliyosen karasal çökelleri ve Pupa Çayı konglomerası uyumlu olarak gelmektedir (Şekil 4.1). Zendevi volkanitlerinin yaşı, Becker-Platen vd., (1977) tarafından herhangi bir fosil belirtisi olmadığından radyometrik yaş tayinine göre Ü. Miyosen olarak belirlenmiştir.



Şekil 4.5 : Zendevi Volkanitleri'nden bir görünüm (Gençali kuzeybatısı)

#### **4.1.1.6. Pupa Çayı Konglomerası (Pp)**

Birim, Erenler Tepe kuzeyi ve Damönü Tepe güneyi arasında kalan alanda Pupa Çayı akış yönünde dar bir şerit şeklinde yayılıma sahiptir.

Uluborlu'nun batısından doğan Pupa Çayı'nın getirdiği malzemeden oluşan Pupa Çayı Konglomerası, polijenik, iyi boylanmalı ve zayıf çimentolu çakillardan oluşmaktadır. Kumlu seviyeler yanında, kil yüzdesi fazla olan gevşek seviyelerde içermektedir.

Birim altta Miyosen yaşı Zendevi volkanitleri üzerine uyumlu olarak gelmiştir. Aynı yaşta olan Pliyosen karasal çökelleri ile yanal geçişlidir. Üzerine ise Eski alüvyon uyumlu olarak gelmektedir (Şekil 4.1). Birimin yaşı Pliyosen'dir.

#### **4.1.1.7. Pliyosen Karasal Çökelleri (Pl)**

Birim Pupa Çayı Konglomeraları ile yanal geçişli olarak aynı lokasyonun yüksek kotlarında haritalanmıştır (EK-1).

Kil, silt, kum ve bol miktarda polijenik iri çakıllardan oluşan birim Pliyosen yaşlıdır. (Gutnic, 1977).

#### **4.1.1.8. Eski Alüvyon (Qel)**

Damönü Tepe kuzeyinde, Ortayazı, Asar Tepe ve Garip'in güneyinde birikinti konisi şeklinde yayılıma sahiptir (EK-1).

Özellikle Eğirdir Gölü batısı ve Dikmen Tepe kuzeyinde Yassıvuran kireçtaşları üzerinde oldukça kalındır. Gevşek bir yapı gösteren birim killi-kumlu ve iri çakıllıdır. Eski alüvyonlar Kuvaterner yaşlıdır.

#### **4.1.1.9. Yamaç Molozu (Qy)**

Yamaç molozu inceleme alanında Uluborlu'nun kuzeybatısı ile İnhisar köyü arasında bir şerit şeklinde uzanmaktadır. Ayrıca Hisarlık Tepe'nin Kuzeydoğusunda da yayılım göstermektedir.

Özellikle inceleme alanının güney sınırını oluşturan Barladağı-Beşparmakdağı-Kapıdağı yükseltilerinin kuzey yamaçlarında farklı kalınlıklarda, jeoloji haritasında gösterilmeyen yamaç moloz örtüsü bulunmaktadır. Yamaç molozlarının kalınlıkları eğim aşağı artış göstermektedir

İnceleme alanında yamaçlarda hakim litolojisi oluşturan yamaç molozu, 20-40m kalınlığa ulaşan, irili ufaklı kireçtaşı blokları, çakıl, kum, silt ve kil boyutunda taneler ile nebatı topraktan oluşmaktadır. Birim Kuvaterner yaşlıdır.

#### **4.1.1.10. Alüvyon (Qa)**

Uluborlu-Senirkent Grabeni’nde Pupa Çayı boyunca batıdan doğuya Eğirdir Gölü'ne doğru genişleyen ova düzüğünde alüvyon haritalanmıştır.

Alüvyon inceleme alanının yüksek kotlarında bulunan formasyonlardan türeyen malzemelerden oluşmaktadır. Alüvyon yer yer çakılı, kumlu, killi çakılı kum, kumlu çakıl ve siltlidir. Pupa Çayı'nın ovaya girdiği sağ ve sol sahilde erozyon malzemesi olarak gelen konglomeralar sebebiyle, alüvyon bu alanda çakılı, kumlu seviyeler halindedir. Uluborlubatisındaki yükseltilerde geniş alanlarda mostra veren Uluborlu formasyonundaki killi seviyelerin aşınması ile de killi malzemeler gözlenmektedir.

#### **4.1.2. Allokton Birimler**

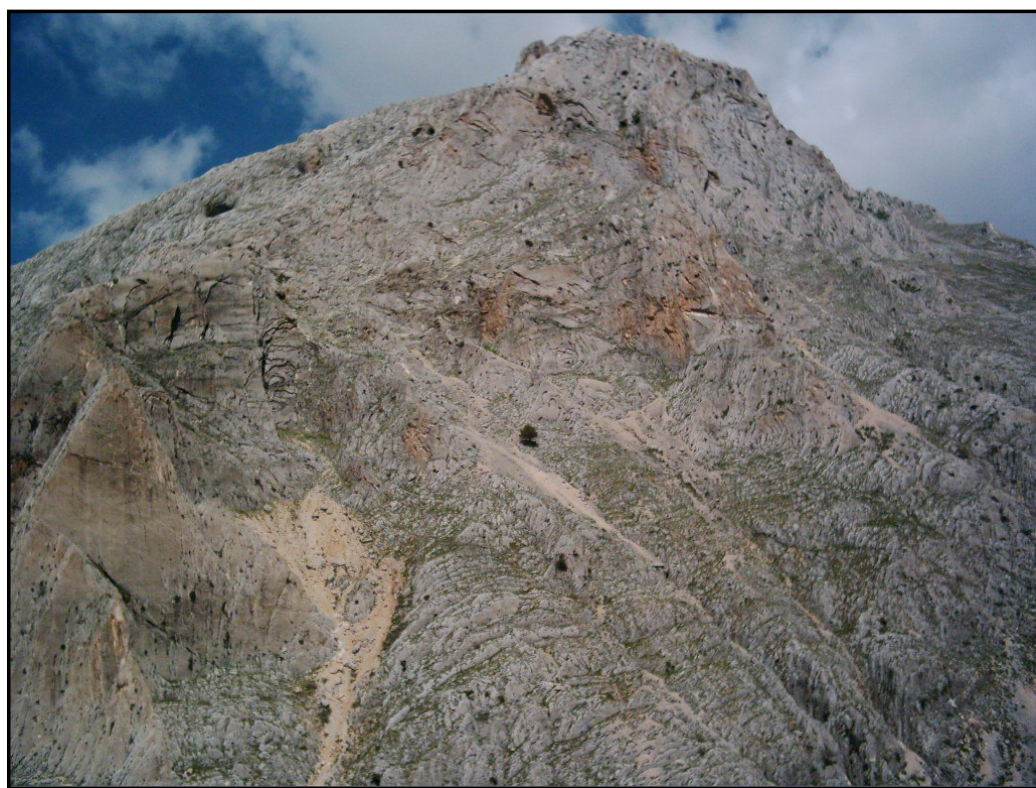
##### **4.1.2.1. Kapıdağ Kireçtaşı (Kk)**

Kalsitürbitidit, mikrit ve çörtlü mikritlerden oluşan formasyon Özgül vd. (1991) tarafından adlandırılmıştır.

Kapıdağ kireçtaşı inceleme alanında, Kömürlük Tepe, Hisarlık Tepe, Kapıdağı, Gelincikdağı dolaylarında, Kırdağları kuzeyinde ve güneyinde yayılım göstermektedir (Şekil 4.6), (EK-1).

Kapıdağ kireçtaşı altta 30-40m kalınlıkta, orta-kalın katmanlı, bol rudist parçalı, kirli beyaz, gri, açık gri, krem renkli, yer yer mikrit ara düzeyli kalsitürbitiditlerle başlar Özgül vd. (1991). Üstte, ince-orta-kalın tabakalı, gri, krem, bej, yeşilimsi gri, kirli beyaz, pembe renkli, yer yer ince kalsitürbitidit ara düzeyli planktonik foraminiferli mikrit ve çörtlü mikritler kapsar. Birimin kalınlığı 30-190 m arasında değişmektedir (Şenel, 1997).

Altta Rudist kırintılı türbitidik kireçtaşı, üstte pelajik foraminiferli kırmızı-bej mikritlerden oluşan Kapıdağ kireçtaşı ile temsil edilir. Kapıdağ kireçtaşı, Barla Dağ'larının batı kesiminde Tınaz Tepe yöresinde Suuçandere kireçtaşı pelajik karbonatlarıyla uyumlu gözükmesine karşılık dağlık alanın doğu kesiminde formasyonun tabanında büyük açısal uyumsuzluk izlenir. Aynı şekilde Kapıdağ kireçtaşının Senomaniyen yaşıta kırmızı mikritleri Gelincikdağı'nın güney ve batı kesiminde de Suuçandere kireçtaşı birimini yüksek açılı uyumsuzlukla üstlemektedir (Özgül vd. 1991), (Şekil 4.1)



Şekil 4.6 : Kapıdağ kireçtaşlarından bir görünüm (Kömürlük Tepe)

Kapsadığı kireçtaşının yaşı, Özgül vd. (1991) tarafından Senomaniyen-Maastrichtiyen olarak verilmiştir.

## 4.2.Yapısal Jeoloji

Isparta'nın bulunduğu bölgede; Beydağları otoktonu, Anamas-Akseki otoktonu, Antalya napları, Beyşehir-Hoyran-Hadım napları yüzeylenmekte olup, bölgede irili ufaklı faylarla kesilmiş naplı yapılar egemendir. Beydağları platformuna Üst Kampaniyen Maestrihtiyen'de iyice yaklaşan Antalya napları, Daniyen'de Beydağları otoktonu üzerine yerleşmiştir. Antalya naplarının Beydağları otoktonu üzerine yerleşimine bağlı olarak yer yer olistrostromlar oluşmuştur. Paleozoyik boyunca benzer gelişim Anamas-Akseki otoktonu içinde geçerlidir. Antalya napları, Beydağları otoktonunda olduğu gibi, Daniyen'de Anamas-Akseki otoktonunun güney kenarına yerleşmiştir (Şenel, 1996).

Eğirdir Gölü dolayının tektonik gelişiminde duraylı çekme ve sıkışma türü tektonik evreler tekrarlanarak birbirlerini izlemiştir. Toros karbonat platformu için örnek bir alan oluşturan Hoyran neritik karbonat platformu, Liyas sırasında, yaklaşık D-B doğrultulu çekim fayı özelliğinde bir kırığın (Hoyran fayı) gelişmesi ile biçim kazanmıştır. Kütle hareketlerinin olduğu Senirkent ve Uluborlu ilçe merkezlerinde içinde bulunduğu Uluborlu-Senirkent-Hoyran Grabeni Neotektonik döneme ait çekim faylarının etkisiyle oluşmuş bir çöküntü düzlüğüdür. Bu dönemde meydana gelen ve yaklaşık KD-GB gidişli çekim fayları zamanda bölgenin jeomorfolojisini denetleyen önemli yapısal unsurlardır.

Isparta dirseğinin oluşumunda etkin olan doğu-batı sıkışma kuvvetleri bölgede yer yer güney-kuzey çekme kuvvetlerinin oluşumuna neden olmuştur. Bu çekme kuvvetlerinin sonucu olarak oluşan çekim fayları; Isparta dirseğinin geometrik konumuna uygun olarak dirseğin batı kanadında KD-GB doğrultularda (Burdur fayı, Senirkent fayı), doğu kanadında ise KB-GD doğrultularda (Akşehir fayı, Beyşehir fayı) uzanmaktadır (Koçyiğit, 1983, Karaman, 1986).

#### 4.2.1.Faylar

Jeolojik devirler boyunca meydana gelen etkileşimler sonucunda Eğirdir Gölü'nü ikiye bölen Hoyran (Kumdanlı) fayı meydana gelmiştir (Şekil 4.8). Hoyran (Kumdanlı) fayı sol yönlü doğrultu atımlı bir faydır. Çalışma alanının doğusunda yeralan Eğirdir (Hoyran) Gölü bu fayın da etkileşim göstererek oluşturduğu bir graben yapısıdır.

Senirkent grabenini oluşturan Senirkent fayı (Yalçınkaya, 1995) K70D doğrultulu bir çekim fayıdır. Sahadaki devamlılığı, Uluborlu civarından başlayarak doğu istikametinde Eğirdir Gölü'ne kadar, yaklaşık 25 km izlenebilmektedir. Bu faya bağlı (sintetik faylar) tali çekim fayıları gelişmiş ve bunlar Beşparmak dağlarının kuzey yamaçlarında basamaklar şeklinde taraçalar oluşturmuştur. Devamlılıkları çoğunlukla bir veya birkaç km olan bu fayıların şeşlerinde ve düşen blokları üzerinde yaygın yamaç molozları gelişmiştir (Karagüzel vd., 1996).

Eskigençali güneyinden, Gençali kuzeybatısına kadar uzanan Esendere fayı ise KD-GB doğrultulu eğim atımlı normal faydır. Çekme gerilmeleri sonucunda oluşan diğer bir fay ise Dereköy fayıdır. Dereköy fayı D-B uzanımlı normal faydır. Uluğbey dolayındaki D-B yönlü fay tüfleri keserken, buna benzer diğer faylar Gençali bölgesinde gözlenmektedir (Şekil 4.7)



Şekil 4.7 : Gençali dolaylarında volkanitler üzerinde gözlenen faydan bir görünüm

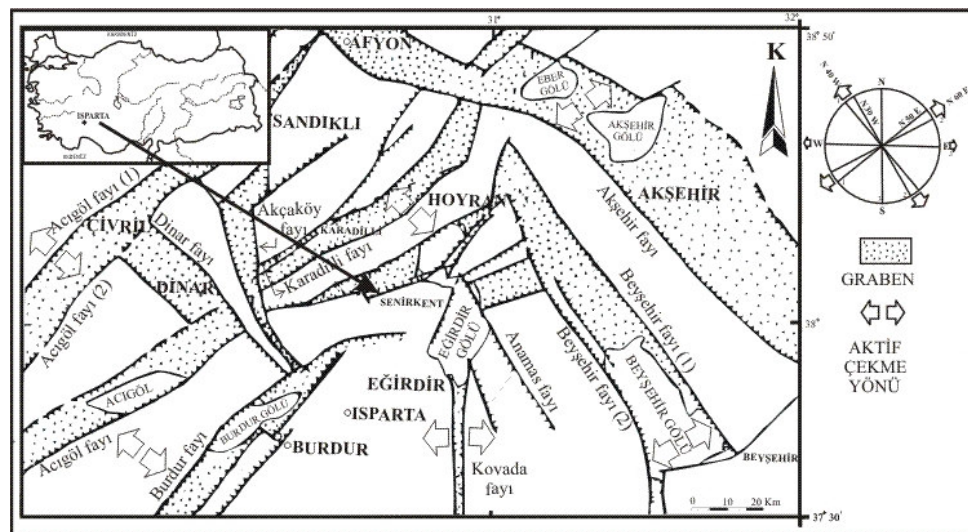
#### 4.3.Jeoloji Evrimi

Çalışma alanı (Ketin,1966) Anadolu'nun tektonik birlikleri sınıflamasına göre Toridler (Toroslar) tektonik birliği içinde yer almaktadır. Isparta'nın kuzey kesiminde oluşan Isparta büklümünün Batı Toroslar kesiminde yer alan Alp orojenezi ile gelişmiştir. Batı Torosların tamamı Maestrihtiyen sonunda bölgesel bir yükseltim ile tamamen su dışında kalmıştır. Toros karbonat platformunun özellikle Mesozoyik-Alt Tersiyer sırasında oluşmuş örnek istiflerinden biri Hoyran bölgesinde Isparta büklümü kuzey iç kenarında gözlenmektedir. İstif, GB'dan KD'ya doğru aşmalı bir deniz ilerlemesiyle gelişmiş tipik neritik karbonatlardan kuruludur. Üst Triyas-Üst Lütesiyen aralığında sürekli sunan istif, Maestrihtiyen'e kadar yalnızca litoral neritik özellikli karbonatlarla temsil edilirken, Maestrihtiyen-Üst Lütesiyen sırasında,

yerel fasiyesde gelişmeye başlamıştır. Tortullaşma Filis fasiyesiyle sonlanmıştır (Koçyiğit, 1981).

Maestrihiyen'de çekme ve sıkışma gerilimleri bölgeye hakim olmuştur. Sıkışma rejimi Orta-Üst Miyosen evresinde de devam etmiş ve sonrasında inceleme alanını çekme rejimi ile etkilemiştir. Orta Oligosen sonundan günümüze kadar, normal blok faylanma tarafından denetlenen Ispartabüklümü kuzey iç kenarında, riftleşmenin bölgesel yükselme, faylanma ve volkanizma gibi evreleri gelişmiştir. Bunun sonucunda oluşan horst ve grabenler Pliyosen yaşılı gölsel ve karasal oluşukların çökelme ortamlarını sınırlamışlardır. Horst ve grabenlerin çukurlarında oluşan göller (Eğirdir Gölü gibi) ile birlikte bölge günümüzdeki konumuna ulaşmıştır (Şekil 4.8).

Geç Alpin orojenezini Attikiyen fazını yansıtan evre sonunda tüm temel birimler üzerine Kuvaterner çökelleri olan; taraça, yamaç molozu ve alüvyonlar yerleşmiştir. Tektonik etkinlik, blok faylanmanın denetimde günümüzde de sürdürmektedir.



Şekil 4.8 : Çalışma alanının tektonik haritası (Koçyiğit 1984)

## **4.4.Hidroloji**

Çalışma alanının ayrıntılı hidroloji incelemesinin yapılması amacıyla, havzanın içerisinde ve yakın çevresinde bulunan Devlet Meteoroloji İstasyonlarının uzun yıllara ait ölçümleri değerlendirilerek su bilanço elemanları hesaplanmıştır. Bilanço için gerekli olan hidrojeolojik verilerin belirlenmesi için yağış, akış, buharlaşmaterleme(evapotranspirasyon) ve süzülme(sızma) hesaplamaları yapılmıştır.

### **4.4.1.Yağış**

İnceleme alanı ve yakın çevresinde bulunan yerleşim birimlerinde ortalama yağış, Dinar DMİ'de 790,48 mm, Kumdanlı DMİ'de 461,7 mm, Keçiborlu DMİ'de 628,38 mm, Atabey DMİ'de 493,8 mm, Gençali DMİ'de 359,85 mm, Uluborlu DMİ'de 762,45 mm, Senirkent DMİ'de 702,08 mm ve Barla DMİ'de 565,11mm olarak hesaplanmıştır. Çalışma alanında su bilançosu yapmak için ortalama yağışın hesaplanmasında, Dinar, Atabey, Uluborlu ve Senirkent DMİ'nin 36 yıllık ölçüm verileri, Kumdanlı, Keçiborlu ve Barla DMİ'nin ise 25 yıllık ölçüm verilerinden yararlanılmıştır. En uzun ölçüm süresi 38 yıl ile Gençali DMİ'de yapılmıştır (Çizelge 4.2). Bu çalışmada verileri kullanılan Devlet Meteoroloji İstasyonlarına ait bazı özellikler Çizelge 4.1'de verilmiştir.

Senirkent-Uluborlu havzasında bölgeye düşen ortalama yağışın tayini için Eş Yağış (İzohyet) Yöntemi uygulanmış ve havzaya düşen ortalama yıllık yağış miktarı 558 mm olarak hesaplanmıştır (Ek-3).  $753 \text{ km}^2$ lik yüzey drenaj alanına sahip Senirkent-Uluborlu havzasına düşen ortalama yağış miktarı  $420,174 \times 10^6 \text{ m}^3/\text{yıl}$  olarak bulunmuştur.

Havza içerisinde bulunan Senirkent, Uluborlu ve Gençali devlet meteoroloji istasyonları yağış ölçümleri değerlendirilerek eklenik sapma grafikleri hazırlanmıştır. Senirkent'e ait eklenik sapma grafiğinde 1964-1967 yılları arasında kararlı dönem, 1967-1971 yılları arası yağışlı dönem, 1971-1977 yılları arası kurak dönem, 1977-1981 yılları arası yağışlı dönemi 1981-1994 yılları arası kurak dönemi, 1994-2000

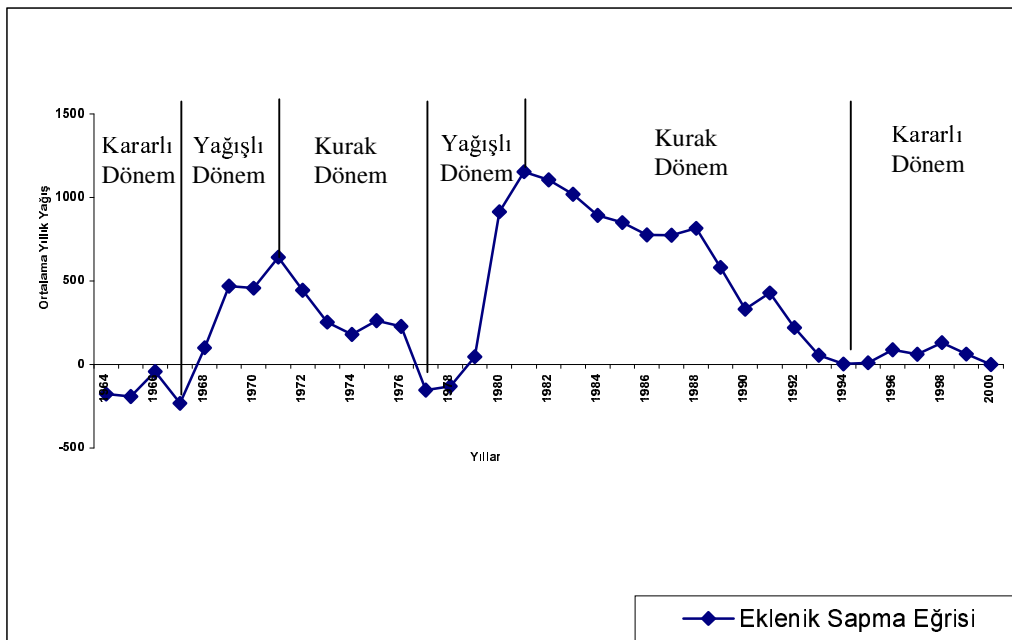
yılları ise kararlı dönemi temsil etmektedir (Şekil 4.9 a-b). Senirkent'te 1971-2002 yılları arasında ölçülen ortalama sıcaklık değeri  $12.3^{\circ}\text{C}$ 'dir Uluborlu'ya ait eklenik sapma grafiğinde 1958-1961 yılları arasında kararlı dönem, 1961-1969 yılları arası yağışlı dönem, 1969-1977 yılları arası kurak dönem, 1977-1982 yılları arası yağışlı dönem, 1982-1993 yılları arası kurak dönem ve 1993-2000 yılları arası ise kararlı dönemdir (Şekil 4.10 a-b). Uluborlu'da 1994-2002 yılları arasında ölçülen ortalama sıcaklık değeri  $11.7^{\circ}\text{C}$ 'dir. Gençali için yapılan eklenik sapma grafiğinde 1963-1970 yılları arasında yağışlı dönem, 1970-1975 yılları arası kurak dönem, 1975-1984 yılları arası kararlı dönem, 1984-1994 yılları arası kurak dönem, 1994-2002 yılları arası ise yağışlı dönemdir (Şekil 4.11 a-b).

Çizelge 4.1 : Isparta ve Afyon illerine bağlı Devlet Meteoroloji İstasyonları

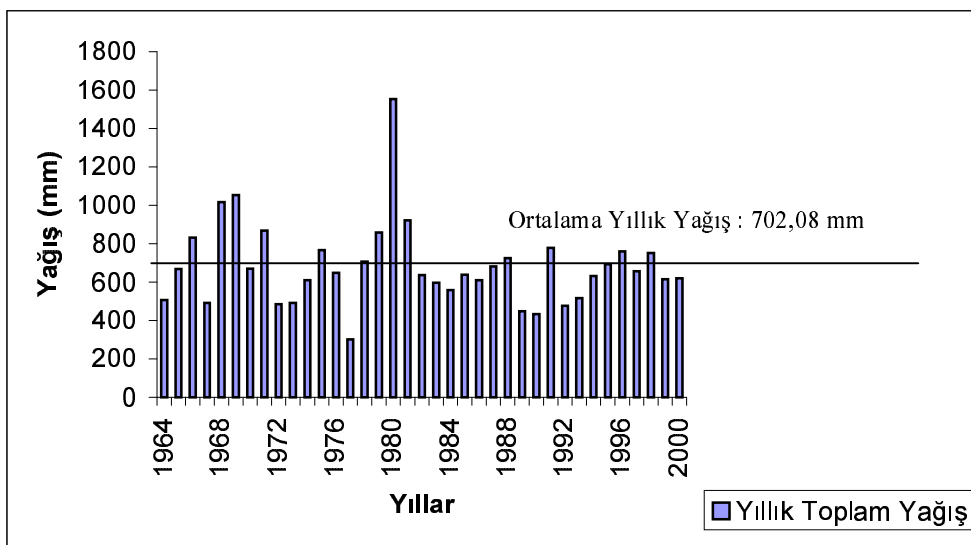
İstasyon adı	İstasyon no	Kuruluş tarihi	Enlem	Boylam
Uluborlu	17864	01/06/90	38.05	30.27
Kumdanlı	5998	01/01/84	37.28	30.59
Barla	6507	01/01/87	38.01	30.47
Keçiborlu	6676	01/06/71	37.57	30.18
Atabey	6679	01/05/66	37.57	30.39
Senirkent	17826	01/01/81	38.06	30.33
Dinar	17862	01/01/38	38.04	30.1

Çizelge 4.2 : Uluborlu-Senirkent havzası dolayındaki Devlet Meteoroloji İstasyonları  
yıllık ortalama yağış verileri (mm)

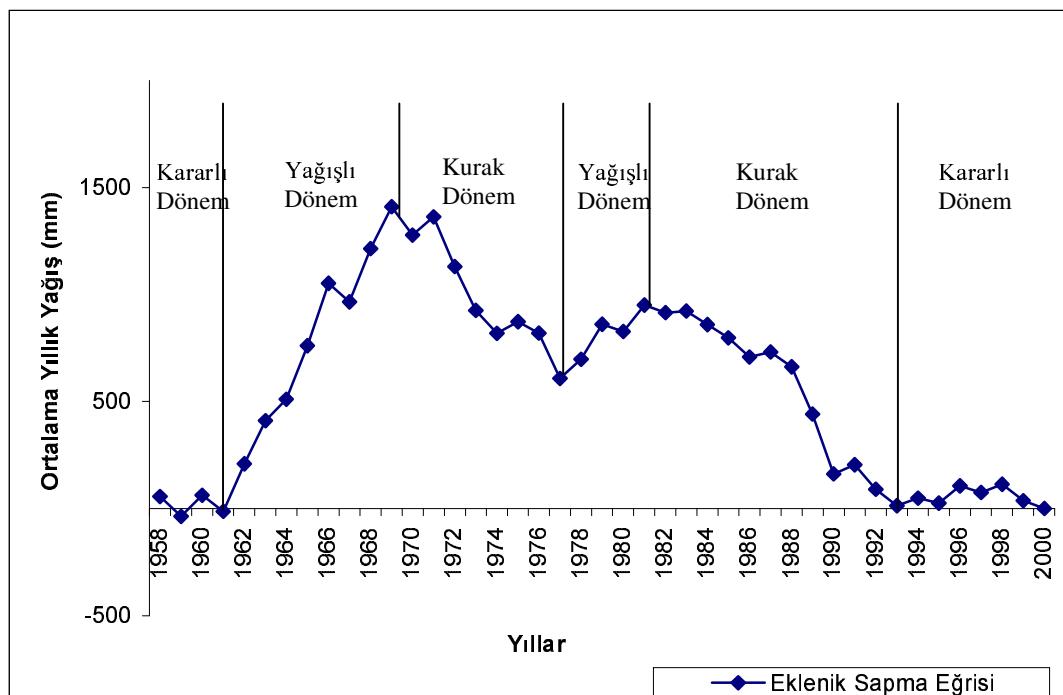
YILLAR	DİNAR	KUMDANLI	KEÇİBORLU	ATABEY	GENÇALİ	ULUBORLU	SENİRKENT	BARLA
<b>1964</b>	459		518	493.8	385.5	738.7	505.5	
<b>1965</b>	493.1	514.8	607.9	573.3	409.3	888	668.6	
<b>1966</b>	652.1	552	632.1	646.3	463.1	929.5	832.3	599.6
<b>1967</b>	459.2	380.1	482.9	506.8	310.5	551.2	491.8	399.8
<b>1968</b>	635.2	583.4	718.2	601	466.1	887.9	1017.1	678.1
<b>1969</b>	536.3	557.5	804.1	775.3	499.4	832.8	1053.2	658.8
<b>1970</b>	366	327.7	416.4	345.3	257.1	506.4	670.5	402.9
<b>1971</b>	455.1	427.6	554.6	545.2	371.8	723.8	867.6	496.2
<b>1972</b>	368.2	324.2	414.8	364.7	254	406.4	485.5	414
<b>1973</b>	360.9	379.1	362.3	368.2	219.2	433.3	492.0	370.2
<b>1974</b>	353.4	432.4	451	456.4	249.9	531.1	609.7	454.8
<b>1975</b>	458.7	561.9	564.2	669.6	444.1	692.6	766.0	668.6
<b>1976</b>	539.9	498.6	612.7	502.1	347.9	585.6	648.7	585.2
<b>1977</b>	281.3	271.7	313.8	407.6	275.7	425.4	300.2	380.7
<b>1978</b>	490.8	544	568.5	612.2	378.8	729	707.1	682.2
<b>1979</b>	542.2	559.4	601.4	638	427.4	802	859.2	623.5
<b>1980</b>	537.3	453	514.2	413.3	315	603.8	1552.4	516.5
<b>1981</b>	444.5	414.8	545	541.2	344.8	761.7	921.8	786.7
<b>1982</b>	368.4	437.6	555.4	434.1	339.1	603.1	636.0	535.6
<b>1983</b>	543.6	509.2	518.3	498.7	335.7	645.4	596.3	654.5
<b>1984</b>	388.6	469.4	376.9	393.4	284.3	576	557.2	482.1
<b>1985</b>	413	478.2	416.9	560.9	287.3	576.2	638.2	579.3
<b>1986</b>	324.1		434.9	369.6	208.6	548.5	609.5	418.5
<b>1987</b>	449.4		457.8	592.1	354.1	661.9	681.2	649.2
<b>1988</b>	438.4	405.9	482.6	584.6	308.6	569.7	725.9	570.8
<b>1989</b>	371.5	337.4	315.2	378.8	270.8	417.7	448.8	458.3
<b>1990</b>	276.5	277.7		308.6	237.8	357.8	432.9	343.3
<b>1991</b>	465.1	510.8		594.9	386.1	681.2	779.1	718.3
<b>1992</b>	309	334.1		382.3	291.3	524.1	476.9	
<b>1993</b>	326.3			326.4	230.1	560.9	516.3	
<b>1994</b>	521.1			399.5		673.7	630.7	
<b>1995</b>	446.6			437.8	424.9	615.4	691.8	
<b>1996</b>	491.2			420.8	406.1	719.2	760.4	
<b>1997</b>	450.5			526.4	424.5	607.7	656.1	
<b>1998</b>	545.1			507.7	370.7	676.4	752.5	
<b>1999</b>	366.5			395.9	515.8	562	615.4	
<b>2000</b>	404.6			369	334.8	600.9	620.3	
<b>2001</b>					406.8			
<b>2002</b>					410.8			
<b>TOPLAM</b>	28457.2	11542.5	15709.6	17941.8	13674.4	27448.2	25274.7	14127.7
<b>ORT.</b>	<b>790.48</b>	<b>461.7</b>	<b>628.38</b>	<b>498.38</b>	<b>359.85</b>	<b>762.45</b>	<b>702.08</b>	<b>565.11</b>
<b>YIL</b>	36	25	25	36	38	36	36	25



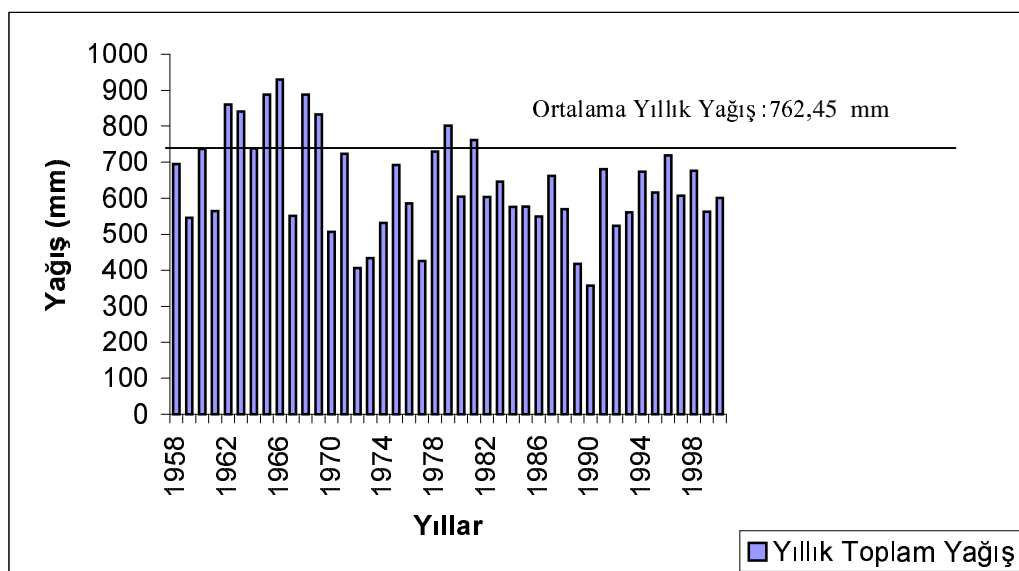
Şekil 4.9 a : Ortalama yıllık yağıştan eklenik sapma grafiği (Senirkent DMİ)



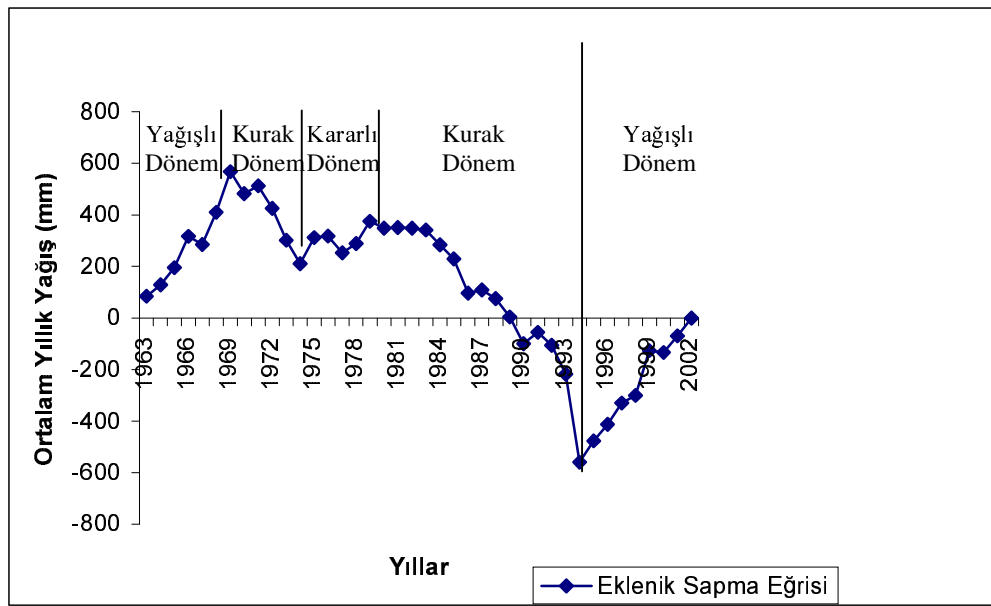
Şekil 4.9 b : Senirkent bölgesinde yağışın yıllara göre dağılımı



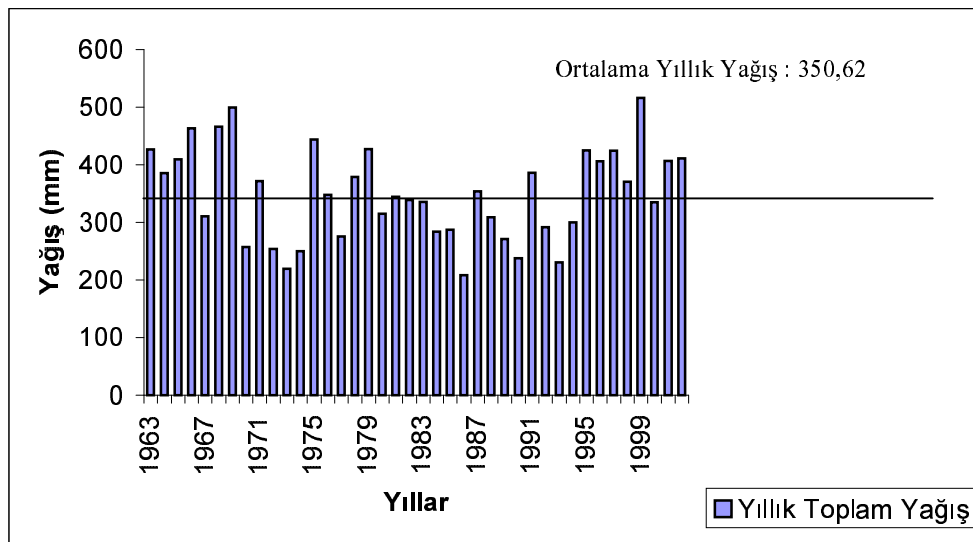
Şekil 4.10 a : Ortalama yıllık yağıştan eklenik sapma grafiği (Uluborlu DMİ)



Şekil 4.10 b: Uluborlu bölgesinde yağışın yıllara göre dağılımı



Şekil 4.11 a : Ortalama yıllık yağıştan eklenik sapma grafiği (Gençali DMİ)



Şekil 4.11 b : Gençali bölgesinde yağışın yıllara göre dağılımı

#### **4.4.2.Buharlaşma**

İnceleme alanında buharlaşmayı hesaplayabilmek için Thornthwaite yönteminden yararlanılmıştır. Senirkent ve Uluborlu ilçelerine ait Devlet Meteoroloji İstasyonlarında ölçülen aylık sıcaklık ve yağış verileri kullanılarak potansiyel (Etp) ve gerçek (Etr) buharlaşma değerleri Senirkent ve Uluborlu için ayrı ayrı hesaplanmıştır.

Senirkent için 1971-2002 yıllarına ait buharlaşma-terleme su bilançosu Çizelge 4.3'de verilmiştir. Bu çizelgeye göre; toplam ortalama yıllık yağış miktarı 641,3 mm, potansiyel buharlaşma (Etp) değeri 721,67 mm ve gerçek buharlaşma (Etr) değeri ise 376,60 mm olarak bulunmuştur. Ayrıca bu verilerden yararlanılarak yağış ve potansiyel buharlaşma grafiği hazırlanmıştır (Şekil 4.12). Bu grafiğe göre Ocak ayından Nisan ayının sonuna kadar ve Kasım ile Aralık aylarında yağış (P) potansiyel buharlaşmadan (Etp) fazladır. Bu yüzden bu dönemlerde Etp, Etr'ye eşittir ve bu dönem için su fazlası 262,68 mm olarak hesaplanmıştır. 100 mm olarak kabul edilen zemin nem rezervi, Mayıs ayının başından Haziran ayının ortalarına kadar harcanmıştır. Haziran ayı ortalarından Ekim ayı sonlarına kadar gerçekleşen su noksası ise 345,07 mm'dir. Tüm bu verilere göre; 641,30 mm olan yıllık yağışın 376,60 mm'lik kısmı buharlaşarak atmosfere dönmektedir. Senirkent için su fazlası tüm yağışın % 41,0'i kadardır.

Uluborlu için 1968-2002 yılları için yapılmış buharlaşma-terleme su bilançosu Çizelde 4.4'de verilmiştir. Çizelge 4.4'de toplam ortalama yıllık yağış miktarı 602,1 mm, gerçek buharlaşma (Etr) değeri 380,87 mm ve potansiyel buharlaşma (Etp) değeri ise 691,70 mm olarak bulunmuştur. Bu verilerden yararlanılarak yağış ve potansiyel buharlaşma grafiği hazırlanmıştır (Şekil 4.13). Bu grafiğe göre Ocak ayından Nisan ayının sonuna kadar ve Kasım ile Aralık aylarında yağış (P) potansiyel buharlaşmadan (Etp) fazladır. Bu dönemde Etp, Etr'ye eşittir ve su fazlası 221,23 mm olarak hesaplanmıştır. 100 mm olarak kabul edilen zemin nem rezervi, Mayıs ayının başından Haziran ayının ortalarına kadar harcanmıştır. Haziran ayı ortalarından Ekim ayı sonlarına kadar gerçekleşen su noksası ise 310,86 mm'dir.

Tüm bu verilere göre; 602,10 mm olan yıllık yağışın 380,87 mm'lik kısmı buharlaşarak atmosfere dönmektedir. Uluborlu için su fazlası tüm yağışın % 36,74'ü kadardır.

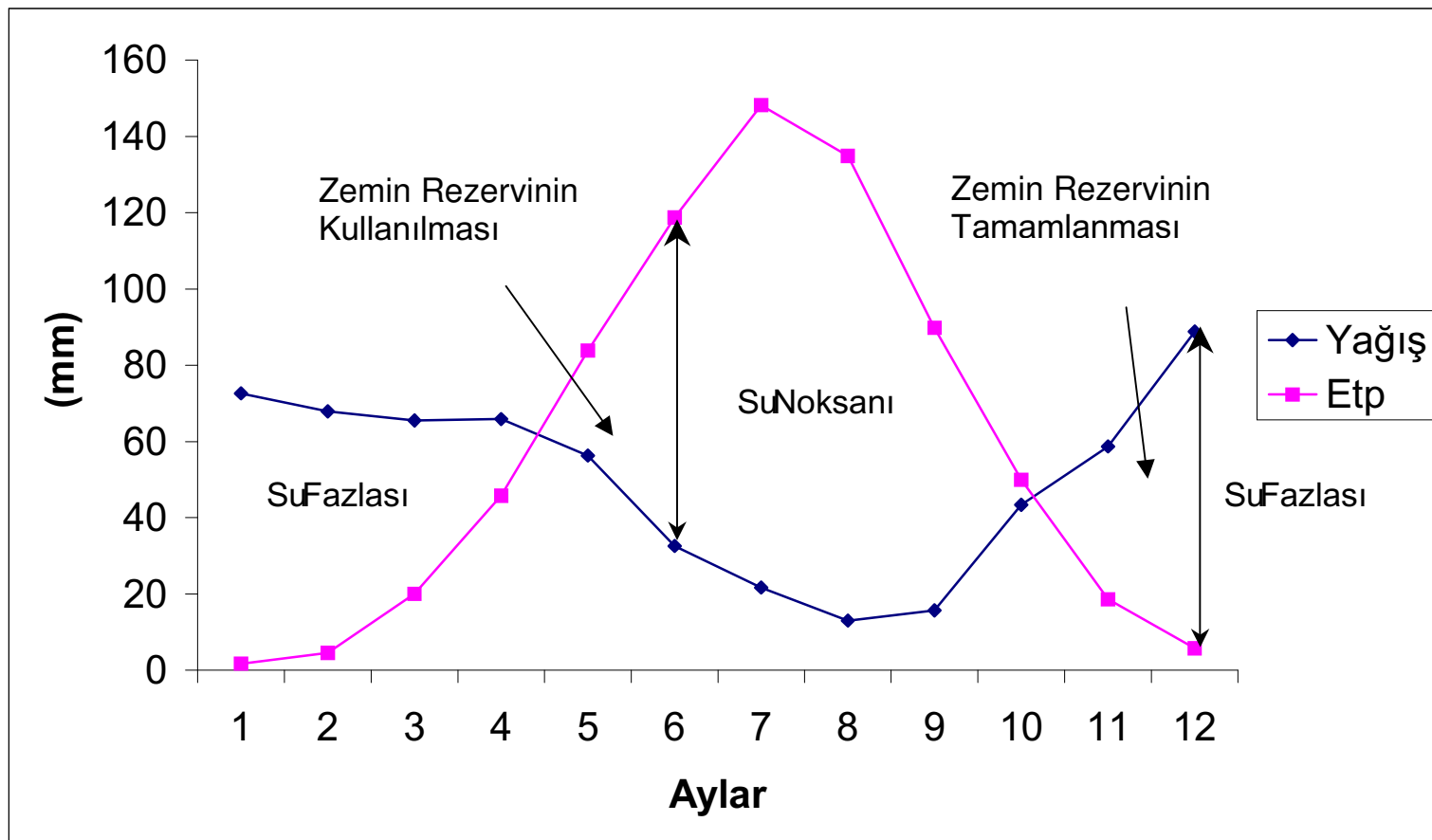
Senirkent-Uluborlu havzası için su bilançosu hazırlarken boşalım hanesine giren buharlaşma-terleme için Senirkent ve Uluborlu'ya ait yıllık yağış ve sıcaklık değerlerinin ortalaması alınarak yeniden Thornthwaite yöntemine göre Etr ve Etp değerleri hesaplanarak grafikleri hazırlanmıştır. Çünkü Senirkent ve Uluborlu ilçeleri temsili olarak havzanın merkezini oluşturmaktadır ve birbirine yakın mesafelerde bulunmaktadır.

Senirkent ve Uluborlu'nun ortalama yağış ve sıcaklık değerleri için hazırlanan buharlaşma hesabı Çizelge 4.5'de verilmiştir. Çizelgede toplam ortalama yıllık yağış miktarı 622,00 mm, gerçek buharlaşma (Etr) değeri 378,92 mm ve potansiyel buharlaşma (Etp) değeri ise 701,21 mm olarak bulunmuştur. Ayrıca bu verilerden yararlanılarak yağış ve potansiyel buharlaşma grafiği hazırlanmıştır (Şekil 4.14). Bu grafiğe göre Ocak ayından Nisan ayının sonuna kadar ve Kasım ile Aralık aylarında yağış (P) potansiyel buharlaşmadan (Etp) fazladır. Bu yüzden bu dönemde Etp, Etr'ye eşittir ve bu dönem için su fazlası 243,08 mm olarak hesaplanmıştır. 100 mm olarak kabul edilen zemin nem rezervi, Mayıs ayının başından Haziran ayının ortalarına kadar harcanmıştır. Haziran ayı ortalarından Ekim ayı sonlarına kadar gerçekleşen su noksası ise 324,29 mm'dir. Tüm bu verilere göre; 622,00 mm olan yıllık yağışın 378,92 mm'lik kısmı buharlaşarak atmosfere dönmektedir. Ortalama değerler için su fazlası tüm yağışın % 39,08'i kadardır. 378,92 mm'lik gerçek buharlaşma (Etr) miktarı  $753 \text{ km}^2$ 'lik havza alanı için  $285,326 \times 10^6 \text{ m}^3/\text{yıl}$  olmaktadır.

Sonuç olarak  $753 \text{ km}^2$  büyüklüğündeki inceleme alanından ortalama 378,92 mm/yıl gerçek buharlaşma (Etr) değeri ile ortalama  $285,326 \times 10^6 \text{ m}^3/\text{yıl}$  buharlaşma-terleme yolu ile boşalmaktadır.

Çizelge 4.3 : Senirkent Meteoroloji İstasyonu için hazırlanan Thorntwaite Buharlaşma-Terleme Bilançosu

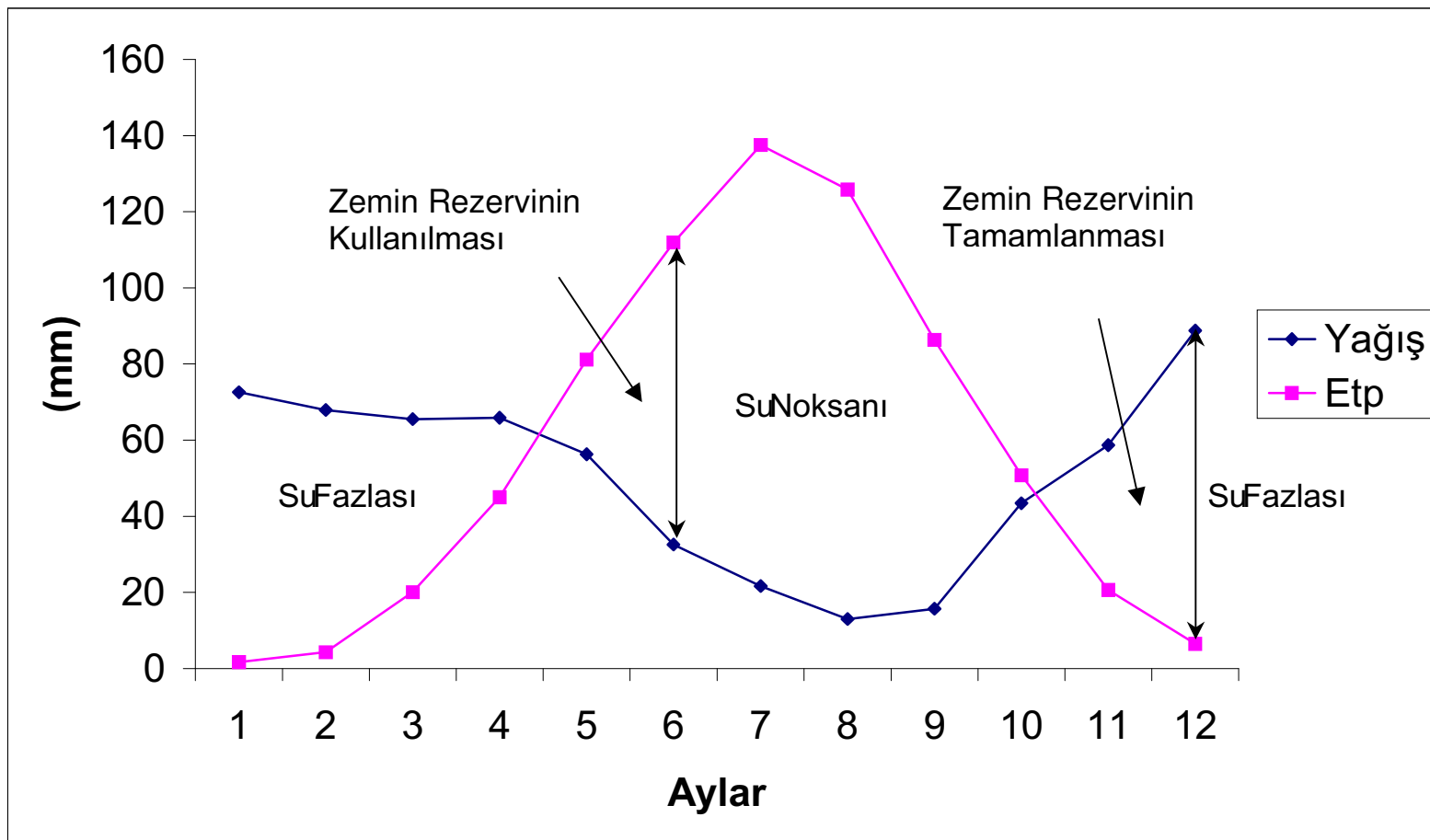
<b>Senirkent</b>	<b>Ocak</b>	<b>Şubat</b>	<b>Mart</b>	<b>Nisan</b>	<b>Mayıs</b>	<b>Haziran</b>	<b>Temmuz</b>	<b>Ağustos</b>	<b>Eylül</b>	<b>Ekim</b>	<b>Kasım</b>	<b>Aralık</b>	<b>TOPLAM</b>
<b>Aylık sıcaklık (°C)</b>	1,20	2,50	6,40	11,20	16,20	20,80	24,20	23,70	19,30	13,10	7,00	3,00	
<b>Aylık endeks (<i>i</i>)</b>	0,12	0,35	1,45	3,39	5,93	8,66	10,89	10,55	7,73	4,30	1,66	0,46	55,49
<b>Etp (mm)</b>	1,71	4,54	20,01	45,74	83,81	118,70	148,21	134,85	89,78	49,92	18,65	5,75	721,67
<b>Yağış (mm)</b>	74,40	68,80	73,00	68,80	59,60	35,40	18,10	13,00	12,90	41,20	75,80	100,30	641,30
<b>Zemin rezervi</b>	100	100	100	100	75,79	0	0	0	0	0	57,15	100	
<b>Etr (mm)</b>	1,71	4,54	20,01	45,74	83,81	111,19	18,10	13,00	12,90	41,20	18,65	5,75	376,60
<b>Z.rezerv Değişimi</b>	-	-	-	-	-24,21	-75,79	-	-	-	-	57,15	42,85	
<b>Su noksası (mm)</b>	-	-	-	-	-	7,51	130,11	121,85	76,88	8,72	-	-	345,07
<b>Su Fazlası (mm)</b>	72,69	62,24	52,99	23,06	-	-	-	-	-	-	-	51,70	262,68
<b>Enlem düzeltme Katsayısı</b>	0,86	0.84	1.03	1.10	1,22	1,23	1.25	1.17	1,03	0,97	0,85	0.83	



Şekil 4.12 : Thorntwaite yöntemi yağış ve Etp'nin aylık değişim grafiği (Senirkent)

Çizelge 4.4 : Uluborlu Meteoroloji İstasyonu için hazırlanan Thorntwaite Buharlaşma-Terleme Bilançosu

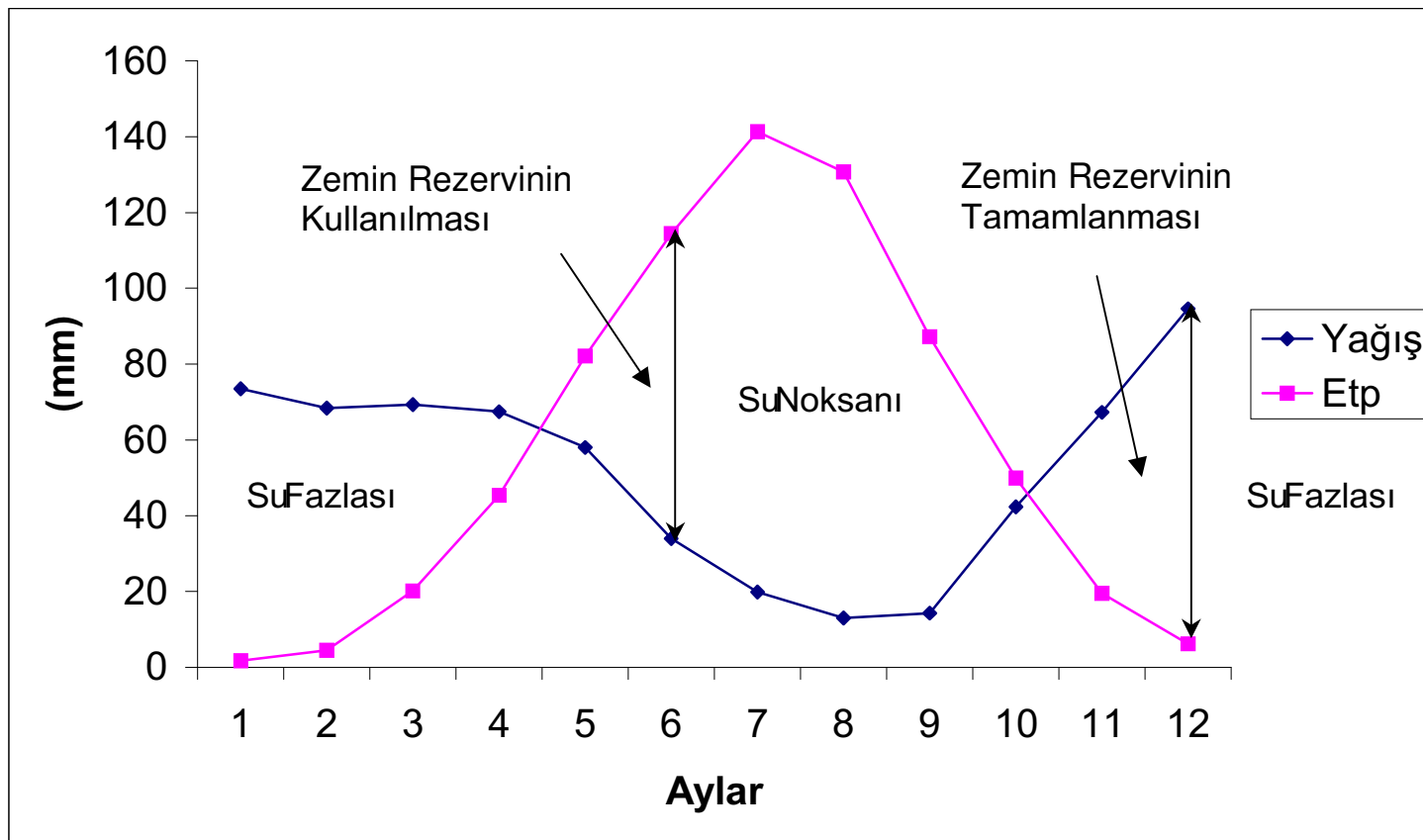
<b>Uluborlu</b>	<b>Ocak</b>	<b>Şubat</b>	<b>Mart</b>	<b>Nisan</b>	<b>Mayıs</b>	<b>Haziran</b>	<b>Temmuz</b>	<b>Ağustos</b>	<b>Eylül</b>	<b>Ekim</b>	<b>Kasım</b>	<b>Aralık</b>	<b>TOPLAM</b>
<b>Aylık sıcaklık (°C)</b>	1,00	2,10	5,90	10,50	15,30	19,50	22,60	22,20	18,30	12,70	7,00	2,90	
<b>Aylık endeks (i)</b>	0,09	0,27	1,28	3,07	5,44	7,85	9,81	9,55	7,13	4,10	1,66	0,44	50,69
<b>Etp (mm)</b>	1,70	4,31	20,05	45,03	81,17	111,90	137,56	125,82	86,33	50,75	20,62	6,46	691,70
<b>Yağış (mm)</b>	72,60	67,90	65,50	65,90	56,30	32,60	21,70	13,00	15,70	43,40	58,70	88,80	602,10
<b>Zemin rezervi</b>	100	100	100	100	75,13	0	0	0	0	0	38,08	100	
<b>Etr (mm)</b>	1,70	4,31	20,05	45,03	81,17	107,73	21,70	13,00	15,70	43,40	20,62	6,46	380,87
<b>Z.rezerv Değişimi</b>	-	-	-	-	-24,87	-75,13	-	-	-	-	38,08	61,92	
<b>Su noksası (mm)</b>	-	-	-	-	-	4,17	115,89	112,82	70,63	7,35	-	-	310,86
<b>Su Fazlası (mm)</b>	70,90	63,59	45,45	20,87	-	-	-	-	-	-	-	20,42	221,23
<b>Enlem düzeltme Katsayısı</b>	0,86	0,84	1.03	1.10	1,22	1,23	1.25	1.17	1,03	0,97	0,85	0,83	



Şekil 4.13 : Thorntwaite yöntemi yağış ve Etp'nin aylık değişim grafiği (Uluborlu)

Çizelge 4.5 : Senirkent ve Uluborlu Meteoroloji İstasyonları Ortalaması için hazırlanan Thorntwaite Buharlaşma-Terleme Bilançosu

<b>Senirkent Uluborlu</b>	<b>Ocak</b>	<b>Şubat</b>	<b>Mart</b>	<b>Nisan</b>	<b>Mayıs</b>	<b>Haziran</b>	<b>Temmuz</b>	<b>Ağustos</b>	<b>Eylül</b>	<b>Ekim</b>	<b>Kasım</b>	<b>Aralık</b>	<b>TOPLAM</b>
<b>Aylık sıcaklık (°C)</b>	1,10	2,30	6,20	10,90	15,80	20,20	23,40	23,20	18,80	12,90	7,00	3,00	
<b>Aylık endeks (<i>i</i>)</b>	0,10	0,31	1,38	3,25	5,71	8,28	10,35	10,08	7,43	4,20	1,66	0,46	53,21
<b>Etp (mm)</b>	1,71	4,44	20,16	45,35	82,11	114,50	141,28	130,75	87,20	49,95	19,53	6,23	701,21
<b>Yağış (mm)</b>	73,50	68,40	69,30	67,40	58,00	34,00	19,90	13,00	14,30	42,30	67,30	94,60	622
<b>Zemin rezervi</b>	100	100	100	100	74,3	0	0	0	0	0	47,9	100	
<b>Etr (mm)</b>	1,71	4,44	20,16	45,35	82,11	109,89	19,90	13,00	14,30	42,30	19,53	6,23	378,92
<b>Z.rezerv Değişimi</b>	-	-	-	-	-24,11	-75,89	-	-	-	-	47,77	52,23	
<b>Su noksası (mm)</b>	-	-	-	-	-	4,61	121,38	117,75	72,9	7,65	-	-	324,29
<b>Su Fazlası (mm)</b>	71,79	63,96	49,14	22,05	-	-	-	-	-	-	-	36,14	243,08
<b>Enlem düzeltme Katsayısı</b>	0,86	0.84	1.03	1.10	1,22	1,23	1.25	1.17	1,03	0,97	0,85	0.83	



Şekil 4.14 : Thorntwaite yöntemi yağış ve Etp'nin aylık değişim grafiği (Senirkent ve Uluborlu'nun ortalaması)

#### **4.4.3.AKİŞ**

753 km<sup>2</sup>'lik bir alana sahip olan Senirkent-Uluborlu havzası içerisinde yağışlı dönemde yüzeysel akışı sağlayan tek dere olarak Pupa (Üğüllü) Çayı bulunmaktadır. Pupa Çayı havzanın batısından doğup doğuya doğru ovayı katederek Eğirdir Gölü'ne boşalır. Çalışma alanında bulunan diğer mevsimlik derelerden Şehir Çayı, Değirmendere, Dereköy Çayı, Ak Çay ve İleydağı Çayı, Pupa Çayı'nın havza içerisindeinden beslenen kolları oldukları için bilanço hesaplarında dikkate alınmayacağı.

Havza'dan Eğirdir Gölü'ne tek yüzeysel boşalım olan Pupa Çayı akım rasat değerleri Çizelge 4.7'de verilmiştir. Pupa Çayı akım rasat istasyonu havzanın ortasında yer almaktadır (EK-4). Pupa Çayı yıllık ortalama akış değeri 12.84 m<sup>3</sup>/yıl olarak DSİ tarafından belirlenmiştir.

#### **4.4.4.Su Bilançosu**

Çalışmanın bu bölümünde, Senirkent-Uluborlu havzası için hidroloji verileri yardımıyla su bilançosu hazırlanmıştır (Çizelge 4.6).

##### **-Beslenim**

Senirkent-Uluborlu havzasının en önemli beslenme kaynağı yağıştır. Su toplama havzasına düşen yıllık yağış miktarı  $420,174 \times 10^6$  m<sup>3</sup>/yıl olarak belirlenmiştir(Bölüm 4.4.1).

Havzannın diğer bir beslenim kaynağı ise tarım arazileri için Eğirdir Gölü'nden havzaya verilen sulama suyudur. Eğirdir Gölü'nden ortalama 45 110 198 m<sup>3</sup> / yıl su alınmaktadır. Bu miktar su bilançosu hazırlanırken havza beslenimi olarak dikkate alınmıştır.

### **-Boşalım**

Araştırma alanında en önemli olan boşalım buharlaşmadır.  $753 \text{ km}^2$  büyüklüğündeki inceleme alanından ortalama  $378,92 \text{ mm/yıl}$  gerçek buharlaşma (Etr) değeri ile ortalama  $285,326 \times 10^6 \text{ m}^3/\text{yıl}$  buharlaşma-terleme yolu ile boşalmaktadır (Bölüm 4.4.2).

Havza içerisinde DSİ 18. Bölge Müdürlüğü tarafından açılmış 25 adet sondaj kuyusu bulunmaktadır (Çizelge 4.8). Kuyuların günde 6 saat ve yılda 150 gün çalıştığı düşünülerek, Senirkent'te bulunan DSİ'ye ait toplam 19 adet kuyudan  $2,1 \times 10^6 \text{ m}^3/\text{yıl}$ , Uluborlu'da bulunan 6 adet kuyudan ise  $0,47 \times 10^6 \text{ m}^3/\text{yıl}$  su çekilmektedir. Ayrıca resmi kurumlara ait kuyuların dışında yöre halkına ait ruhsatlı/ruhsatsız en az 60 dolayında sondaj kuyusu bulunmaktadır. Bu kuyularda üretim debileri ve süreleri hakkında doğru bilgilere ulaşılamamıştır. Hazırlanan su bilançosunda özel kuyuların üretim debisi ve süresinin resmi kuyulara benzer olduğu varsayılmıştır. Buna göre özel kuyulardan yılda  $4,1 \times 10^6 \text{ m}^3/\text{yıl}$  su çekilmektedir. Havzada toplam yeraltısu üretimi ise  $6,7 \text{ m}^3/\text{yıl}$  olarak bulunmuştur.

Havzadan Pupa Çayı ile Eğirdir Gölü'ne yüzeysel akış şeklinde boşalım olmaktadır. Göl kenarında akım rasat istasyonu bulunmamaktadır. Senirkent köprüsünde 1974-2000 yılları arasında DSİ tarafından yapılan ölçümlerde ortalama yüzeysel akış miktarı  $12.84 \text{ m}^3/\text{yıl}$  bulunmuştur (Çizelge 4.7). Ancak, ölçüm yapılan nokta havzanın ortasında bulunduğuundan ve havza drenaj sistemi de göz önünde tutularak toplam yüzeysel akış yolu ile boşalım bu değerin iki katı olan  $25.68 \text{ m}^3/\text{yıl}$  kabul edilmiştir.

Uluborlu ilçe merkezi ve Küçükkabaca yerleşim yerinde bulunan tarım arazilerinin sulanması için yapılan Uluborlu Barajı ile net olarak 1640 ha'lık alan sulanmaktadır. Uluborlu barajından alınan su miktarı ortalama  $11\ 916\ 198 \text{ m}^3/\text{yıl}'dır. Uluborlu'nun İleydağı kasabasında da 113 ha'lık alanın sulama suyu ihtiyacı için İleydağı göletinden  $660\ 000 \text{ m}^3/\text{yıl}$  su alınmaktadır. Barajlardan verilen toplam sulama suyu miktarı  $12\ 576\ 198 \text{ m}^3/\text{yıl}$  dır. DSİ 18. Bölge Müdürlüğü verilerine göre Uluborlu$

dolayında sulama randımanı % 46 dır. Buna göre su bilançosu hesabında, sulamaya verilen  $12\ 576\ 198\ m^3/\text{yıl}$  suyun % 46'sı olan  $5.78 \times 10^6\ m^3/\text{yıl}$  su boşalım olarak dikkate alınmıştır.

DSİ 18.Bölge Müdürlüğü verilerine göre sulamaya verilen suyun sulama randımanı %33 dür. Eğirdir Gölü'nden tarım alanları için verilen  $45\ 110\ 198\ m^3/\text{yıl}$  suyun %33'ü olan  $14,88 \times 10^6\ m^3/\text{yıl}$  havzadan boşalım olarak kabul edilmiştir.

Su bilançosunda dikkate alınması gereken bilanço elemanları arasında havzadaki kaynak boşalımları da bulunmaktadır. Bölgenin jeolojik yapısı ve kaynak lokasyonları incelendiğinde, kaynakların havza içerisindeki görülmektedir. Kaynak boşalımları ise Pupa çayı akım rasat istasyonlarında ölçüldüğü için ayrıca boşalım olarak dikkate alınmamıştır. Ancak, Eğirdir Gölü kıyısında yeralan Kayaağzı kaynağı direkt göle boşaldığı için havza boşalım elemanları arasına alınmıştır.  $45\text{l/s}$  debi ile Kayaağzı kaynağının Eğirdir Gölü'ne yıllık boşalımı  $1,419 \times 10^6\ m^3/\text{yıl}$  olarak hesaplanmıştır.

Eğirdir Gölü kenarında olan çalışma havzasından alüvyon ova ve tabanındaki kireçtaşlarından yeraltı akışı ile Eğirdir Gölü'ne bir boşalım olduğu bilinmektedir.

Yeraltı boşalımı;  $Q = T \times i \times G$  formülü ile hesaplanmaktadır.

$T$  = Transmisibilite katsayısı ( $m^2/\text{gün}$ )

$i$  = Hidrolik eğim

$G$  = Havzanın Göle Boşalım alanı genişliği (m)

Ortalama Tranmissibilite katsayısı (4.5.3. Akiferlerin Hidroloji Parametreleri başlıklı bölüm altında ayrıntısı verilecek olan kuyu hidroliği uygulamalarında)  $345.6\ m^3/\text{gün}$  olarak hesaplanmıştır. Hidrolik eğim 0,003 olarak belirlenmiştir. Havzadan Eğirdir Gölü'ne boşalım alanı genişliği  $10\ km^2$  dir. Sonuçta havzadan Eğirdir Gölü'ne yeraltı boşalımı ortalama  $37,8 \times 10^6\ m^3/\text{yıl}$  olarak hesaplanmıştır.

Havzada hesaplanan toplam beslenim ( $465 \times 10^6 \text{ m}^3/\text{yıl}$ ) ile toplam boşalım ( $377 \times 10^6 \text{ m}^3/\text{yıl}$ ) değerleri arasında  $88 \times 10^6 \text{ m}^3/\text{yıl}'\text{l}\text{i}\text{k}$  fark bulunmaktadır (Çizelge 4.6). Ölçümlerde ve hesaplamalarda olabilecek hatalar dikkate alındığında emniyetli kullanılabilecek su miktarı bilanço farkının % 60'ı alınabilir. Senirkent-Uluborlu havzasında dinamik su rezervi yaklaşık  $53 \times 10^6 \text{ m}^3/\text{yıl}$  bulunmuştur.

Çizelge 4.6: Senirkent-Uluborlu Havzası Su Bilançosu

BESLENİM	$(\times 10^6) \text{ m}^3/\text{yıl}$	BOŞALIM	$(\times 10^6) \text{ m}^3/\text{yıl}$
Yağış	420,174	Buharlaşma	285
Eğirdir Gölü'nden sulama suyu	45	Kuyularдан çekim Pupa Çayı boşalımı	6,7 25,68
		Göletlerden alınan sulama suyundan bitki kullanımı	5,78
		Eğirdir Gölü'nden alınan sulama suyundan bitki kullanımı	14,88
		Kayaağzı kaynağından Eğirdir Gölü'ne boşalım	1,419
		Eğirdir Gölü'ne yeraltısu boşalımı $Q=T \times i \times G$	37,8
<b>Toplam</b>	<b>465,174</b>	<b>Toplam</b>	<b>377,26</b>

## **4.5.Hidrojeoloji**

Bu bölümde su noktaları, litolojik birimlerin hidrojeolojik özellikleri, akiferlerin hidrojeolojik parametreleri ve yeraltısu dinamiği ele alınmaktadır.

### **4.5.1.Su Noktaları**

Çalışma alanında çok sayıda kaynak, yüzeysel akış, sondaj kuyuları ve 2 adet gölet bulunmaktadır.

#### **4.5.1.1.Akarsular**

Çalışma alanında bulunan yüzeysel akışları göstermek için drenaj ağı haritası hazırlanmıştır (Ek-4). Çalışma alanında çok sayıda sürekli ve mevsimlik dere bulunmaktadır.

##### **-Pupa Çayı:**

Ovanın en uzun akarsuyu olan Pupa Çayı'nın drenaj alanı  $202 \text{ km}^2$ 'dir. Diğer mevsimlik dereleri bünyesine katarak  $45 \text{ km}^2$ 'lik bir mesafeden sonra Eğirdir Gölü'ne ulaşmaktadır.

Pupa Çayı üzerinde Uluborlu Köprüsü ve Senirkent Köprüsü üzerinde bulunan akım Rasat İstasyonları D.S.İ. 18. Bölge Müdürlüğü tarafından işletilmektedir (Çizelge 4.7).

Pupa Çayı 1962 yılında Temmuz ve Ağustos aylarında, 1963 yılında Ağustos ve Eylül aylarında, 1964 yılında Temmuz, Ağustos ve Eylül aylarında, 1965 yılında Eylül ayında, 1966 yılında Ağustos ve Eylül aylarında, 1967 yılında Temmuz ve Ağustos aylarında, 1968 yılında ise Temmuz ayında kuru dere haline geçmektedir.

Pupa Çayı üzerine inşa edilen Uluborlu barajı ile Uluborlu ilçe merkezi ve Küçükocabaca yerleşim yerinde net 1640 ha tarım arazisinin sulanması ve 300 ha

arazinin taşkından korunması sağlanmaktadır. Uluborlu barajından alınan su miktarı ortalama  $11\ 916\ 198\ m^3$ ,dür. Barajı besleyen Şalgamlı ve Kuruçay derelerinin yıllık ortalama akımı  $12,02\ hm^3$ 'tür. Uluborlu Barajı'nın teknik özellikleri (Şekil 4.15)'de verilmiştir.

Çizelge 4.7 : Pupa Çayı Su Temin Tablosu (DSİ 18. Bölge Müdürlüğü)

Bölge : Isparta	SU TEMİNİ TABLOSU	Yağış alanı : 291 km <sup>2</sup>											
İstasyon No : 09-073		Birimler : hm <sup>3</sup>											
Suyun adı : Pupa Çayı													
İstasyon adı : Senirkent köprüsü													
Su Yılı	Ekim	Kasım	Aralık	Ocak	Şubat	Mart	Nisan	Mayıs	Haziran	Temmuz	Ağustos	Eylül	Toplam
1974	0,00	0,00	0,12	0,00	0,10	2,62	0,03	0,10	0,00	0,00	0,00	0,00	2,97
1975	0,00	0,00	0,20	0,20	0,66	2,59	1,76	3,41	1,38	0,00	0,00	0,00	10,20
1976	0,00	0,26	1,03	2,72	2,13	2,99	3,72	1,38	0,01	0,00	0,00	0,00	14,24
1977	0,21	0,06	0,80	0,92	2,55	2,28	1,44	0,60	0,12	0,00	0,00	0,00	8,98
1978	0,15	0,05	0,17	1,13	5,97	6,32	5,65	1,24	0,02	0,02	0,00	0,02	20,74
1979	0,55	0,22	0,96	6,09	7,15	2,02	0,64	0,00	0,00	0,00	0,00	0,00	17,63
1980	0,35	1,19	2,14	4,98	4,19	4,36	6,05	2,63	0,16	0,00	0,00	0,00	26,05
1981	0,00	0,23	0,30	3,59	4,59	6,83	3,43	1,55	0,00	0,00	0,00	0,00	20,52
1982	0,00	0,00	2,23	1,50	0,53	3,20	5,12	3,30	0,27	0,00	0,00	0,00	16,15
1983	1,10	0,26	0,18	0,03	0,91	1,56	6,23	1,18	0,33	0,00	0,00	0,16	11,94
1984	0,00	1,66	2,70	1,64	0,60	1,79	2,50	2,22	0,04	0,01	0,00	0,00	13,16
1985	0,00	0,03	0,00	0,33	0,96	0,52	1,13	0,00	0,00	0,00	0,00	0,00	2,97
1986	0,00	0,02	0,03	0,41	0,85	1,10	0,35	0,00	0,05	0,00	0,00	0,00	2,81
1987	K A P A L I												
1996													
1997	0,04	0,00	0,26	0,23	0,17	0,00	0,66	0,50	0,07	0,02	0,04	0,01	2,00
2000	0,03	0,44	0,69	0,37	1,13	1,53	4,17	6,52	5,91	1,08	0,24	0,16	22,27
Toplam	2,43	4,42	11,81	24,14	32,49	39,71	42,88	24,63	8,36	1,13	0,28	0,35	192,63
Ortalama	0,16	0,29	0,79	1,61	2,17	2,65	2,86	1,64	0,56	0,08	0,02	0,02	12,84



Şekil 4.15 : Uluborlu Barajı'nın teknik özellikleri ve mansaptan bir görünümü

Gövde Tipi	: Zonlu toprak dolgu
Göletin Amacı	: Sulama ve feyezan kontrolü
Temelden Yüksekliği	: 72,00 m
Talvegen Yüksekliği	: 56,46 m
Kret Kotu	: 1159,26
Kret Uzunluğu	: 315,00 m
Toplam Dolgu Hacmi	: 2078,000 m <sup>3</sup>
Maximum Depolama Hacmi	: 21,3 hm <sup>3</sup>
Maximum Göl Alanı	: 1,32 km <sup>2</sup>
Maximum Su Seviyesi	: 1154,72 m
Normal Su Seviyesi	: 1152,40 m
Normal Su Seviyesi Yüzey Alanı	: 1,100 km <sup>2</sup>
Normal Su Seviye Hacmi	: 21,30 hm <sup>3</sup>
Minimum Su Seviyesi	: 1118,40 m
Minimum Su Seviyesi Yüzey Alanı	: 0,192 km <sup>2</sup>
Minimum Su Seviye Hacmi	: 1,4 hm <sup>3</sup>
İşletmeye Girdiği Yıl :	: 1984

### **-Değirmendere Çayı**

Yassıören güneyinde, Senirkent'in doğusunda yeralan Değirmen dereyi besleyen birçok kaynak bulunmaktadır. Bu derenin sularının bir kısmı Senirkent ilçesinin içme suyu amaçlı, bir kısmı ise, Yassıören kasabasında sulama suyu amaçlı olarak kullanılmaktadır.

### **-Şehir Çayı**

Uluborlu'nun güneyinde yeralan Şehir Çayı Kapıdağından doğar, Pupa Çayı'na karışır. Şehir Çayı'nın debisi 60l/s'dir. Köy Hizmetleri (Eski Topraksu) Bölge Müdürlüğü çayın sularını beton kanal içine alarak, 800 dekarlık arazide sulu ziraat yapılmasını temin etmiştir. Geçmiş yıllarda üzerine bir hidroelektrik santrali kurulmuş ve işletilmiştir.

### **-Ak Çay**

Kapıdağ yaylasında 11 adet kaynağın birleşmesiyle oluşan Ak çay Uluborlu'da bulunmaktadır. Ayrıca Ak çay, Suuçan olarak bilinen şelalenin suyunu da oluşturmaktadır. Akçay'ın akış debisi ölçülmemektedir.

### **- Dereköy Çayı**

Uluborlu'daki Dereköy Çayı, kaynağını Akpınarından almaktadır. Dereköy Çayı suları tarım arazilerinin sulamasında kullanılmaktadır.

### **- İleydağı Çayı**

İnceleme alanının batısında yeralan İleydağı Çayı'nı besleyen Ahır deresinin yıllık ortalama akımı  $1,272 \text{ hm}^3$ 'tür. 1996 yılında üzerine İleydağı Göleti yapılarak (Şekil.4.16) İleydağı ovasındaki tarım arazisinin sulanması sağlanmıştır. İleydağı göletinden alınan su miktarı ortalama olarak  $660\,000 \text{ m}^3$ 'tür.



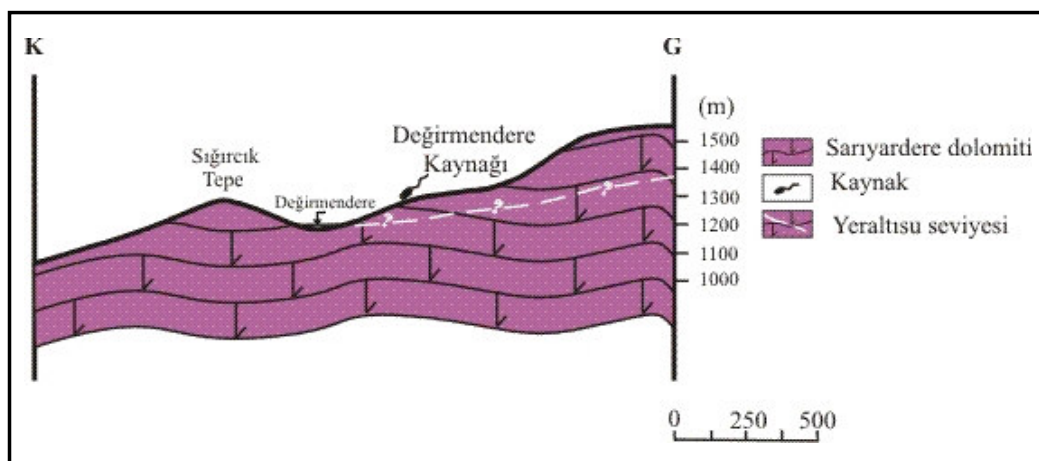
Şekil 4.16 : İleydağı Göleti'nin görünümü ve teknik özelliklerı

Gövde Tipi	: Homojen toprak dolgu
Göletin Amacı	: Sulama
Temelden Yüksekliği	: 34,90 m
Talveğten Yüksekliği	: 26,90 m
Normal Su Seviyesi	: 1244,40 m
Normal Su Seviyesi Yüzey Alanı	: 0,093 km <sup>2</sup>
Normal Su Seviye Hacmi	: 0,80 hm <sup>3</sup>
Minimum Su Seviyesi	: 1231,0 m
Minimum Su Seviyesi Yüzey Alanı	: 0,022 km <sup>2</sup>
Minimum Su Seviye Hacmi	: 0,069 hm <sup>3</sup>
İşletmeye Girdiği Yıl :	: 1996

#### 4.5.1.2.Kaynaklar

İnceleme alanında yeralan kaynaklar genellikle dokanak ve süreksizliklere bağlı olarak ortaya çıkmakta yada tektonik dokanaklardan boşalmaktadır. Kaynaklar 1/100 000 ölçekli hidrojeoloji haritası üzerinde gösterilmiştir (EK-8). Bu kaynaklardan debileri ölçülen 4 adeti ayrıntılı olarak aşağıda incelenmiştir.

##### -Değirmendere Kaynağı

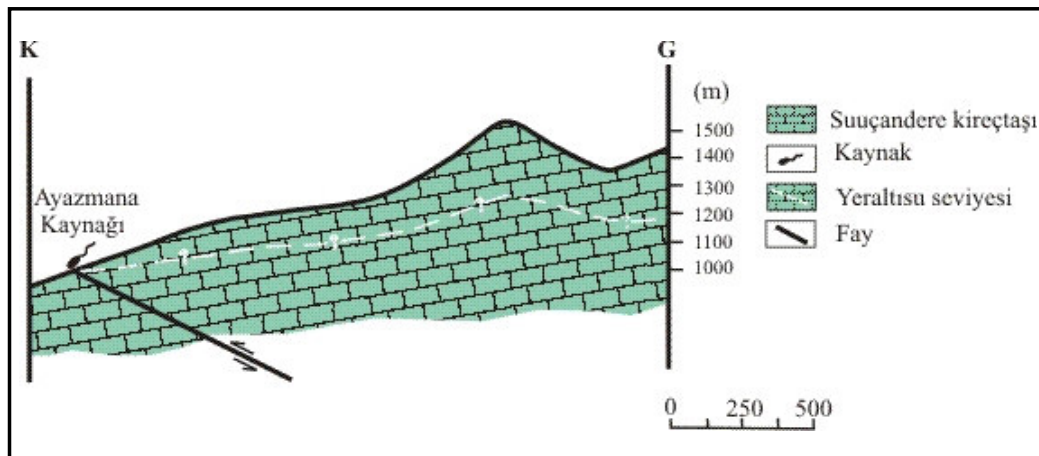


Şekil 4.17 : Değirmendere Kaynağı jeolojik kesiti

Yassıören köyüne yaklaşık 3km kuzeydoğusunda bulunan kaynak Sarıyardere dolomitlerinden boşalan tabaka kaynağı özellikle dindedir (Şekil 4.17).

Yassıören güneyindeki dağlardan çıkan ve Değirmen dereyi meydana getiren kaynağın yaz debisi  $Q=55 \text{ l/s}'$  dir. Kaynak çıkış noktasında yapılan kaptajdan 5 l/s Senirkent ilçesine içme suyu olarak verilmektedir. Geriye kalan 50 l/s' si ise Yassıören köyünün bahçelerinde sulama suyu olarak kullanılmaktadır.

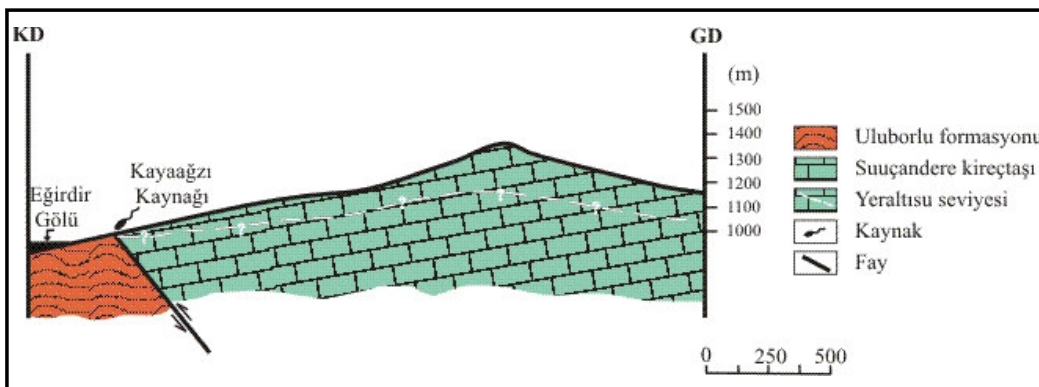
### -Ayazmana Kaynağı



Şekil 4.18 : Ayazmana Kaynağı jeolojik kesiti

Yassıören köyünün 2 km güneydoğusunda yer alan Suuçandere kireçtaşlarından boşalan Ayazmana kaynağının kurak dönem debisi  $Q=35 \text{ l/s}'$  dir. Kaynakta sürekli debi ölçümü yapılmamaktadır (Şekil 4.18).

### -Kayaağzı Kaynağı



Şekil 4.19 : Kayaağzı Kaynağı jeolojik kesiti

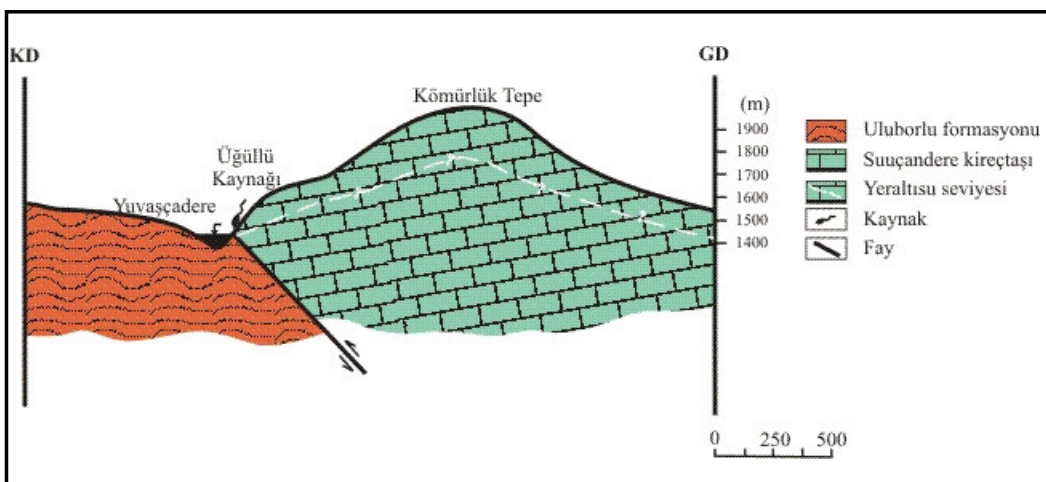
Kayaağzı kaynağı Senirkent-Uluborlu havzasının güneydoğu sınırında ve Eğirdir Gölü'nün güneybatısında bulunan Kayaağzı mahallesinde yer almaktadır. Kaynak  $Q=45 \text{ l/s}$  debi ile sularını Eğirdir Gölü'ne boşaltmaktadır. Dokanak kaynağı

özelliğinde olan Kayaağzı kaynağı, Yassıviran kireçtaşı ve Uluborlu formasyonunun dokanağından boşalmaktadır (Şekil 4.19). Kaynak bölgesinde gözlenen Uluborlu formasyonu çok küçük bir alanda yüzeylendiği için 1/100 000 ölçekli jeoloji haritasında gösterilmemiştir.

### -Üğüllü Kaynağı

Uluborlu sınırları içerisinde yer alan Üğüllü kaynağı yerleşim yerinden yaklaşık 8 km' lik mesafe bulunmaktadır. Kömürlük tepenin kuzey yamacında bulunan kaynak çevresinde Kapı dağı, Hisarlık tepe ve Kalayıcı tepe bulunmaktadır.

Üğüllü kaynağı; allokton konumdaki Jura-Kretase yaşı Suuçandere kireçtaşlarının geçirimsiz kaya birimi özelliği taşıyan Tersiyer-Paleosen yaşı Uluborlu formasyonunun üzerine bindirmesi sonucu oluşan tektonik dokanaktan boşalan yeraltısuyudur (Şekil 4.20).

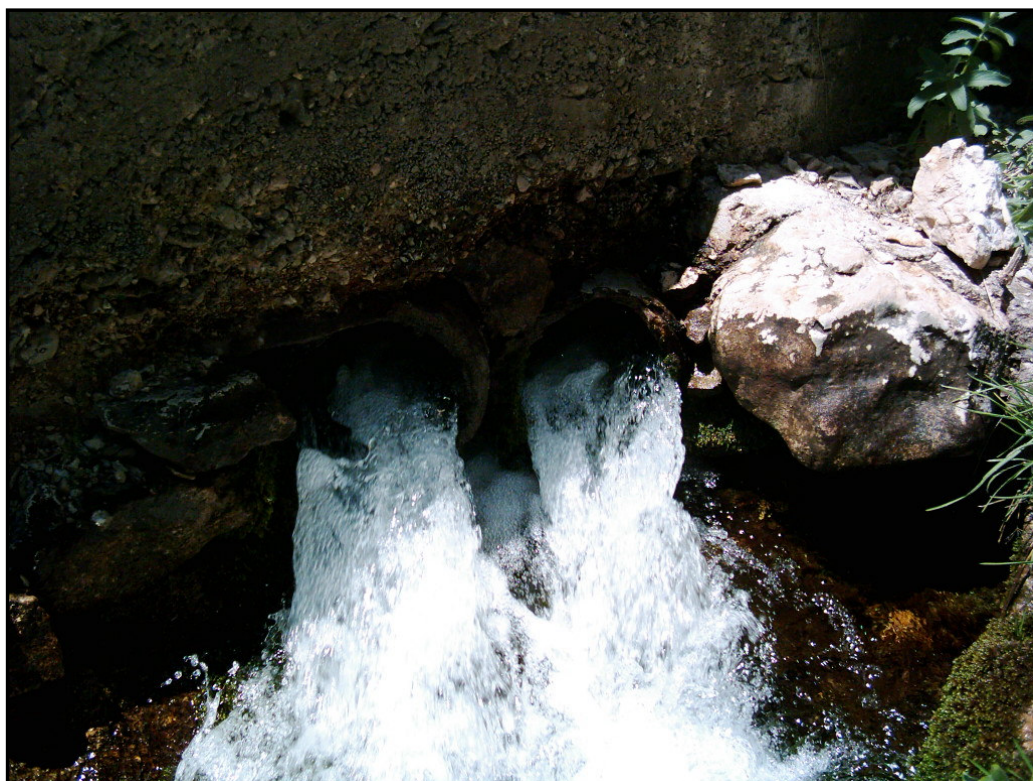


Şekil 4.20: Üğüllü Kaynağı jeolojik kesiti

Üğüllü kaynağı; Uluborlu barajını besleyen Yuvaşaderesinin de kaynağı konumundadır (Şekil 4.20). Kaynak boşalım kotu 1436,2 m., debisi ise  $Q=350$  l/s civarındadır.

Üğüllü kaynağı yüzey drenaj alanı içerisinde kaynak suyunun kalitesini olumsuz yönde etkileyebilecek yerleşim alanı, çiftlik evi, ağıl, ahır, sanayi tesisi, tarım alanı vb. yüzeysel kirleticiler bulunmamaktadır. Arazi doğal yapısı nedeniyle bu türden kullanımlara uygun olmadığından kaynak sürekli olarak doğal koruma altındadır. Uluborlu ilçesinin içme suyunun bir kısmının karşılandığı kaynak Uluborlu Belediyesi tarafından kaptaj ile geliştirilerek koruma altına alınmıştır (Şekil 4.22).

Üğüllü kaynağı Uluborlu ilçesi ve çevre köylerin içme suyu ihtiyacını karşılaması yanında uygun içme suyu kalitesinde olmasından dolayı kaynak suyu şişeleme tesisi vasıtasyyla ticari amaçlı olarak da kullanılmaktadır.



Şekil 4.21 : Üğüllü kaynağından bir görünüm

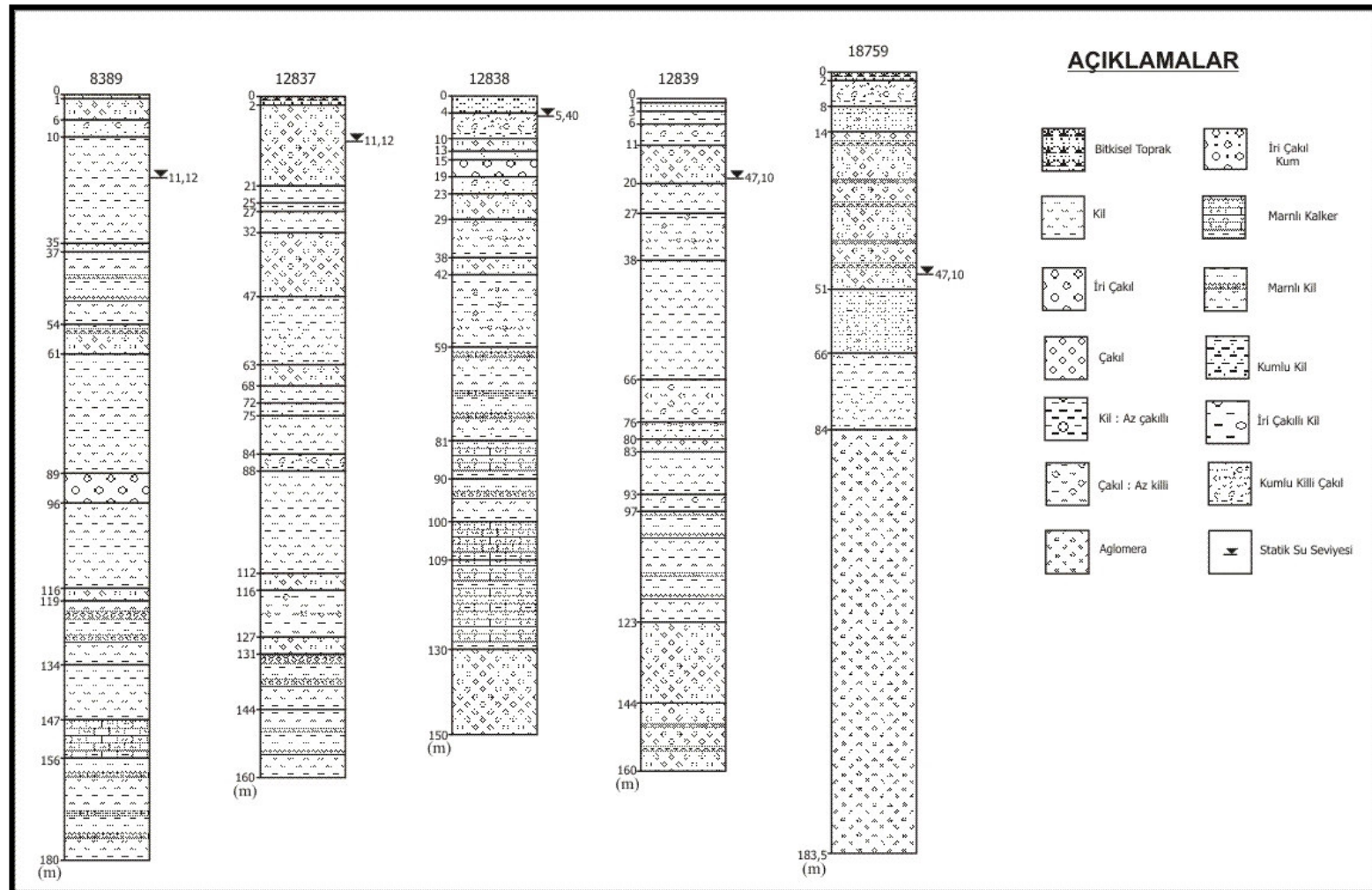
#### **4.5.1.3. Sondaj Kuyuları ve Sığ Kuyular**

Senirkent-Uluborlu havzasında özel kişilere ait sondaj ve sığ kuyu olmak üzere yaklaşık 60'tan fazla sulama amaçlı kuyu bulunmaktadır.

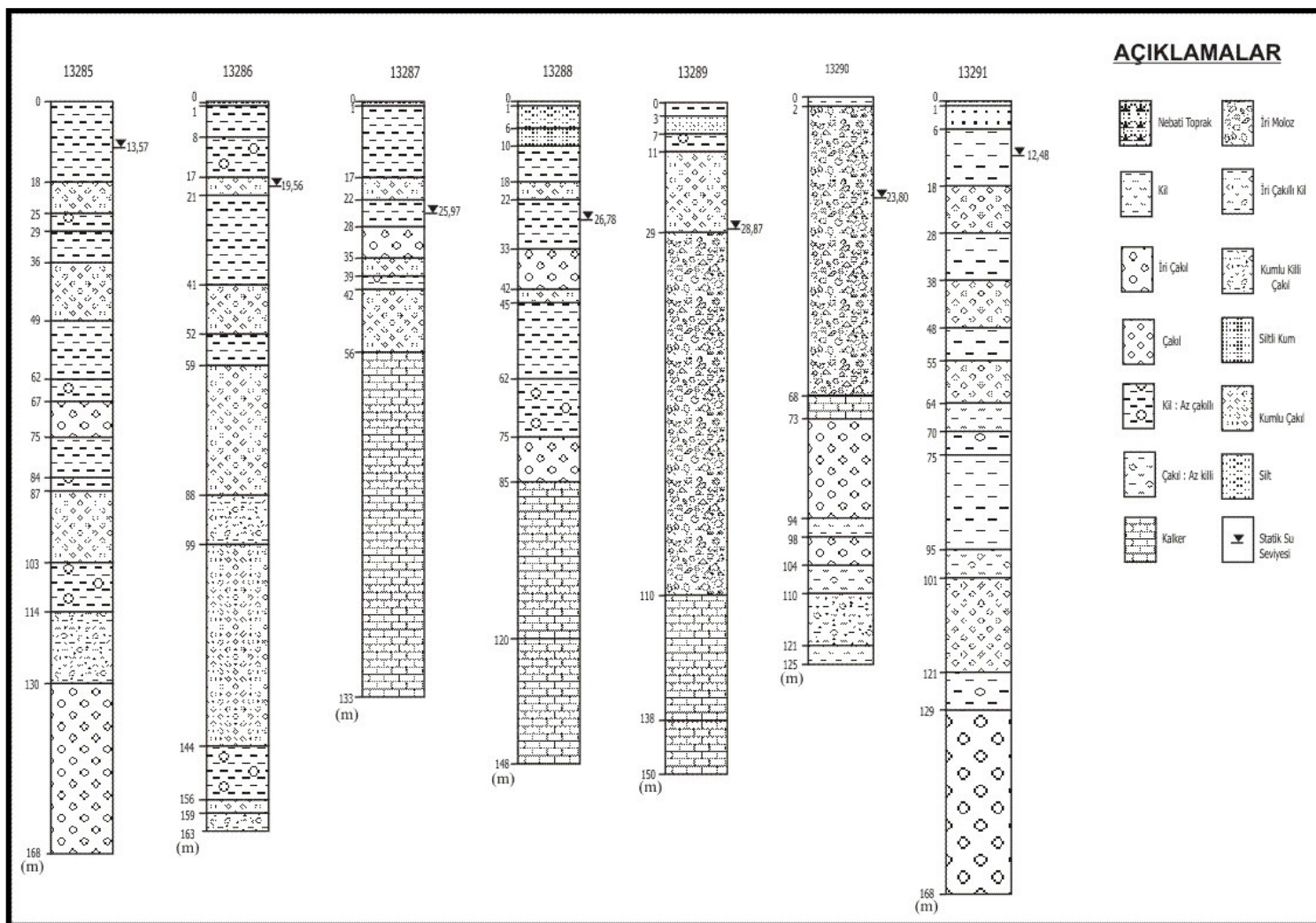
Senirkent-Uluborlu havzasında, DSİ 18. Bölge Müdürlüğü tarafından araştırma ve işletme amaçlı açılmış Uluborlu'da 5 adet, Senirkent'te 13 adet olmak üzere toplam 18 adet sondaj kuyusu işletiliyor durumda bulunmaktadır. Ayrıca, İller Bankası tarafından açılmış 4 adet içme, Topraksu Bölge Müdürlükleri tarafından açılmış 2 adet sulama kuyusu yer almaktadır. Uluborlu'da bulunan sondaj kuyularının derinlikleri 150-183,5 m, statik seviyeleri 5,40-47,10 m, dinamik seviyeleri 20,78-57,40 m arasında değişmektedir. Senirkent'te ki sondaj kuyularında ise derinlikleri 125-168,3 m, statik seviye 9,19-27,87 m, dinamik seviye 18,7-41,44 m arasındadır. Bu kuyulara ait hidrolojik ve hidrojeolojik özellikler Şekil 22-23 (a-b)' deteknik özellikler ise Çizelge 4.8' dənmişdir.

İnceleme alanında açılan sondaj kuyuları içme ve sulama amaçlı olup tamamı ovada açılmıştır. Kuyular da alüvyonun yanında konglomera ve kireçtaşından da su alınmaktadır. Senirkent'in doğusunda yeralan Ortayazı mevkii civarında açılan sondaj kuyularında (10586, 10587, 10588, 13287, 13288, 13289) konglomera ile kireçtaşlarından su alınmaktadır. Uluborlu bölgesinde açılmış olan sondaj kuyularının debileri 11-36 l/s iken, Senirkent'te açılmış olan sondaj kuyularının debileri 12-50 l/s arasında değişmektedir (Çizelge 4.8).

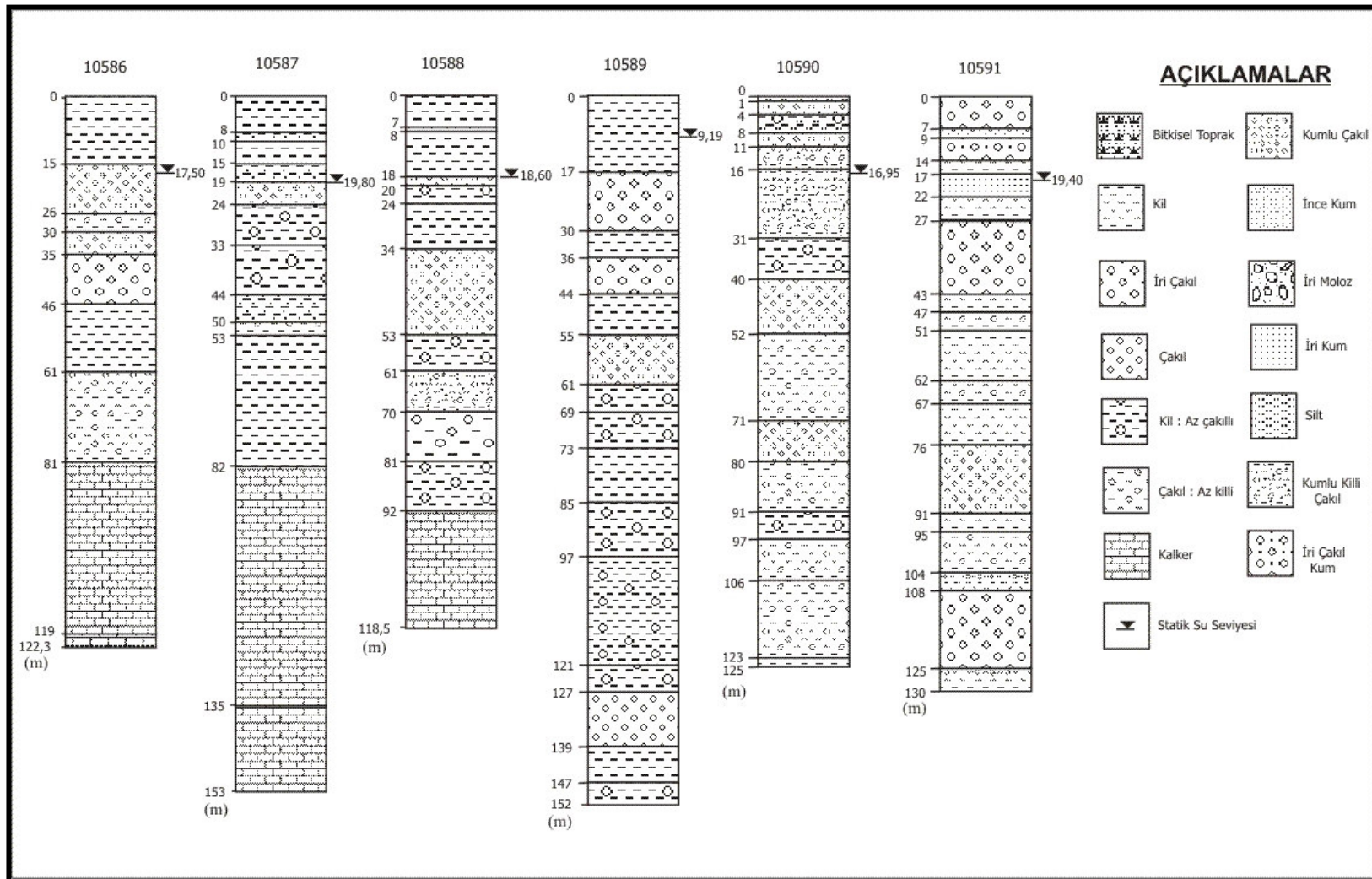
18759 nolu kuyunun düşük debisi (12 l/s), kesilen killi düzeyler ve 84-183,5 m arasında geçen aglomera ile açıklanabilmektedir. 12839 ve 10586 nolu kuyulardaki göreceli olarak düşük debiler, kuyuların işletmeye hazırlanmasında yapılan teknik sorunlardan kaynaklanabilir (EK-7).



Şekil 22 : Uluborlu bölgesi sondaj kuyu logları



Şekil 23 (a) : Senirkent bölgesi sondaj kuyu logları



Şekil 23 (b): Senirkent bölgesi sondaj kuyu logları (devamı)

**Çizelge 4.8: Uluborlu ve Senirkent ilçelerine ait DSİ 18. Bölge Müdürlüğü tarafından açılmış olan sondaj kuyularının verileri**

YER	KUYU NO	STATİK SEVİYE (m)	DİNAMİK SEVİYE (m)	DERİNLİK (m)	DEBİ (Q <sub>P</sub> ) l/s
ULUBORLU	<b>12837</b>	11,12	20,78	160	36
	<b>12838</b>	5,40	32,48	150	25
	<b>12839</b>	17,42	34,95	160	20
	<b>8389</b>	21	46,15	180	11
	<b>18759</b>	47,10	57,40	183,5	12
SENİRKENT	<b>10586</b>	17,5	41,37	122,3	25
	<b>10587</b>	19,8	35,79	153,2	35
	<b>10588</b>	18,6	28,06	118,5	36
	<b>10589</b>	9,19	18,73	152,8	36
	<b>10590</b>	16,95	22,43	125	32
	<b>10591</b>	19,4	28,10	130	36
	<b>13285</b>	13,57	18,7	168,3	41
	<b>13286</b>	19,56	41,44	163,5	33
	<b>13287</b>	25,97	28,39	133	41
	<b>13288</b>	26,78	30,2	148	42
	<b>13289</b>	28,87	33,3	150	50
	<b>13290</b>	23,8	34,42	125	40
	<b>13291</b>	12,48	21,06	168	40

#### 4.5.1.4.Göller

##### - Eğirdir Gölü

Eğirdir Gölü 918.19 m. su kotunda 480 km<sup>2</sup> yüzey drenaj alanına sahiptir. Türkiye'nin 4. büyük gölü olan Eğirdir Gölü Isparta ilinin en büyük tatlı su kaynağını oluşturmaktadır.

Isparta il sınırlarının tam ortasında yeralan gölün kuzey-güney uzunluğu 50 km ve doğu-batı genişliği 3-16 km' dir. Göl derinliği yıllara ve mevsimlere göre değişmekle birlikte, ortalama derinlik 7 metredir. En derin yeri Barla kasabası önlerinde 15 m'yi bulmaktadır. Maksimum işletme seviyesi olan 918 m. kotunda göl alanı 472,6 km<sup>2</sup>, su depolama kapasitesi 3,96 milyar m<sup>3</sup>'tür.

1938-1991 yılları arası rasat periyodunda; en düşük su seviyesi Aralık 1975'te 915.33 m olarak tespit edilmiştir. Bu seviyedeki göl alanı  $453 \text{ km}^2$  ve su hacmi ise 2.74 milyar  $\text{m}^3$  hesaplanmıştır. En yüksek su seviyesi Mayıs 1969'da tespit edilmiş, buna göre su kotu 919.11 m, göl alanı  $481 \text{ km}^2$  ve su hacmi ise 4.44 milyar  $\text{m}^3$  olarak gerçekleşmiştir. Eğirdir Gölü'nün yıllık ortalama beslenimi  $907 \times 10^6 \text{ m}^3$ 'tür (Karagüzel vd., 1995).

Göl iki kısma ayrılmaktadır. Kuzeyde kalan ve daha küçük olan kısmına Hoyran Gölü, güneyde kalan kısmına Eğirdir Gölü denir. Hoyran Gölü drenaj alanı  $89 \text{ km}^2$ dir. Her iki bölüm Hoyran Boğazı ile birbirine bağlanır. Beyşehir Gölü'nden sonra Türkiye'nin 2. büyük tatlı su gölü olan Eğirdir Gölü'nden, Isparta Belediyesi'nin yanında, il genelinde tarım alanlarının sularlanması için gerekli olan suda sağlanmaktadır. Ayrıca, Kovada hidroelektrik santrallerine de Eğirdir Gölü'nden su verilmektedir.

#### **4.5.2.Litolojik Birimlerim Hidrojeolojik Özellikleri**

Çalışma alanında yer alan jeolojik birimler fiziksel ve hidrojeolojik özellikleri gözönüne alınarak; geçirimli (Gç1, Gç2, Gç3), yarı geçirimli (Gy) ve geçirimsiz birimler (Gz) olarak ayırtlanmıştır. Alüvyon, eski alüvyon, yamaç molozu ve pliyosen karasal çökelleri gözenekli yapıları ile (Gç1), Sarıyardere Dolomiti, Yassıviran Kireçtaşı, Suuçandere Kireçtaşı ve Kapıdağ Kireçtaşı geçirimli (Gç2), Pupa Çayı Konglomerası (Gç3) geçirimli birimler olarak tanımlanırken, Zendevi Volkanitleri (Gy) yarı geçirimli birim olarak, Uluborlu Formasyonu (Gz) geçirimsiz birim olarak sınıflandırılmıştır. Hidrojeolojik birimler 1/100 000 ölçekli hidrojeoloji haritasında gösterilmiştir (Ek-5).

##### **4.5.2.1.Geçirimli Birim (Gç1)**

İnceleme alanında geçirimli birim (Gç1) olarak ele alınan alüvyon, eski alüvyon, yamaç molozu ve pliyosen karasal çökelleridir. Birim çalışma alanında geniş bir yayılıma sahiptir.

Birim içinde en önemli akifer özelliği taşıyan alüvyon  $140 \text{ km}^2$ 'lik bir alanı kapsamaktadır. Bölgede DSİ 18. Bölge Müdürlüğü tarafından açılmış olan tüm sondaj kuyuları alüvyon üzerindedir. Uluborlu'da açılmış olan sondaj kuyularının debileri 11-36 l/s, Senirkent'teki sondaj kuyularının debileri ise 12-50 l/s arasında değişmektedir.

Alüvyon kil, silt, kum, çakıl, blok boyutundaki malzemeler ve bunların değişik kombinasyonlarının ardalanmasından oluşmaktadır. Çakıl ve kum seviyelerinde su bulundurması açısından alüvyon önemli bir akiferdır. Alüvyon ortamda açılan kuyuların üretim debileri Ek-7'de verilmiştir.

Eski alüvyon killi-kumlu ve iri çakıllardan oluşan eski alüvyon gevşek yapısı ile iyi bir akiferdır. Hisarlık tepenin kuzeydoğusunda belirgin bir yapıya sahip olan yamaç molozları ağırlıklı olarak kil içeriği yanında irili ufaklı kireçtaşçı çakıl ve blokları, kum, silt ve nebatı topraktan oluşmaktadır. Pliyosen karasal çökelleri ise kil, silt, kum içeriği yanında bol miktarda çakıllardan oluşmaktadır. Çakıl içeriği pliyosen karasal çökelleri için iyi bir akifer özelliğini gösterir. Ancak birim bölgede çok küçük bir alana sahip olduğundan yeraltısu açısından önem taşımamaktadır.

#### **4.5.2.2. Geçirimli Birim (Gç2)**

Birim; Kapıdağ, Yassıviran, Suuçandere kireçtaşları ve Sarıyardere dolomitinden meydana gelmektedir. Karbonatlı kayaçlardan oluşan bu hidrojeolojik birim inceleme alanında yükseltileri oluşturan çok geniş bir alanda yüzeylemektedir. Uluborlu - Eğirdir Gölü arasında alüvyon örtü altında da karstik kireçtaşları (Suuçandere kireçtaşları) olduğu hazırlanan jeolojik kesitlerde görülmektedir (EK-2). 13287, 13288, 13289, 10586, 10587 ve 10588 no' lu sondaj kuyularında alüvyon altında 56-110 m'ler arasında karstik kireçtaşları kesilmiştir. Bu kuyularda verim (20-50 l/sn arasında )görünür derecede artmıştır.

Birimini oluşturan kireçtaşları, erime boşluklu, kırıklı ve çatlaklı yapıları ile karstik akifer niteliği taşımaktadır. Geniş bir yayılıma sahip olan kireçtaşları çatlak ve erime boşluklarında yeraltısuyu bulundurması açısından önemlidir.

#### **4.5.2.3. Geçirimli Birim (Gç3)**

İncesu ve Pupa Çayı konglomeraları Gç3 birimini oluşturmaktadır. Kil ve kumtaşı arabantlı, radyolarit ve kireçtaşları çakıllarından oluşan İncesu konglomerası, karbonat çimentolu olduğu için erime boşlukları ve süreksızlık düzlemlerinde yeraltısuyu bulundururlar. Gevşek tutturulmuş karbonat çimentolu Pupa Çayı konglomerası da, akifer özelliği taşımaktadır.

#### **4.5.2.4. Yarı Geçirimli Birim (Gy)**

Zendevi volkanitleri, içerisinde yer alan volkanik çakıl içeriği ile yarı geçirimsiz birim olarak sınıflandırılmıştır.

#### **4.5.2.5. Geçirimimsiz Birim (Gz)**

Uluborlu Formasyonlarından oluşan birim fiziksel ve hidrojeolojik özelliklerine göre geçirimsiz birim olarak sınıflandırılmıştır.

Uluborlu Formasyonu kumtaşı, çamurtaşı, marn, tuf ve konglomera ardalanmasından oluşmaktadır. Filiş özelliğindeki formasyon 1000 m kalınlığa sahip olmasına karşın çalışma alanında daha çok, kiltaşı ve çamurtaşlı marn seviyelerle temsil edilmektedir. Birim bu özelliğinden dolayı içerisinde önemli miktarda su bulundurmaz ve geçirimsiz olarak sınıflandırılmıştır. 18759 nolu kuyuda 84 m'den sonra Uluborlu formasyonunda 100 m ilerlenmesine karşı debi artışı olmamıştır (EK-7).

#### **4.5.3.Akiferlerin Hidrojeolojik Parametreleri**

İnceleme alanında tanımlanan akiferlerin hidroloji parametrelerini ( $K$ =Permeabilite katsayısı,  $T$ = Transmisibilite katsayısı,  $S$ =Depolama katsayısı) belirlemek amacıyla, DSİ 18. Bölge Müdürlüğü tarafından açılan sondaj kuyularından 12 adet temsili kuyu seçilmiştir. Bu kuyuların 8 adedi (13286, 13288, 13289, 13290, 13291, 10587, 10590, 10591) Senirkent bölgesinde 4 adedi ise (12837, 12838, 12839, 18759) Uluborlu bölgesinde yer almaktadır. Bu kuyularda açıldıkları tarihlerde yapılan pompaj deneyleri zaman-düşüm değerleri temin edilmiş ve akifer hidroloji parametreleri belirlenmiştir.

Deney sonuçlarının değerlendirilmesinde Aquifer Test 3.5 bilgisayar yazılım programından yararlanılarak gözenekli akiferde, dengesiz rejim için geçerli olan Cooper-Jacop Time-Drown ve Thies yöntemleri seçilmiştir. Tamamı kaya ortamda açılan sondaj kuyusu bulunmadığı için, çatlaklı kaya ortam için geçerli olan yöntemler uygulanamamıştır. Bu program yardımıyla çizilen grafikler EK-9'da ve hesap sonuçları Çizelge 4.9'da verilmiştir.

Çizelge 4.9: Akifer parametreleri (K,T,S)

Bölge	Kuyu No	Cooper-Jacob Time- Drawndown		Thies		
		K (m/sn)	T(m <sup>2</sup> /sn)	K (m/sn)	T(m <sup>2</sup> /sn)	S
ULUBORLU	12837	3,05x10 <sup>-5</sup>	4,88x10 <sup>-3</sup>	2,32x10 <sup>-5</sup>	3,71x10 <sup>-3</sup>	5x10 <sup>-2</sup>
	12838	9,51x10 <sup>-6</sup>	1,43x10 <sup>-3</sup>	6,79x10 <sup>-6</sup>	1,02x10 <sup>-3</sup>	1,36
	12839	9,84x10 <sup>-6</sup>	1,58x10 <sup>-3</sup>	8,72x10 <sup>-6</sup>	1,40x10 <sup>-3</sup>	0,12
	18759	9,26x10 <sup>-6</sup>	1,70x10 <sup>-3</sup>	6,77x10 <sup>-6</sup>	1,24x10 <sup>-4</sup>	1,8x10 <sup>-2</sup>
SENİR KENT	10590	6,11x10 <sup>-5</sup>	7,61x10 <sup>-3</sup>	5,18x10 <sup>-5</sup>	6,47x10 <sup>-3</sup>	1,2x10 <sup>-2</sup>
	10591	4,07x10 <sup>-5</sup>	5,29x10 <sup>-3</sup>	3,15x10 <sup>-5</sup>	4,09x10 <sup>-3</sup>	1,83x10 <sup>-4</sup>
	13286	1,48x10 <sup>-5</sup>	2,41x10 <sup>-3</sup>	1,01x10 <sup>-5</sup>	1,65x10 <sup>-3</sup>	2,8x10 <sup>-2</sup>
	13290	7,77x10 <sup>-5</sup>	9,71x10 <sup>-3</sup>	2,92x10 <sup>-5</sup>	3,65x10 <sup>-3</sup>	7,2x10 <sup>-2</sup>
	13291	3,63x10 <sup>-5</sup>	6,11x10 <sup>-3</sup>	3,05x10 <sup>-5</sup>	5,13x10 <sup>-3</sup>	2,4x10 <sup>-4</sup>
	10587	2,88x10 <sup>-5</sup>	4,41x10 <sup>-3</sup>	1,40x10 <sup>-5</sup>	2,15x10 <sup>-3</sup>	3,1x10 <sup>-2</sup>
	13288	9,25x10 <sup>-5</sup>	1,37x10 <sup>-2</sup>	6,99x10 <sup>-5</sup>	1,03x10 <sup>-2</sup>	2,4x10 <sup>-3</sup>
	13289	4,59x10 <sup>-4</sup>	6,88x10 <sup>-2</sup>	2,24x10 <sup>-4</sup>	3,36x10 <sup>-2</sup>	1,6x10 <sup>-2</sup>

Çizelge 4.9' dəher iki yöntemə göre hesaplanan akifer karakteristiklerinin uyumlu olduğu görülmüştür. Alüvyon akiferde açılan kuyulardan hesaplanan K,T,S değerlerinin değişimi 3 farklı grupta değerlendirilebilir. Thies yönteminin kullanımı daha yaygın olduğu için hidroloji parametrelerinin açıklanmasında bu yöntemin verileri esas alınmıştır.

Thies yöntemine göre elde edilen permeabilite katsayısının (K) değişim aralığı

- 1-  $5,99 \times 10^{-6}$  -  $1,99 \times 10^{-5}$  m/sn arasında kalan değerler
- 2-  $1,99 \times 10^{-5}$  -  $5,99 \times 10^{-5}$  m/sn arasında kalan değerler
- 3-  $5,99 \times 10^{-5}$  -  $2,99 \times 10^{-4}$  m/sn arasında kalan değerler

Thies yöntemine göre elde edilen transmisibilite katsayısının (T) değişim aralığı şu şekildedir:

- 1-  $1,99 \times 10^{-3}$  -  $2,99 \times 10^{-3} \text{ m}^2/\text{sn}$  arasında kalan değerler
- 2-  $2,99 \times 10^{-3}$  -  $5,99 \times 10^{-3} \text{ m}^2/\text{sn}$  arasında kalan değerler
- 3-  $5,99 \times 10^{-3}$  -  $3,99 \times 10^{-2} \text{ m}^2/\text{sn}$  arasında kalan değerler

Alüvyon akiferde açılan ve 1. grupta yeralan 12838, 18759, 13286 ve 12839 no'lu sondaj kuyularında permeabilite katsayı  $K=8,72 \times 10^{-6}$  -  $1,01 \times 10^{-5} \text{ m/sn}$  arasında, transmisibilite katsayı  $T=1,02 \times 10^{-3}$  -  $1,65 \times 10^{-3} \text{ m}^2/\text{sn}$  arasında değişmektedir (Çizelge 4.9). Bölge genel olarak incelendiğinde bu grupta yeralan sondaj kuyuları en düşük değerlere sahiptir. Özellikle 12838, 13286 ve 12839 no'lu kuyularda değerlerin düşük olması kil seviyesinin kalınlığı ile açıklanabilmektedir. Ayrıca 18759 no'lu kuyuda kil seviyesinin kalın olmasının yanısıra 99,5 m aglomeranın olmasına bu kuyudaki transmibilite katsayılarının düşük olduğunu göstermektedir (EK-7).

2. grupta yeralan 12837, 10590, 10591, 13290 ve 13291 no'lu sondaj kuyularında permeabilite katsayı  $K=2,32 \times 10^{-5}$  -  $5,1 \times 10^{-5} \text{ m/s}$  arasında, transmisibilite katsayı  $T=3,65 \times 10^{-3}$  -  $6,47 \times 10^{-3} \text{ m}^2/\text{s}$  arasında değişmektedir (Çizelge 4.9). Bu grupta göreceli olarak daha yüksek hidrolojik parametreler, kuyuların ovanın güneyinde Beşparmakdağı eteklerinde yeralması ve kuyulardaki kalın yamaç molozu ve çakıl yüzeyleri ile açıklanmaktadır. Nitekim 13290 no'lu sondaj kuyusunda 64 m yamaç molozu ve 25m çakıl seviyeleri gözlenmektedir. Bu kuyunun permeabilite katsayı  $K=2,92 \times 10^{-5} \text{ m/s}$  ve transmisibilite katsayı  $T=3,65 \times 10^{-5} \text{ m}^2/\text{s}$ 'dir. Diğer kuyularda da çakıl seviyelerinin kalın olması nedeniyle 2. grupta yeralan bu kuyuların permeabilite ve transmibilite katsayıları yüksektir (EK-7).

3. grupta yeralan 10587, 13288, ve 13289 no'lu sondaj kuyularında permeabilite katsayı  $K=1,40 \times 10^{-5}$  -  $2,24 \times 10^{-4} \text{ m/s}$  arasında, transmisibilite katsayı  $T=2,15 \times 10^{-3}$  -  $3,36 \times 10^{-2} \text{ m}^2/\text{s}$  arasında değişmektedir (Çizelge 4.9). Diğer grupların temsil ettiği bölgelere oranla, bu grupta K,T,S katsayılarının daha yüksek olması alüvyon akiferde

açılan bu 3 kuyuda tabanda 40-70 m kalınlıklarında karstik akiferden üretim yapılmasıyla açıklanabilir. 13288 ve 10587 no'luk kuyular kireçtaşı seviyelerinin kalınlıkları oldukça yüksektir. Ayrıca bu grubun en yüksek hidrolojik parametrelerine sahip olan 13289 no'lu sondaj kuyusunda ise gözenekli kesimdeki yamaç molozunun kalınlığına (81 m) bağlı olduğu görülmektedir.

Her ne kadar pompaj verileri değerlendirilen sondaj kuyuları, ovanın tamamını temsil etmese de, yapılan hesaplamalar sonucunda bulunan K,T,S katsayıları baz alındığında akiferleri verimliliklerine göre aşağıdaki şekilde sıralama yapmak mümkündür.

1. derecede karstik akifer
2. derecede yamaç molozu (birikinti konileri)
3. derecede alüvyon akifer

#### **4.5.4. Yeraltısu Dinamiği**

##### **4.5.4.1.Yeraltısu Seviye Haritaları**

İnceleme alanında yaklaşık 60 adet sondaj kuyusu bulunmaktadır. Bunlardan temsili olarak seçilenlerde statik seviye ölçümleri yapılmıştır. Bu ölçümler (Eylül (2003) ve Mayıs (2004)) kurak ve yağışlı dönemlerde gerçekleştirilmiştir (Çizelge 4.10). Bu ölçümlerden yararlanılarak 2 döneme ait 2 ayrı yeraltı suyu seviye haritası hazırlanmıştır (Ek-5, Ek-6).

Eylül (2003) dönemi için hazırlanan yeraltısu seviye haritasında (EK-5); inceleme alanının batısında Uluborlu merkezinde yeraltısu seviye eğrileri tümsek oluşturmaktadır. Bu durum bölgede yaz aylarında kiraz bahçelerinde sulama yapılması ile açıklanabilmektedir. İnceleme alanının doğusunda gözlenen tümsek ise bölge de tabanda bulunan kireçtaşlarının alüvyon ortasında topografik olarak yüksek mostra vermesi ile açıklanmaktadır. Her iki dönemde de genel olarak, yeraltısu seviye eğrileri Uluborlu dolayında sıklaşırken, Senirkent ve Eğirdir Gölü'ne doğru

seviye eğrilerinin seyreklesiği görülmektedir. Uluborlu dolayında hidrolik eğim  $i=0,02$  iken Senirkent dolaylarında  $i= 9 \times 10^{-4}$  olarak bulunmuştur. Uluborlu dolayındaki eğrilerin sıklığı akiferin filişlerden türeyen killi malzemenin artışı ve düşük permeabilite katsayı ile açıklanabilmektedir. Ovadaki yeraltısı su akım yönü Eğirdir Gölü'ne doğru olduğu belirlenmiştir.

Çizelge 4.10 : Senirkent-Uluborlu ovasında yeraltısı su statik seviye ölçümleri  
(30.09.2003-20.05.2004)

Bölge	Kuyu No	Kuyu Ağız Kotu (m)	Seviye Farkı (m)	EYLÜL		MAYIS	
				Yeraltısı su Derinliği (m)	Yeraltısı su Kotu (m)	Yeraltısı su Derinliği (m)	Yeraltısı su Kotu (m)
ULUBORLU	U-1	1049,00	2,10	32,40	1016,60	30,03	1018,70
	U-2	1040,00	1,55	23,55	1016,45	22,00	1018,00
	U-3	1033,00	0,10	17,10	1015,90	16,55	1016,00
	U-4	1024,00	0,50	15,55	1008,45	15,05	1008,95
	U-5	1018,00	0,75	15,05	1002,50	14,75	1003,25
	U-6	1022,00	0,20	12,20	1009,80	12,00	1010,00
	U-7	989,00	4,15	27,10	961,60	23,25	965,75
SENİRKENT	S-1	972,00	2,24	18,50	953,50	16,26	955,74
	S-2	965,00	2,80	19,45	945,55	16,65	948,35
	S-3	990,00	5,60	38,60	951,40	33,00	957,00
	S-4	962,00	4,60	34,35	927,65	29,75	932,25
	S-5	934,00	0,75	12,90	921,00	12,25	921,75
	S-6	923,00	0,10	5,00	919,50	4,90	920,65
	S-7	934,00	0,75	16,40	917,60	15,65	918,35
	S-8	925,00	0,95	2,95	922,05	2,00	923,00
	S-9	925,00	0,40	3,00	922,00	2,60	922,40
	S-10	923,00	0,30	3,30	919,70	3,00	920,00

#### 4.5.4.2.Yeraltısı su Seviye Değişimi

Alüvyon ovada yeraltısı su seviye değişimleri incelenerek bu seviye değişimlerini etkileyen jeolojik ve hidrojeolojik faktörler araştırılmıştır. Uluborlu bölgesinde yeraltısı suyunun yüzeyden derinliği 12-32 m arasında, Senirkent'te ise 2-34 m arasında değişmektedir (Çizelge 4.10).

Eylül ayından, Mayıs ayına seviye yükselimleri tüm kuyularda aynı oranda gerçekleşmemiştir. Seviye eğrilerinin sıklaştığı bölgelerde yükselişi daha fazla olmuştur. Bu durum ortamın litolojisine bağlı, porozitesi ve permeabilite katsayısına bağlı olarak gerçekleşmektedir. Boşluk hacmi daha az olan kesimlerde seviye yükselişi fazla gerçekleşmektedir.

#### **4.6.Su Kimyası**

Bu bölümde, bölgede bulunan yeraltı ve yerüstülarından Haziran 2004 döneminde su örnekleri alınarak; kimyasal analizleri yapılmış ve suların farklı amaçlarla kullanılabilme özellikleri ile kirlilik durumunun tespit edilmesi için, analiz sonuçları farklı diyagramlar ve haritalar yardımıyla yorumlanmıştır.

##### **4.6.1.Yeraltısularının Genel Kimyasal Özellikleri**

Çalışma alanında yeraltısuyunun kimyasal özelliklerini belirlemek amacıyla, sondaj kuyuları ve kaynaklardan alınan su numunelerinin kimyasal analiz sonuçlarından yararlanılmıştır.

Kimyasal analizlerde; katyonlar ( $\text{Na}^+$ ,  $\text{K}^+$ ,  $\text{Ca}^+$ ,  $\text{Mg}^+$ ), anyonlar ( $\text{Cl}^-$ ,  $\text{SO}_4^{=}$ ,  $\text{HCO}_3^-$ ,  $\text{CO}_3^{=}$ ), hidrojen iyon konsantrasyonu (pH), özgül elektriksel iletkenlik (EC), sodyum yüzdesi (%Na), sodyum adsorbsiyon oranı (SAR), ve sertlik gibi kimyasal özellikler tespit edilmiştir. Haziran 2004 döneminde alınan su örneklerinin kimyasal analiz sonuçları Çizelge 4.11 'de verilmiştir.

Ayrıca, inceleme alanında temsili seçilen sondaj kuyuları ve kaynaklardan alınan su örneklerinde genel olarak anyon ve katyon dağılımını görmek amacıyla 1/100 000 ölçekli hidrojeokimya haritası hazırlanmıştır (Ek-8) Haritada suların genel kimyasal yapısının  $\text{Ca}-\text{Mg}-\text{HCO}_3$ 'lı sular olduğu görülmektedir.

Hidrojeokimya haritasında, ovanın güneyinde yer alan U-0, S-2, S-3 ve S-4 nolu lokasyonlarda ova genelinde farklı iyon konsantrasyonu ( $<5 \text{ mek/l}$ ) dikkati

çekmektedir. Bu durum yüzeysel beslenimli kaynak sularının uzun süre kayaçlarla temas etmemeleri ile açıklanabilmektedir. Ovanın kuzeyinde U-1 ve S-9 nolu kuyularda da benzer durum, filiş ve volkanitlerden beslenim ile ilişkilendirilebilir.

Çizelge 4.11. Senirkent-Uluborlu Havzasında Yüzey ve Yeraltılarının Hidrojeokimyasal Özellikleri

Bölge	Tip	Num No	$\text{Na}^+$ (mek/l)	$\text{K}^+$ (mek/l)	$\text{Ca}^{++}$ (mek/l)	$\text{Mg}^{++}$ (mek/l)	$\text{Cl}^-$ (mek/l)	$\text{SO}_4=$ (mek/l)	$\text{HCO}_3^-$ (mek/l)	$\text{CO}_3^=$ (mek/l)	Sıcaklık (C°)	Sertlik $\text{Fr}^\circ$	EC mch/cm	pH	%Na	SAR	Su Sınıfı
SENİRKENT	S. kuyusu	S-1	0,52	0,03	3,36	2,36	0,04	0,31	4,23	0	12,3	28,6	480	7,82	8,29	0,22	C <sub>2</sub> S <sub>1</sub>
	Kaynak	S-2	0,13	0,02	2,54	1,62	0,06	0,04	3,48	0	16,9	20,8	340	7,95	3,02	0,06	C <sub>2</sub> S <sub>1</sub>
	Kaynak	S-3	0,03	0,01	2,28	1,99	0,10	0,04	3,07	0	9,7	21,4	300	7,90	0,69	0,01	C <sub>1</sub> S <sub>1</sub>
	Kaynak	S-4	0,03	0,01	2,26	1,08	0,05	0,04	2,46	0	10,9	16,7	240	7,53	0,88	0,02	C <sub>1</sub> S <sub>1</sub>
	S. kuyusu	S-5	0,46	0,14	6,09	1,53	0,21	0,15	6,56	0	13,2	38,1	710	7,78	3,23	0,12	C <sub>2</sub> S <sub>1</sub>
	S. kuyusu	S-6	0,91	0,03	3,71	4,12	0,48	0,37	3,53	0	15	39,2	660	7,71	10,3	0,33	C <sub>2</sub> S <sub>1</sub>
	Kaynak	S-7	0,14	0,03	3,16	2,26	0,07	0,04	4,10	0	10,7	27,1	410	7,63	2,50	0,06	C <sub>2</sub> S <sub>1</sub>
	S. kuyusu	S-8	0,67	0,23	8,27	3,03	3,19	3,74	3,83	0	15,4	56,5	1050	7,60	5,49	0,20	C <sub>3</sub> S <sub>1</sub>
	S. kuyusu	S-9	0,78	0,70	2,13	1,43	0,43	0,31	3,28	0	14,5	17,8	400	7,98	15,4	0,41	C <sub>2</sub> S <sub>1</sub>
	S. kuyusu	S-10	0,28	0,27	3,51	2,71	0,09	0,37	5,12	0	12,4	31,1	520	7,94	4,14	0,11	C <sub>2</sub> S <sub>1</sub>
	S. kuyusu	S-11	0,47	0,17	5,60	2,02	0,22	0,42	5,64	0	13,5	38,1	650	7,24	5,69	0,170	C <sub>2</sub> S <sub>1</sub>
ULUBORLU	Kaynak	U-0	0,06	0,01	2,79	0,26	0,07	0,21	4,92	0	-	15,3	-	-	1,92	0,03	C <sub>2</sub> S <sub>1</sub>
	Kaynak	U-1	0,13	0,05	3,53	0,79	0,07	0,15	4,30	0	14,3	21,6	380	7,93	2,89	0,06	C <sub>2</sub> S <sub>1</sub>
	S. kuyusu	U-2	1,13	0,07	4,34	5,37	0,20	0,77	6,85	0	11,7	48,6	790	7,42	10,36	0,36	C <sub>2</sub> S <sub>1</sub>
	S. kuyusu	U-3	0,74	0,06	3,74	4,49	0,19	0,44	6,45	0	11,3	41,2	650	7,43	8,19	0,26	C <sub>2</sub> S <sub>1</sub>
	S. kuyusu	U-4	0,64	0,04	3,77	3,40	0,15	0,42	5,44	0	11,9	35,9	610	7,65	8,15	0,24	C <sub>2</sub> S <sub>1</sub>
	S. kuyusu.	U-5	0,46	0,04	4,14	2,81	0,14	0,50	4,51	0	11,7	34,8	560	8,02	6,17	0,17	C <sub>2</sub> S <sub>1</sub>

#### **4.6.1.1. Sertlik**

Suların sertliği başta kalsiyum, magnezyum, bikarbonat iyonları olmak üzere, Ca-Mg sülfat, Ca-Mg nitrat ve az miktarda da demir, alüminyum ve stronsiyum iyonlarından ileri gelmektedir. Ülkemizde suların sertliği için "Fransız Sertlik Derecesi ( $Fr^o$ )" kullanılmaktadır. 1 Fransız sertlik derecesi = 1 lt suda, 10 mg Ca ve Mg bikarbonat veya buna eşit miktarda diğer sertlik verici iyonların bulunmasıdır.

Çalışma alanında yeraltısuyunun sertliği 15,3-56,5  $Fr^o$  arasında değişmektedir. Senirkent bölgesinde yeralan kaynakların (Devekaya, Değirmendere, Cevizlidere-akdere, ve Kayaağzı, (S2, S3, S4, S7) sertliği, 16,7-27,1  $Fr^o$  arasında, sondaj kuyularındaki yeraltısularının (S1, S5, S6, S8, S9, S10, S11,) sertliği ise 17,8-56,5  $Fr^o$  arasında değişmektedir. S5 No'lu Ortayazı mevkiiinin kuzey doğusunda bulunan bir bahçede açılmış olan kuyudur. Bu kuyu alüvyonda açılmış ancak tabanda kireçtaşları bulunmaktadır. Bu yüzden bu kuyuda sertlik 56,5  $Fr^o$ 'dır. Uluborlu bölgesindeki Üğüllü Kaynağının (U0) sertliği 15,3  $Fr^o$ , Dereköy Kaynağı'nın (U1) sertliği 21,6  $Fr^o$ 'dır. Uluborluda sondaj kuyularında (U0,U1,U2, U3, U4, U5) yeraltısuyunun sertliği 35,9-48,6  $Fr^o$  arasında değişmektedir (Çizelge 4.10).

#### **4.6.1.2. Hidrojen İyon Konsantrasyonu (pH)**

pH, su içindeki  $H^+$  ve  $OH^-$  iyonu konsantrasyonlarının azalıp artış göstermesine bağlı olarak değişmektedir. Genel olarak yeraltısuları  $pH < 7$  olan asit özelliği fazla sulardır. Yerüstü suları  $pH > 8$  olan bazik özellikte sulardır. Buna göresi içindeki hidrojen iyon konsantrasyonunun tanım aralığı aşağıdaki şekildedir.

pH;	> 8,5	Bazik
	8,5-7	Bazik karakterli
	7	Nötr
	7,7-4,5	Asit karakterli
	< 4,5	Asidik

Bu sınıflamaya göre Çizelge 4.11 'de verilen pH verileri değerlendirilecek olursa, Senirkent-Uluborlu ovasındaki tüm sular "Bazik karakterli" olarak tanımlanmıştır.

#### **4.6.1.3. Özgül Elektriksel İletkenlik (EC)**

Özgül elektriksel iletkenlik, + 25 C° deki 1 cm<sup>3</sup> suyun iletkenliğidir. İçme ve sulama suları sınıflamasında bir ölçüt olarak kullanılmaktadır.

Çalışma alanında genel olarak özgül elektriksel iletkenlik (EC) değerleri, 240-1050 arasında değişmektedir. Senirkent bölgesinde yeralan kaynaklarda bu değerler 240-410 arasında, sondaj kuyularında 400-710 arasında iken, Uluborlu bölgesindeki kaynaklarda 380, sondaj kuyularında ise 480-1050 arası olarak tespit edilmiştir (Çizelge 4.11).

#### **4.6.1.4. Sodyum Adsorbsiyon Oranı (SAR)**

Senirkent-Uluborlu ovası halkı geçimini tarımsal faaliyetlerden karşılamaktadır. Bu nedenle ovada sulama suyunun kalitesi oldukça önemlidir. Sodyum adsorbsiyon oranı (SAR), suların sulamada kullanılabilirliğini tespit etmek için kullanılan bir değerdir.

SAR'a göre sulama suları aşağıda şekilde sınıflandırılmıştır;

SAR; >10	çok iyi özellikte sulama suları
10-18	iyi özellikte sulama suları
18-26	orta özellikte sulama suları
<26	fena özellikte sulama suları

Ovada yeralan kuyularда tespit edilen SAR değerleri % 0,11-0,41 arasında değişmektedir. Senirkent bölgesindeki kuyularда bu değerler % 0,12-0,41 arasında,

Uluborlu' da % 0,1-0,36 arasındadır (Çizelge 4.11). Her iki bölgede de tespit edilen SAR değerlerine göre sular "çok iyi özellikte sulama suyu" sınıfında yer almaktadır.

#### **4.6.1.5. Sodyum İyon Yüzdesi (% Na)**

Yeraltısuunun sulama suyu olarak kullanımını tespit etmek için kullanılan diğer bir özellikde sodyum yüzdesidir. Sulama sularında sodyum yüzdesinin artışı topraktaki kalsiyum ve magnezyumla baz değişimi doğuracağından istenmektedir.

Çalışma alanında Haziran 2004 döneminde alınan yeraltısuunun sodyum yüzdesi 0,69-10,36 arasında değişmektedir (Çizelge 4.11)

#### **4.6.2. Yeraltısalarının Kimyasal Sınıflaması**

##### **4.6.2.1. Scholler (1995'e) Göre Suların Sınıflandırılması**

Scholler (1995) suları sınıflandırırken 3 kısma ayırmış. Bunlar, klorür, sülfat ve karbonat miktarlarına göre sınıflandırmalardır.

###### **- Klorür Derişimi;**

- a- Hiperkorürlü sular : Klorür miktarı 700 mek/l'den doygunluğa kadar olan sular
- b- Klorotalastik sular : Klorür miktarı 420-700 mek/l arasındaki sular
- c- Klorürce zengin sular : Klorür miktarı 140-420 mek/l arasındaki sular
- d- Orta klorürlü sular : Klorür miktarı 15-40 mek/l arasındaki sular
- e- Normal klorürlü sular : Klorür miktarı 15 mek/l'den az sular

Klorür derişimi bakımından Senirkent-Uluborlu havzasındaki suların tamamı "normal klorürlü" sular sınıfında yer almaktadır.

**- Sulfat Derişimi;**

- a- Hiposulfatlı sular : Sulfat miktarı 58 mek/l'den fazla olan sular
- b- Sulfatlı sular : Sulfat miktarı 24-58 mek/l arasındaki sular
- c- Oligosulfatlı sular : Sulfat miktarı 6-24 mek/l arasındaki sular
- d- Normal sulfatlı sular : Sulfat miktarı 6mek/l'den az sular

Sulfat derişimi bakımından Senirkent-Uluborlu havzasındaki suların tamamı "normal sulfatlı" sular sınıfında yer almaktadır.

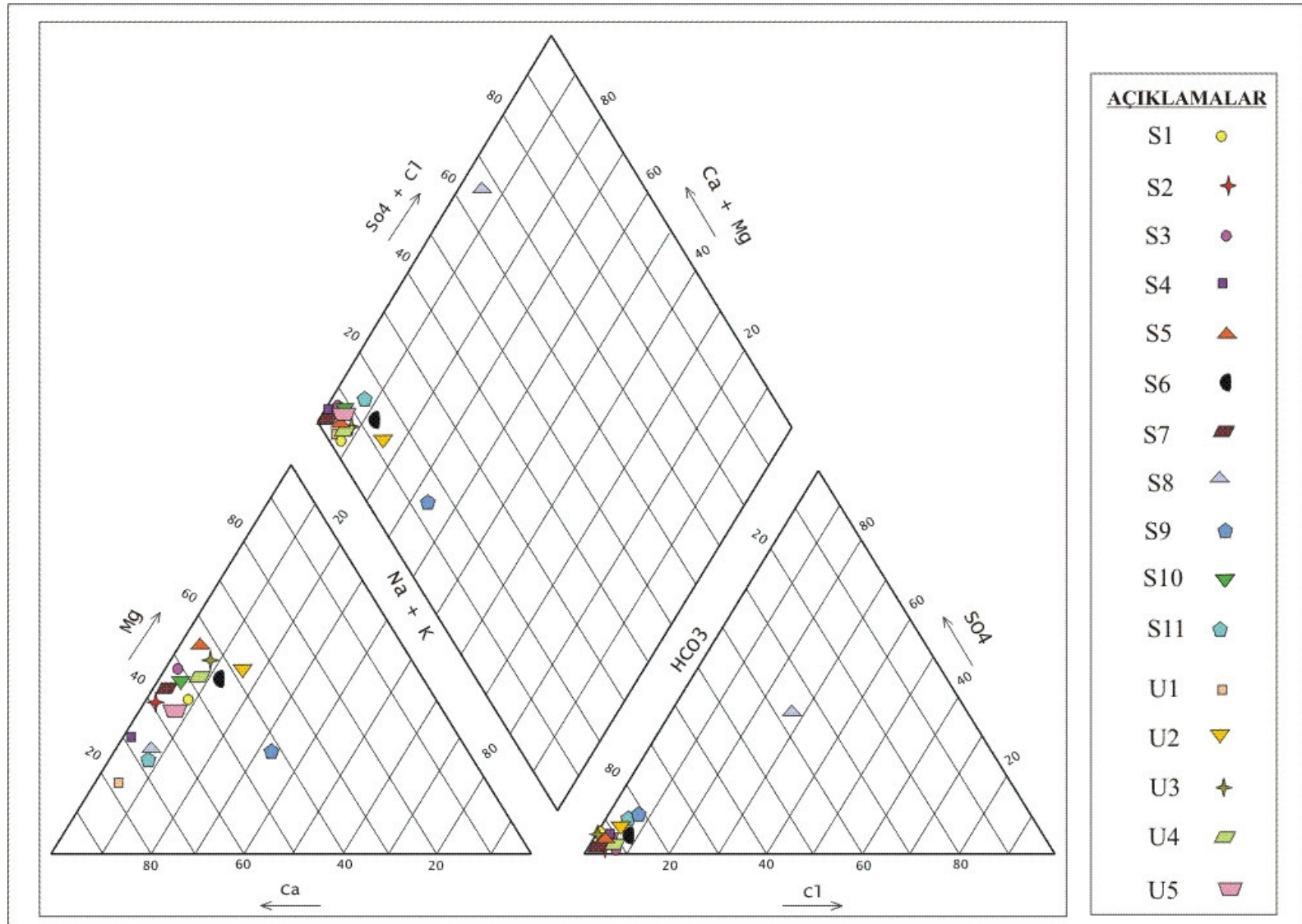
**- Karbonat+bikarbonat Derişimi;**

- a- Hiperkarbonatlı sular :  $\text{HCO}_3^-$ ,  $\text{CO}_3^{=}$  toplam miktarı 7 mek/l'ten fazla olan sular
- b- Normal karbonatlı sular:  $\text{HCO}_3^-$ ,  $\text{CO}_3^{=}$  toplam miktarı 2-7 mek/l'tar arasındaki sular
- c- Hipokarbonatlı sular :  $\text{HCO}_3^-$ ,  $\text{CO}_3^{=}$  toplam miktarı 2 mek/l'ten az olan sular

Senirkent-Uluborlu havzasındaki kuyu ve kaynaklardan alınan suların tamamı karbonat ve bikarbonat derişimi bakımından "normal karbonatlı sular" sınıfında yer almaktadır.

#### **4.6.2.2. Piper Diyagramına Göre Suların Sınıflaması**

Bu diyagramda Senirkent-Uluborlu ovasında alınan su örneklerinde yapılan kimyasal analiz sonuçlarından elde edilen anyon ve katyon değerleri kullanılmıştır (Şekil 4.24). Bu verilere göre alkali toprak elementlerin toplamı, alkali elementlerin toplamından büyüktür ( $\text{Ca}^+ + \text{Mg}^+ > \text{Na}^+ + \text{K}^+$ ). Piper diyagramına göre çalışma alanında bulunan yeraltısuları  $\text{Ca}-\text{Mg}-\text{HCO}_3$ 'lı sular sınıfına girmektedir. Ancak, S5, S6, U2 ve U3 nolu örnekler  $\text{Ca}-\text{HCO}_3$ 'lı sular sınıfına girmektedir.



### **4.6.3. Suların Kullanım Özellikleri**

Bu bölümde inceleme alanındaki suların kimyasal analiz sonuçlarına dayalı olarak suyun değişik amaçlı kullanımlara (çibilebilme ve sulamada kullanılabilme) elverişli olup olmadığı değerlendirilmiştir.

#### **4.6.3.1. Suların İçilebilirlik Özellikleri**

Suların içmeye uygun olup olmadığını belirlemek amacıyla bazı su kalitesi standartları kullanılmaktadır. Bu standartlardan en önemlilerinden bir tanesi Çizelge 4.12' de verilen TSE 66 Türk içme suyu standardıdır. Çizelge 4.12'ye göre inceleme alanında kimyasal analizleri yapılan sondaj kuyusu ve kaynak suları için yapılan ağır metal konsantrasyonlarının değerlendirilmesinde de Türk İçme Suyu Standardı kullanılmıştır. Ağır metal konsantrasyonlarının dağılım haritaları EK-10'da verilmiştir.

Su kalitesi belirlemek için kullanılan diğer bir standart ise U.S. Environmental Protection Agency, 1975 ve Dünya Sağlık Örgütü (WHO) Avrupa Standartları, 1970 içme suyu standartlarıdır (Çizelge 4.13). Bu çizelgeye göre de ovadaki suların içme suyu standartlarına uygun olduğu görülmüştür.

Çizelge 4.12. Türk içme suyu standartı (TS-266)

Madde ismi	Müsaade edilebilen değer	Maksimum değer
<b>Zehirli maddeler</b>		
Kurşun (Pb)	----	0,05 mg/l
Selenyum (Se)	----	0,01 mg/l
Arsenik (As)	----	0,05 mg/l
Krom ( $\text{Cr}^{+6}$ )	----	0,02 mg/l
Siyanür (CN)	----	0,01 mg/l
<b>Sağlığa etki eden maddeler</b>		
Florür (F)	1,0 mg/l	1,5 mg/l
Nitrat ( $\text{NO}_3$ )	----	45,0 mg/l
<b>İçilebilme özelliğine etki eden maddeler</b>		
Renk	5 birim	50 birim
Bulanıklık	5 birim	25 birim
Koku ve tad	kokusuz normal	kokusuz normal
Buharlaştırma kalıntısı	500 mg/l	1500 mg/l
Demir (Fe)	0,3 mg/l	1 mg/l
Mangan (Mn)	0,1 mg/l	1,5 mg/l
Bakır (Cu)	1,0 mg/l	1,5 mg/l
Çinko (Zn)	5,0 mg/l	15,0 mg/l
Kalsiyum (Ca)	75,0 mg/l	200,0 mg/l
Magnezyum (Mg)	50,0 mg/l	150,0 mg/l
Sülfat ( $\text{SO}_4$ )	200,0 mg/l	400,0 mg/l
Klorür (Cl)	200,0 mg/l	600,0 mg/l
pH	7,0-8,5	6,5-9,2
Bakiye klor	0,1 mg/l	0,5 mg/l
Fenilik maddeler	----	0,002 mg/l
Alkil benzen sülfonat	0,5 mg/l	1 mg/l
Mg+ $\text{Na}_2\text{SO}_4$	5000 mg/l	1000 mg/l
<b>Kirlenmeyi belirten maddeler</b>		
Toplam organik madde	3,5 mg/l	----
Nitrit	----	----
Amonyak	----	----

Çizelge 4.13. Dünya Sağlık Örgütü İçme suyu standartları (WHO)

Bileşen	Tavsiye edilen konsantrasyon sınırı <sup>a</sup> (mg/l)
İnorganik	
Toplam çözünmüş katı madde	500
Klorür (Cl)	250
Sülfat ( $\text{SO}_4^{2-}$ )	250
Nitrat ( $\text{NO}_3^-$ )	45 <sup>b</sup>
Demir (Fe)	0,3
Mangan (Mn)	0,05
Bakır (Cu)	1,0
Çinko (Zn)	5,0
Bor (B)	1,0
Hidrojen sülfür ( $\text{H}_2\text{S}$ )	0,05
Arsenik (As)	Maksimum izin verilebilir konsantrasyon <sup>c</sup>
Baryum (Ba)	0,05
Kadmiyum (Cd)	1,0
Krom ( $\text{Cr}^{\text{VI}}$ )	0,01
Selenyum	0,05
Antimon (Sb)	0,01
Kurşun (Pb)	0,01
Civa (Hg)	0,002
Gümüş (Ag)	0,05
Florür (F)	1,4-2,4 <sup>d</sup>
Organik	
Siyanür	0,05
Endirin	0,0002
Lindan	0,004
Metoksiklorür	0,1
Toksafen	0,005
2,4-D	,0,1
2,4,5-TP silveks	0,01
Fenoller	0,001
Karbon kloroform ekstraktı	0,2
Sentetik deterjanlar	0,5
Radyonükleidler ve radyoaktivite	Maksimum izin verilebilir aktivite (pCi/l)
Radyum 226	5
Stronsiyom 90	10
Plütonyum	50000
Gros beta aktivitesi	30
Gros alfa aktivitesi	3
Bakteriyolojik	
Toplam koli bakterisi	100 ml'de 1 adet

KAYNAKLAR: U.S. Environmental Protection Agency, 1975 ve Dünya Sağlık Örgütü (WHO)  
Avrupa Standartları, 1970.

<sup>a</sup> Bu bileşenler için tavsiye edilen sınır değerleri başlıca görünüş ve tad karakteristikleri sağlamak içindir.

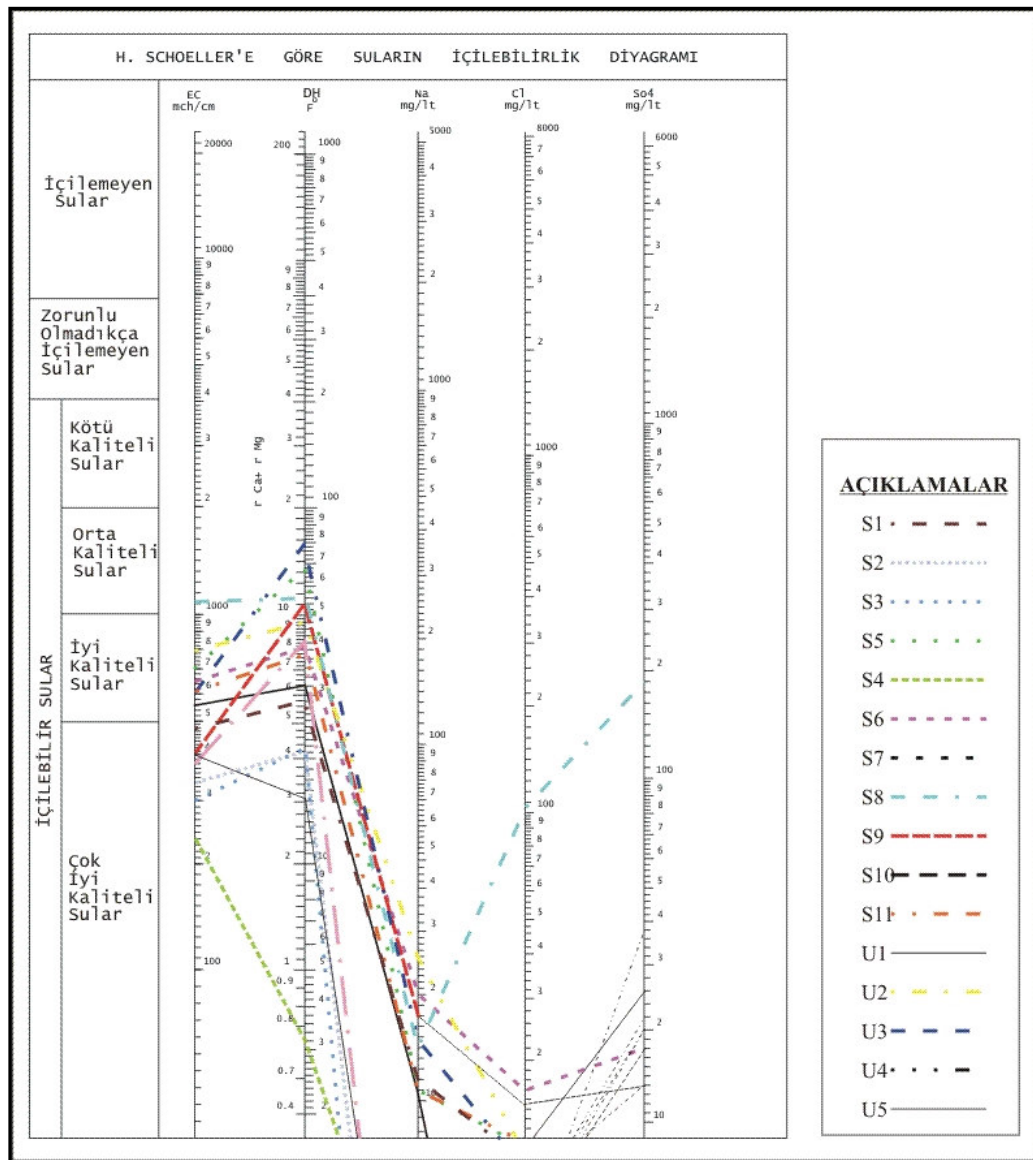
<sup>b</sup> A.B.D. ve Kanada standartlarına göre  $\text{NO}_3^-$  sınırı 10mg/l olarak ifade edilmektedir.  
Avrupa standartlarında bu sınırın için 11,3 mg/l;  $\text{NO}_3^-$  için 50mg/l'dir

<sup>c</sup> Maksimum izin verilebilir sınırlar sağlık kriterlerine göre belirlenir.

<sup>d</sup> Sınır değeri bölgenin havza sıcaklığına bağlıdır; suyun uzun süre tüketilmesi durumunda florür 5,10 mg/l'de zehirli olmaktadır.

#### 4.6.3.2. Scholler'e Göre Suların İçilebilirlik Özellikleri

Çalışma alanında yeraltısularının içilebilme özelliklerinin tespit edilmesinde Scholler diyagramı kullanılmıştır (Şekil 4.25). Senirkent ve Uluborlu bölgelerinde bulunan sular Scholler diyagramına göre "çok iyi kaliteli sular" ve "iyi kaliteli sular" sınıfında yer almaktadır. Senirkent bölgesinde yer alan S8, S5, S6, S11 ve S10 nolu kuyular ile Uluborlu bölgesindeki U2, U3, U4 ve U5 nolu kuyularda elektriksel iletkenlik değerleri (EC) ve sertlik değerleri yüksek olduğu için "iyi kaliteli sular" sınıfında yer almaktadır (Çizelge 4.10).



Şekil 4.25 : Schöeller İçilebilirlik Diyagramı

#### **4.6.3.3.Suların Sulamada Kullanım Özellikleri**

İnceleme alanında suların sulamaya uygun olup olmadığını belirlemek amacıyla ABD Tuzluluk Laboratuvarı ve Wilcox diyagramlarına göre sınıflamalar yapılmıştır.

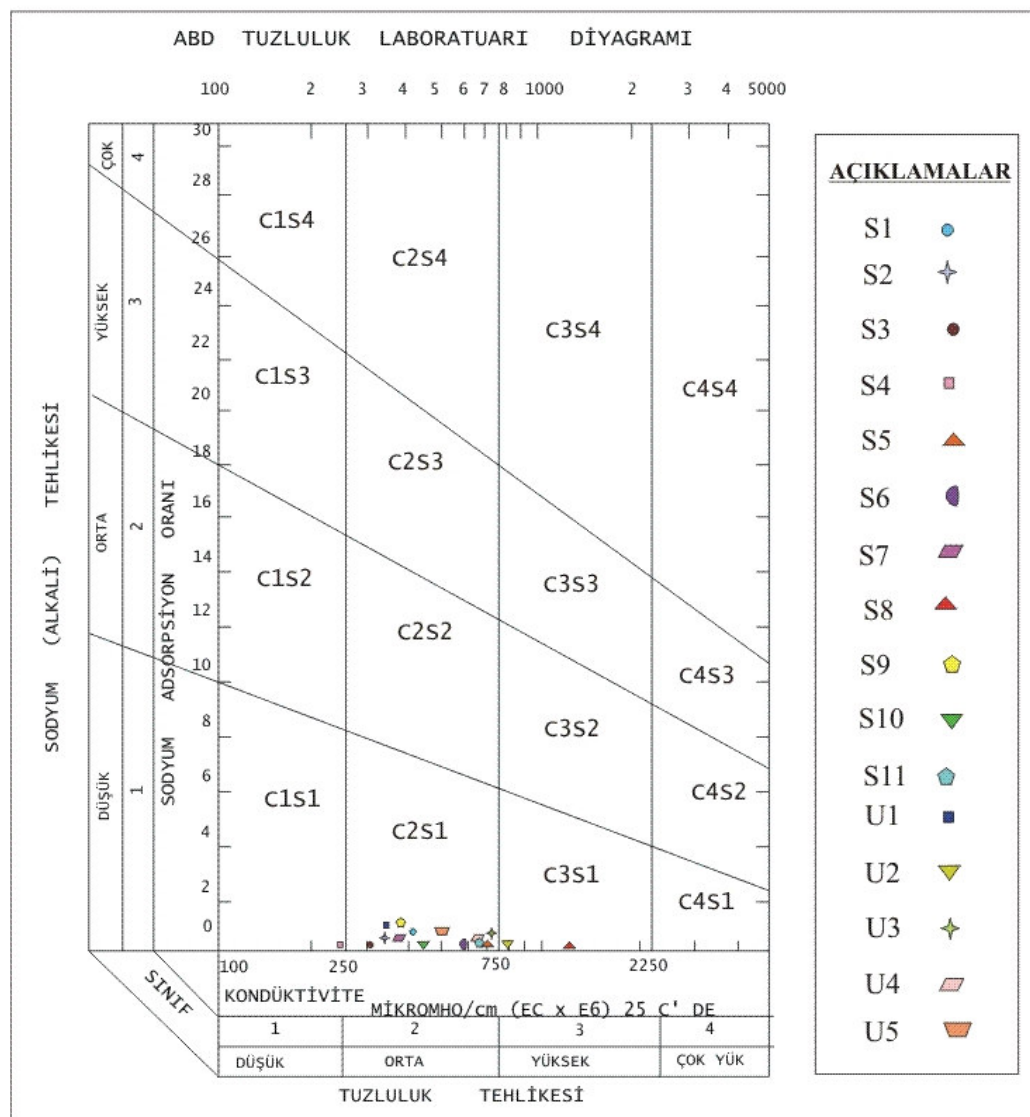
##### **- ABD Tuzluluk Laboratuvarı Diyagramı**

Çalışma alanından alınan su örneklerinde yapılan kimyasal analizler sonucunda elde edilen sodyum adsorsiyon oranı (SAR) ve elektriksel iletkenlik değerleri (EC<sub>s</sub>) ABD tuzluluk laboratuvarı diyagramına yerleştirilmiştir (Şekil 4.26). Diyagramda suların tuzluluk ve sodyum miktarlarına göre sınıflamalar yapılmıştır.

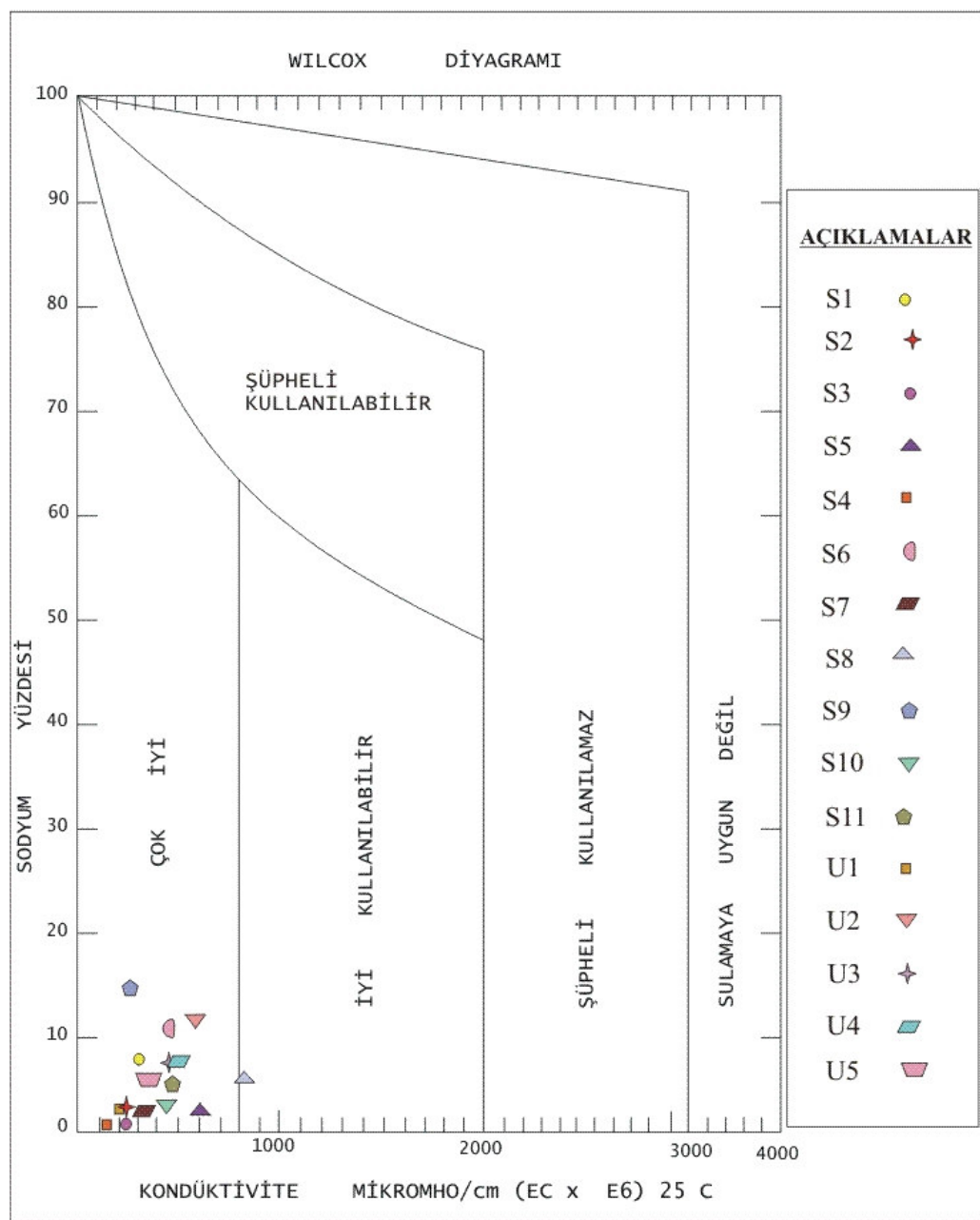
Senirkent-Uluborlu ovasının yeraltısı suyu C<sub>2</sub>S<sub>1</sub> sınıfında yer almaktadır. Bu sular orta derecede suya ihtiyaç gösteren bitkiler için kullanılan orta tuzlulukta su ve sodyuma karşı çok duyarlı olan bitkilerin dışında her türlü tarım için uygun olan az sodyumlu sular özelliğindedir. Senirkent bölgesindeki S3 ve S4 nolu kaynak suyu örneği C<sub>1</sub>S<sub>1</sub> sınıfında ve sodyuma karşı çok duyarlı olan bitkilerin dışında her türlü tarım için uygun olan az sodyumlu ve az tuzlu su sınıfındadır. Uluborlu bölgesindeki S8 nolu sondaj kuyularından alınan örnekler ise C<sub>3</sub>S<sub>1</sub> sınıfında yer almaktır ve drenaj yapılmaksızın bitkiler için kullanılamaz, bazı bitkiler için kullanılabilen fazla tuzlu su ve ender halde sulama suyu olarak kullanılabilen fazla sodyumlu su olarak tanımlanmaktadır.

##### **- Wilcox Diyagramı**

Yeraltı sularının sulamada kullanılabilme özelliğini belirlemeye kullanılan Wilcox diyagramında, Senirkent-Uluborlu ovasındaki tüm sular "çok-iyi / iyi kullanılabilir" sular sınıfında yer almaktadır (Şekil 4.27).



Şekil 4.26 : ABD Tuzluluk Laboratuvarı diyagramı



Şekil 4.27 : Wilcox diyagramı

#### **4.6.4. Yeraltısu Kirliliği**

İnceleme alanında yeralan Senirkent ve Uluborlu yerleşim merkezleri ile ve bunlara bağlı bulunan köylerin kanalizasyon suları Senirkent-Uluborlu havzasının en önemli yüzeysuyu olan Pupa Çayı'na boşaltılmaktadır (EK-10). Ayrıca, Pupa Çayı Senirkent-Uluborlu havzasının batısında yeralan Eğirdir Gölü'ne dökülmektedir. Isparta il merkezinin içme suyunun da karşılandığı Eğirdir Gölü'nde kirliliğin daha geniş alanlara yayılmasını önlemek amacıyla tedbirler alınmalıdır. Senirkent ve Uluborlu yerleşim merkezlerine ait kanalizasyon sistemlerinin biran önce yapılması ve bu kirliliğin kontrol altına alınması gerekmektedir.

Senirkent ve Uluborlu bölgelerinde tarımsal faaliyetlerde kullanılan zirai ilaçlar ve gübre kullanımında yeraltısularını kirleten ve önlem alınması gereken diğer bir husustur.

Senirkent Belediyesi katı atıkları Senirkent-Yassören yol kenarında, yamaç molozu üzerinde vahşi depolamaktadır. Uluborlu Belediyesi katı atıkları Senirkent–Uluborlu yol üzerinde Akçay Mevkiine boşaltılmaktadır (EK-10). Ayrıca Köy Hizmetleri tarafından İleydağ Köyünde atıksu arıtma çalışmaları yürütülmektedir (Şekil 4.28)

Kirleticilerin yüzey ve yeraltısularına etkisini araştırmak amacıyla 19 farklı lokasyondan su örnekleri alınarak, ACME (Kanada) Laboratuvarlarında ağır metal analizleri yapılmıştır (Çizelge 4.14). Ağır metal konsantrasyonlarının alansal dağılımları Ek-10/1-10/11'de gösterilmiştir. Alınan örneklerden Mn konsantrasyonunun S5 ve S11 nolu kuyularda (EK-10/6), Fe konsantrasyonunun S5, S11 ve U3 nolu kuyularda (EK-10/4), Zn konsantrasyonunun S5, S8 ve S11 nolu kuyularda (EK-10/5) sınır değerlerden yüksek olduğu görülmüştür. Bu yüksek değerler üzeri açık olan keson kuyularda suyun uzun süre beklemesi, bölgedeki atık sular ve katı atıklardan kaynaklandığı düşünülmektedir.

Ayrıca suların kirlilikleri için önemli gösterge olan nitrat ( $\text{NO}_3^-$ ), nitrit ( $\text{NO}_2^-$ ) ve amonyak ( $\text{NH}_4^+$ ) analizleri de yapılmıştır (Çizelge 4.15). İçme sularında hiç

bulunmaması gereken nitrit ( $\text{NO}_2$ ) ve amonyaka ( $\text{NH}_4$ ) hemen hemen tüm örneklerde rastlanması suların dış kökenli kirleticilerden etkilendiğini göstermektedir (EK-10/1-10/3). Özellikle çok yüksek sayılabilecek amonyak ( $\text{NH}_4$ ) değerleri SN-1 ve SN-10, UL-2, UL-4 nolu örneklerin kanalizasyon suları boşalım noktalarında alınmaları ve UL-6 nolu örneğin keson kuyudan olması ile açıklanmaktadır (Ek-10/1). Yeraltısularında 10 mg/l'ye kadar nitrat ( $\text{NO}_3$ ) doğal olarak bulunabilir. Bu değerin üzerindeki değerler dış kökenli kirliliğin bir belirtisidir. Yapılan analizlerde yeraltı ve yüzey sularında nitrat ( $\text{NO}_3$ ) konsantrasyonu açısından da kirlilik bulunduğu ve sadece SN-11 nolu kuyuda içme suyu standartlarını aşan bir değere (77,8 mg/l) rastlanılmıştır (EK-10/2). Noktasal olarak belirlenen bu durum, havzada suların içme suyu olarak kullanılmasında sürekli izlenmesi ve dikkatli olunması gerektiğini ortaya çıkarmaktadır. Öte yandan, havzanın boşalımı Eğirdir Gölü'ne olduğundan bu durum göl için de geçerlidir.



Şekil 4.28: İleğidağı Köyü atık su arıtma tesisi taban sızdırmazlık çalışmaları.

Çizelge 4.14 : Senirkent-Uluborlu havzası yüzey ve yeraltısularının ağır metal konsantrasyonları (ACME Laboratuvarları)

Kuyu No	Sıcaklık C°	pH	Ec	TDS	Mn ppb	Cu ppb	Zn ppb	Pb ppb	Hg ppb	Cd ppb	Se ppb	As ppb	Fe ppb	Cr ppb
S-1	12,3	7,82	0,48	0,25	16,09	8,3	4,0	1,1	0,1	0,05	0,9	2,2	69	24,6
S-2	16,9	7,95	0,34	0,17	0,45	17,3	13,0	3,9	0,1	0,05	0,5	1,4	24	5,0
S-3	9,7	7,90	0,30	0,16	0,18	2,4	1,8	0,4	0,1	0,05	0,5	1,4	10	0,9
S-4	10,9	7,53	0,24	0,13	0,88	2,4	1,3	0,8	0,1	0,05	0,5	1,1	17	0,7
S-5	13,2	7,78	0,71	0,36	<b>55,05</b>	18,7	<b>2216</b>	5,9	0,1	0,10	0,5	3,7	<b>236</b>	3,2
S-6	15,0	7,71	0,66	0,34	1,2	2,3	2,4	0,4	0,1	0,05	1,3	2,8	19	11,2
S-7	10,7	7,63	0,41	0,21	0,55	1,9	2,0	0,4	0,1	0,05	0,5	3,2	10	2,2
S-8	15,4	7,60	1,05	0,54	2,72	0,8	<b>118,8</b>	0,5	0,1	0,05	0,5	4,8	30	5,2
S-9	14,5	7,98	0,40	0,21	3,44	1,6	0,7	0,6	0,1	0,05	1,0	5,7	107	15,7
S-10	12,4	7,94	0,52	0,27	0,91	2,0	2,8	0,3	0,1	0,05	1,3	3,3	10	23,1
S-11	13,5	7,24	0,65	0,33	<b>69,09</b>	19,1	<b>1458,2</b>	19,4	0,1	0,10	0,5	3,6	<b>10286</b>	27,7
U-0	-	-	-	-	0,16	0,8	2,7	0,1	0,1	0,05	0,5	2,0	10	0,5
U-1	14,3	7,93	0,38	0,19	2,33	0,8	1,2	0,7	0,1	0,05	0,5	2,7	10	1,8
U-2	11,7	7,42	0,79	0,40	1,31	2,6	4,8	1,1	0,1	0,05	2,1	3,7	10	33,1
U-3	11,3	7,43	0,65	0,33	<b>5,29</b>	1,0	0,9	0,3	0,1	0,05	1,5	3,0	<b>710</b>	30,6
U-4	11,9	7,65	0,61	0,31	<b>15,66</b>	1,0	1,4	0,3	0,1	0,05	1,5	3,7	194	38,3
U-5	11,7	8,02	0,56	0,29	0,77	14	11,7	3,0	0,1	0,10	1,0	2,8	25	21,6
Sınır Değer (ppb) İçme Suyu Standartları (TS266)					<b>50</b>	<b>3000</b>	<b>50</b>	<b>50</b>	<b>1</b>	<b>5</b>	<b>10</b>	<b>50</b>	<b>200</b>	<b>50</b>

Çizelge 4.15 : Senirkent-Uluborlu havzası yüzey ve yeraltısuları nitrat,nitrit ve amonyak konsantrasyonları

Şişe No	Amonyak ( $\text{NH}_4$ ) mg/l	Nitrat ( $\text{NO}_3$ ) mg/l	Nitrit ( $\text{NO}_2$ ) mg/l
SN1	<b>2,55</b>	9,3	<b>0,03</b>
SN2	<b>0,07</b>	<b>30,2</b>	<b>0,02</b>
SN3	<b>0,02</b>	<b>31,2</b>	<b>0,01</b>
SN4	0,00	<b>13,0</b>	<b>0,02</b>
SN5	<b>0,01</b>	<b>13,3</b>	<b>0,02</b>
SN6	0,00	<b>11,7</b>	<b>0,05</b>
SN7	<b>0,01</b>	<b>18,7</b>	<b>0,06</b>
SN8	0,00	<b>13,1</b>	<b>0,08</b>
SN9	0,00	<b>11,7</b>	<b>0,02</b>
SN10	<b>0,16</b>	<b>10,9</b>	<b>0,19</b>
SN11	0,00	<b>77,8</b>	<b>0,03</b>
SN12	0,00	<b>11,8</b>	<b>0,03</b>
SN13	<b>0,05</b>	<b>14,0</b>	<b>0,05</b>
UL0	<b>0,06</b>	<b>27,1</b>	<b>0,05</b>
UL1	<b>0,01</b>	<b>32,3</b>	<b>0,03</b>
UL2	<b>0,16</b>	<b>29,2</b>	<b>0,01</b>
UL3	<b>0,03</b>	<b>27,1</b>	<b>0,02</b>
UL4	<b>3,10</b>	<b>14,3</b>	<b>0,02</b>
UL5	<b>0,07</b>	<b>22,5</b>	<b>0,07</b>
UL6	<b>2,30</b>	<b>20,0</b>	<b>0,03</b>
Sınır Değer (mg/l) (TS266)	-	<b>45</b>	-

## 5. TARTIŞMA ve SONUÇLAR

Senirkent-Uluborlu havzası hidrojeoloji incelemesi amaçlı hazırlanan bu çalışmada elde edilen sonuçlar aşağıdaki gibi özetlenebilir.

- Senirkent-Uluborlu havzasının öncelikle yüzey drenaj alan sınırı belirlenmiş ve yapılan tüm çalışmalar bu havza sınırı içerisinde kalan alan için gerçekleştirilmiştir.
- 753 km<sup>2</sup>'lik bir alana sahip olan Senirkent-Uluborlu havzasında yer alan birimlerin jeolojik yapısına açıklık getirmek amacıyla, bölgede yapılmış önceki çalışmalar incelenmiş ve saha çalışmaları ile revize edilerek, sahanın 1/100 000 ölçekli jeoloji haritası ve yeraltı jeolojisine açıklık getirmek amacıyla jeolojik kesitleri hazırlanmıştır. Bölgede yer alan kaya birimleri özelliklerine ve birbirleriyle olan ilişkilerine göre allokton ve otokton olmak üzere 2 grup altında toplanmıştır. Otokton birimler yaşlıdan gence doğru; Sarıyardere dolomiti, Yassıviran kireçtaşı, Suuçandere kireçtaşı, Uluborlu formasyonu, İncesu konglomera üyesi, Zendevi volkanitleri, Pliyosen karasal çökeller, Pupa Çayı konglomerası, Eski alüvyon, Yamaç molozu ve Alüvyondan oluşmaktadır. Bölgede allokton birim olarak Kapıdağı kireçtaşı bulunmaktadır. Bu bilgiler ışığında bölgenin genelleştirilmiş stratigrafik sütun kesiti hazırlanmıştır.
- Litolojik birimler fiziksel ve hidrojeolojik özelliklerine göre değerlendirilerek 1/100 000 ölçekli hidrojeoloji haritası hazırlanmıştır. Buna göre; Eski alüvyon, Yamaç molozu ve Alüvyon geçirimsiz Pliyosen karasal çökeller, (Gç1), Kapıdağı kireçtaşı, Sarıyardere dolomiti, Yassıviran kireçtaşı, Suuçandere kireçtaşı (Gç2), İncesu konglomera üyesi, Pupa Çayı konglomerası (Gç3), Zendevi volkanitleri yarı geçirimsiz (Gy), Uluborlu formasyonu ise geçirimsiz birimler (Gz) olarak sınıflandırılmıştır.
- İnceleme alanında resmi kurumlara ve şahislara ait toplam 60 adet kuyu bulunmaktadır. Bu kuyulardan DSİ 18. Bölge Müdürlüğü tarafından açılan sondaj kuyularında yapılan pompaj deney verileri kullanılarak alüvyon akiferin

hidrojeolojik parametreleri ( $K, T, S$ ) hesaplanmıştır. Uluborlu bölgesi için hesaplanan hidrojeolojik parametreler ortalama olarak  $K = 6,15 \times 10^{-6}$  m/sn  $T = 1,84 \times 10^{-3}$  m<sup>2</sup>/sn  $S = 1,95$ , Senirkent için ise,  $K = 3,24 \times 10^{-5}$  m/sn  $T = 3,44 \times 10^{-3}$  m<sup>2</sup>/sn  $S = 2,81 \times 10^{-2}$ , dir.

- Havzada Mayıs-2004 ve Eylül-2003 dönemlerinde yeraltısı suyu seviye ölçümleri gerçekleştirilmiş ve 1/100 000 ölçekli yeraltısı suyu seviye haritaları hazırlanmıştır. Havzanın yeraltısı suyu akım yönünün Eğirdir Gölüne olduğu belirlenmiştir.

- Havzada emniyetli olarak kullanılabilecek yeraltısı suyu miktarını belirlemek için yağış, buharlaşma-terleme, akış ve süzülme gibi beslenim ve boşalım elemanları değerlendirilmiştir. Beslenim olarak yağış  $420,174 \times 10^6$  m<sup>3</sup>/yıl, Eğirdir Gölü'nden gelen sulama suyu  $45 \times 10^6$  m<sup>3</sup>/yıl olarak hesaplanmıştır. Boşalım olarak ise buharlaşma  $285 \times 10^6$  m<sup>3</sup>/yıl, kuyulardan çekim  $6,7 \times 10^6$  m<sup>3</sup>/yıl, Pupa çayı boşalımı  $25,68 \times 10^6$  m<sup>3</sup>/yıl, göletlerden alınan sulama suyundan bitki kullanımı  $5,78 \times 10^6$  m<sup>3</sup>/yıl, Eğirdir Gölü'nden alınan sulama suyundan bitki kullanımı  $14,88 \times 10^6$  m<sup>3</sup>/yıl ve Eğirdir Gölü'ne yeraltısı suyu boşalımı  $37,8 \times 10^6$  m<sup>3</sup>/yıl olarak hesaplanmıştır. Bu verilere göre; toplam beslenim miktarı ( $465,174 \times 10^6$  m<sup>3</sup>/yıl) ile toplam boşalım miktarı ( $375,84 \times 10^6$  m<sup>3</sup>/yıl) arasında  $90 \times 10^6$  m<sup>3</sup>/yıl fark bulunmaktadır. Bu hesaplamlara göre havzada emniyetli olarak kullanılabilen su miktarı, bilanço farkının %60'ı olan  $54 \times 10^6$  m<sup>3</sup>/yıl olarak belirlenmiştir.

- Havza genelinde birçok kaynak boşalımı bulunmaktadır. Bunlardan en önemlileri Değirmendere, Ayazmana, Kayaağzı ve Üğüllü kaynaklarıdır. Bu kaynakların hiçbirinde dedi ölçümü yapılmamaktadır. Havzanın yeraltısı suyu potansiyeli açısından bu kaynakların sürekli debi ölçümleri yapılmalıdır.

- Çalışma alanındaki yeraltısı suyunun kullanılabilme özellikleri ile kirlilik durumunun tespit edilmesi için havzanın temsili bölgelerinde yeralan sondaj kuyuları ve kaynaklardan su örnekleri alınmış ve kimyasal analizleri yaptırılmıştır. İnceleme alanında alınan bu su örneklerinde genel olarak anyon ve katyon dağılımını görmek amacıyla hidrojeokimya haritası hazırlanmıştır. Haritada suların genel kimyasal yapısının Ca-Mg-HCO<sub>3</sub>'lı sular olduğu görülmektedir. Ayrıca, inceleme alanında

suların sulamaya uygun olup olmadığını belirlemek amacıyla ABD Tuzluluk Laboratuvarı ve Wilcox diyagramlarına göre sınıflamalar yapılmıştır. ABD Tuzluluk Laboratuvarı sınıflamasına göre; Senirkent-Uluborlu havzasının yeraltısu C<sub>2</sub>S<sub>1</sub> sınıfında yer almaktadır. Bu sular orta derecede suya ihtiyaç gösteren bitkiler için kullanılan orta tuzlulukta su ve sodyuma karşı çok duyarlı olan bitkilerin dışında her türlü tarım için uygun olan az sodyumlu sular özellikle dır. Wilcox diyagramında ise, havzadaki tüm sular "çok-iyi-iyi" kullanılabilir sular sınıfında yer almaktadır.

- Havzanın yeraltısunun kirlilik durumunun tespit edilebilmesi için havzayı temsil eden lokasyonlardan örnekler alınarak nitrat (NO<sub>3</sub>), nitrit (NO<sub>2</sub>), amonyak (NH<sub>4</sub>) ve ağır metal analizleri de yapılmış ve suların dış kökenli kirleticilerden olumsuz etkilendiği belirlenmiştir. İnceleme alanında yer alan Senirkent ve Uluborlu yerleşim merkezleri ile ve bunlara bağlı bulunan köylerin kanalizasyon suları Senirkent-Uluborlu havzasının en önemli yüzey suyu olan Pupa Çayı'na boşaltılmaktadır. Pupa Çayı havzanın doğusunda yer alan Eğirdir Gölü'ne dökülmektedir. Isparta il merkezinin içme suyunun da karşılandığı Eğirdir Gölü'nde su kalitesini olumsuz yönde etkilemesini önlemek amacıyla tedbirler alınmalıdır. Senirkent ve Uluborlu yerleşim merkezlerine ait kanalizasyon sistemlerinin biran önce yapılması ve bu kirliliğin kontrol altına alınması gerekmektedir.
- Senirkent ve Uluborlu bölgelerinde tarımsal faaliyetlerde kullanılan zirai mücadele ilaçları ve bunların ambalaj atıklarının da havzada kontrol altına alınması gerekmektedir.
- Senirkent-Uluborlu havzası içerisinde yer alan hiçbir yerleşim merkezinde katı atık depolama sahası bulunmamaktadır. Bundan dolayı yerleşim merkezlerinin atıklarından sızan sular yeraltısunu kirletmektedir. Bu nedenle havza içerisinde katı atık düzenli depolama tesisi zorunlu görülmektedir. Tay, (2005) tarafından havzada katı atık düzenli depolama tesisi yer seçimi yapılmıştır.

## 6. YARARLANILAN VE DEĞİNİLEN KAYNAKLAR

- Altınlı, E., 1944. Antalya bölgesinin stratigrafik etüdü, İÜFF Mecmuası, Seri B-C, IX, 3, 227-238.
- Altıntaş, A., 1976. Isparta-Uluborlu Barajı Çevre Jeolojisi, DSİ 18. Bölge Müdürlüğü, (yayınlanmamış), Isparta
- Becker-Platen, J.D., Benda, L. Steffens, P., 1977. Lithound biostratigraphische Deutung radiometrischer Altersbestimmungen au dem Jungtertiar der Turkei (Kanozoikum und Braunkohien edr Turkei, 18): Geol, Jb, B25, 139-167, Hannover.
- Bozcu, A., 1996, Kasımlar (Sütçüler-Isparta) yöresinde yeralan Mesozoyik yaşılı denizel tortulların jeolojisi, petrografisi ve organik jeokimyasal yöntemlerle incelenmesi, SDÜ Fen Bilimleri Enstitüsü, Doktora tezi (yayınlanmamış), 135s., Isparta
- Çınar, K., 1997. Üğüllü kaynağı (Uluborlu-Isparta) hidrojeolojik etüd raporu, İller Bankası 5. Bölge Müdürlüğü, Antalya
- Çınar, K., Uslu, M., E., Yalçın, A., 1997. Isparta ili Uluborlu ilçesi ek imar planına ait gözlemsel jeolojik etüt raporu, Uluborlu Belediyesi Fen İşleri Müd., Isparta
- DSİ, 1969, Senirkent-Uluborlu havzası hidrojeolojik etüd raporu, DSİ 18. Bölge Müdürlüğü, Isparta
- DSİ, 1975. Uluborlu Barajı yapılabilitirlik raporu. DSİ 18. Bölge Müdürlüğü, Isparta
- DSİ, 1997, Devlet Su İşleri Haritalı İstatistik Bülteni, TC Enerji ve Tabii Kaynaklar Bakanlığı, DSİ Genel Müdürlüğü, Apk Daire Başkanlığı, Ankara
- Demirkol, C., Sipahi, H., Çiçek, S., Barka, A., Sönmez, Ş., 1977, Sultandağının stratigrafisi ve jeoloji evrimi, MTA raporu, derleme no: 6305, Ankara (yayınlanmamış)
- Demirkol, C., Yetiş, C., 1984, Hoyran gölü (Isparta) kuzeyinin stratigrafisi, MTA Dergisi, s. 101-102, 1-4, Ankara
- DMİ, 2004, Devlet Meteoroloji İşleri Genel Müdürlüğü, 1968-2002 yılları arası meteoroloji elemanları ölçüm değerleri
- Dumont, J,F, ve Kerey, E., 1975. Eğirdir Gölü güneyinin (Isparta ili) temel jeolojik etüdü, TJK Bülteni, Cilt:18, Sayı:2, 1-10.

- Ertunç, A., 2003, Uluborlu ilçesi Muzaffer Kasabal arkasına ait jeolojik ve zemin etüd raporu, Temel İnşaat, Isparta
- Gutnic, M., 1977, Geologie du Taurus Pisidien au nord d' Isparta, Turquie: Principaux résultats extraits des notes de M. Gutnic entre 1964 et 1971 par O. Monod, Université du Paris-Sud Orsay, 130p.
- Gutnic, M., Monod, O., Poisson, A., ve Dumont, F., D., 1979. Geology of the Taurides occidentales (Turkey): Mem-Soc. Geol. Fr., N.S., S8, S: 112.
- Hançer, M., 1996. Isparta güneyi, Ağlasun-Bucak civarının jeolojik ve tektonik özellikleri, SDÜ Fen Bilimleri Enstitüsü Doktora tezi (yayınlanmamış), 223 s., Isparta.
- Irlayıcı, A., 1993, Isparta Ovası hidrojeolojisi ve yeraltısuları ile ilgili çevre sorunları, Akdeniz Üniversitesi Fen Bilimleri Enstitüsü (yayınlanmamış, yüksek lisans tezi), Isparta
- Irlayıcı, A., 1997, Eğirdir-Burdur Gölleri arasındaki hidrojeoloji incelemesi, Süleyman Demirel Üniversitesi, Fen Bilimleri Enstitüsü (yayınlanmamış, doktora tezi), Isparta
- Isparta İli Çevre Durum Raporu, 1994, Isparta Valiliği Çevre İl Müdürlüğü, Isparta
- Karagüzel., R., Taşdelen, S., Akyol E., 1995. An analysis of the level fluctuations of Eğirdir Lake SW Turkey, International earth sciences colloquium on the Aegean Region 701-710, Izmir-Güllük, Turkey.
- Karagüzel., R., Taşdelen, S., Akyol E., Tokgözlü, A., Irlayıcı, A., ve Özgül, S., 1995. Eğirdir Gölü hidrolojisi (Ön rapor), SDÜ Müh-Mim Fak. Jeoloji Müh. Böl. Uyg. Jeo. ABD, 61 s., Isparta
- Karagüzel, R., Bozcu, M., Yalçın, A., Yılmaz, K., 1996. Senirkent (Isparta) moloz-çamur akması ön mühendislik jeolojisi, 49. Türkiye Jeoloji Kurultayı, 16-25, Ankara.
- Karaman, M., E., 1986. Burdur dolayının genel stratigrafisi, Akdeniz Univ. Isparta Müh. Fak. Dergisi, S2. 23-35, Isparta
- Karaman, M., E., Meriç, E., ve Tansel, İ., 1988. Çünür (Isparta) dolaylarında Kretase-Tersiyer geçiş, AÜ Isparta Müh. Fak. Dergisi, 4, 80-100, Isparta
- Karaman, M., E., Meriç, E., ve Tansel, İ., 1989. Gönen-Atabey (Isparta) arasındaki bölgenin jeolojisi, CÜ Müh. Fak. Dergisi, Seri A-Yerbilimleri, 7(2), 129-139.

- Karaman, M., E., 1990. Isparta güneyinin temel jeolojik özellikleri, Türkiye Jeoloji Bülteni, C:33, 57-67.
- Karaman,M.E., 1994, Isparta-Burdur arasındaki jeolojisi ve tektonik özellikleri, Türkiye Jeoloji Bülteni, Cilt:37 Sayı:2, S:119-134, Ankara
- Ketin, İ., 1966, Anadolunun tektonik birlikleri, Maden Tetkik ve Arama Enstitüsü Dergisi, Sayı:66, S:23-24, Ankara
- Koçyiğit, A.,1984, Güneybatı Türkiye ve yakın dolayında levha içi yeni tektonik gelişimi, Türkiye Jeoloji Bülteni, Cilt:27 Sayı:1, S:1-14, Ankara
- Koçyiğit, A., 1980. Hoyran Gölü yoresinin (Afyon-Isparta)stratigrafik ve tektonik özellikleri, AÜ Fen Fak. Genel Jeoloji Kür., Doç. Tezi (yayınlanmamış), 172s., Ankara.
- Koçyiğit, A., 1981. Isparta büklümünde (Batı Toroslar) Toros karbonat platformunun evrimi, Türkiye Jeoloji Kurumu Bülteni, C:24, 15-25.
- Koçyiğit, A., 1983. Hoyran Gölü (Isparta Büklümü) dolayının tektoniği, Türkiye Jeoloji Kurumu Bülteni, C:26, 1-10.
- Mutlutürk, M., Karagüzel, R., Köseoğlu, M., Oran, S., Oğlakçı, M. ve Taşdelen, S., 1991. Eğirdir Gölü ve Havzası Kirletici Faktörlerin Araştırılması, Göller Bölgesi Tatlı Su Kaynaklarının Korunması ve Çevre Sorunları Sempozyumu, 479-489, Isparta
- Özgül, N., Böyükbaşı, S., Alkan, H., Öztaş, Y., Korucu, M., 1991. Göller bölgesinin tektona-stratigrafik birlikleri, Ozan Sungurlu Semp. Bildiriler Kitabı, s.213-237, Ankara
- Parejas, E., 1942. Sandıklı, Dinar, Burdur, Isparta ve Eğirdir bölgesinde yapılan jeolojik löveler hakkında rapor. MTA Rapor No: 1930 Ankara
- Poisson, A., 1977. Evolution paleogeographique du masif des Bey Dağları SI:VI, Ege bölgeleri jeolojisi kolloquiumu, İzmir, Bildiri Özeti, 85-86.
- Poisson, A., 1977. Recherches géologiques dans les Taurides occidentales (Turquie): These, I' Université de ParisSud, Orsay, 795s.
- Poisson, A., Akay, E., Dumont, J.F., Uysal, Ş., 1984. The Isparta angle: a Mesozoic paleorift in the western Taurides: Geology of the Taurus belt, (Ed. by O. Teleli and C. Güncüoğlu), 11-26, Ankara.
- Polat Z., 1997. Senirkent-Uluborlu ovasının hidrojeolojisi (su kimyası kuyu hidrolojisi). SDÜ Müh-Mim. Fak. Jeo. Müh. Böl. Bitirme Ödevi, Isparta

- Sarıiz, K., 1985. Keçiborlu kükürt yataklarının oluşumu ve yörenin jeolojisi, AÜ yayınları, 91, Doktora tezi, Ankara
- Şenel, M., 1996, Anamas-Akseki otoktonu güney kenarını temsil eden Pirnos Blogu'nun stratigrafik özellikleri ve paleocoğrafik yorumu; Orta Toroslar, Türkiye, Türkiye Jeoloji Bülteni, Cilt:39 Sayı:2, S:19-29, Ankara
- Şenel, M., 1997. Türkiye jeoloji haritaları Isparta J10 paftası, MTA Genel Müdürlüğü Jeoloji Etüdleri Dairesi, Ankara
- Tay, ş., (2005), Senirkent-Uluborlu (Isparta) Havzasının Katı Atık Düzenli Depolama Yeri Seçimine Yönelik Jeolojik - Jeoteknik İncelemesi, Süleyman Demirel Üniversitesi, Fen Bilimleri Enstitüsü, Yüksek Lisans Tezi (yayınlanmamış)
- TMMOB Ziraat Mühendisleri Odası : [www.zmo.org.tr/etkinlikler](http://www.zmo.org.tr/etkinlikler)
- Ünal, K. E., 1992. Uluborlu (Isparta) barajının jeoteknik incelemesi, AÜ Isparta Müh. Fak., Seminer çalışması, Isparta
- Yağmurlu, F., 1991. Yalvaç-Yarikkaya neojen havzasının stratigrafisi ve depolama ortamları, Türkiye Jeoloji Bülteni, Cilt: 34, S:9-19, Ankara
- Yalçınkaya, S., Ergin, A., Taner, K., Afşar, Ö., P., Dalkılıç, M., Özgönül, E., 1986 Batı Toroslar'ın Jeoloji raporu, MTA rapor no: 7898 (yayınlanmamış), Ankara
- Yalçınkaya, S., 1989. Isparta-Ağlasun dolayının jeolojisi, İÜ Fen Bilimleri Enstitüsü Jeoloji Mühendisliği Bölümü, Doktora tezi (yayınlanmamış), İstanbul
- Yalçınkaya, S., 1995, Senirkent (Isparta feyezani, DSİ Genel Müdürlüğü Bülteni, Sayı 407-408, Ankara

## ÖZGEÇMİŞ

**Adı Soyadı :** Fatma SEYMAN

**Doğum Yeri :** Afyon

**Doğum Yılı :** 1980

**Medeni Hali :** Bekar

### **Eğitim ve Akademik Durum:**

**Lise** : 1993-1996 İzmit 19 Mayıs Lisesi

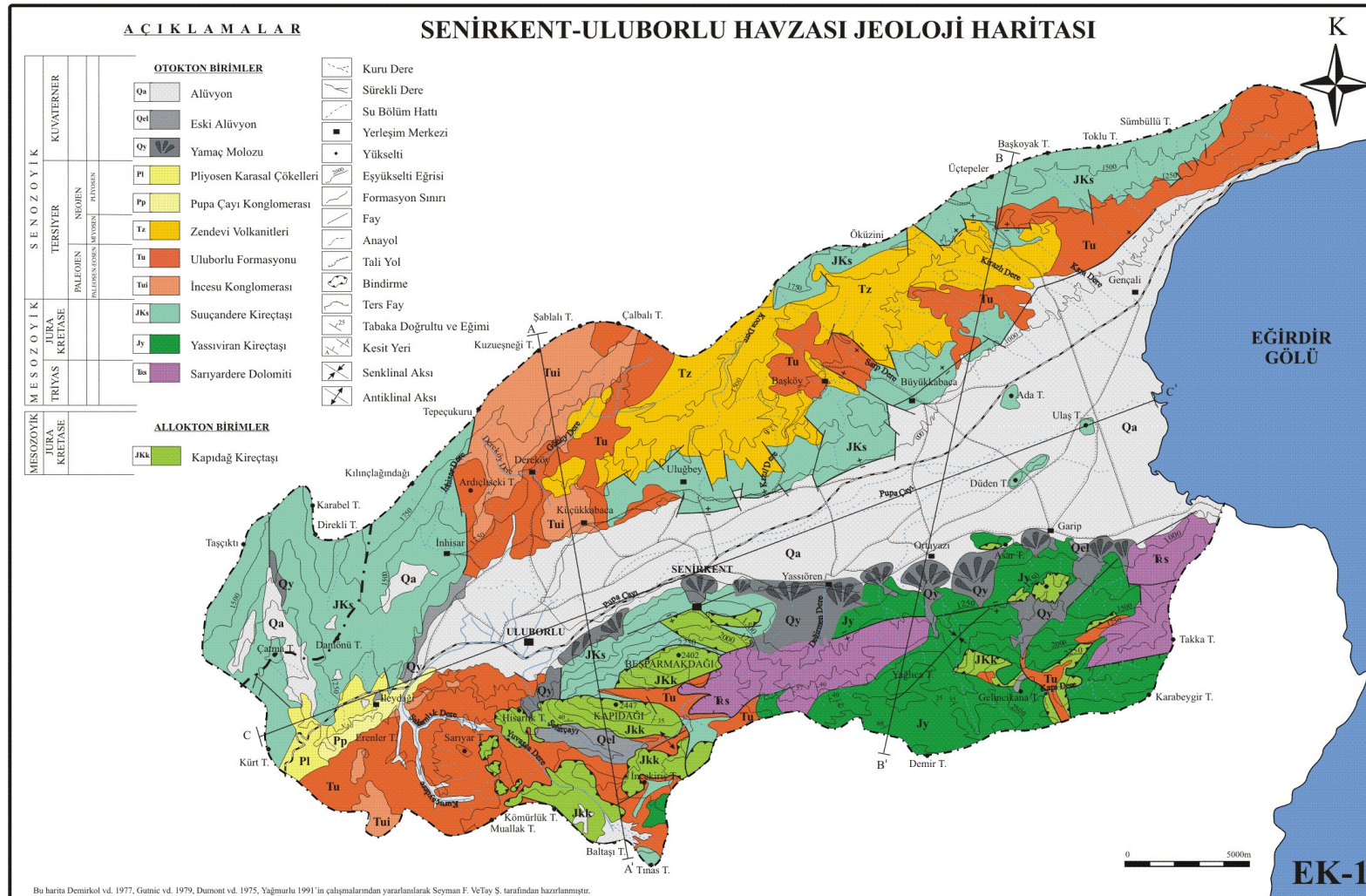
**Lisans** : 1997-2001 Süleyman Demirel Üniversitesi  
Mühendislik Mimarlık Fakültesi  
Jeoloji Mühendisliği Bölümü

**Yabancı Dil :** İngilizce

### **İş Deneyimi:**

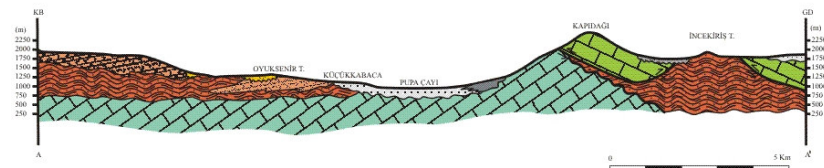
2002-..... : Süleyman Demirel Üniversitesi  
Fen Bilimleri Enstitüsü  
Araştırma Görevlisi

EKLER



## SENİRKENT-ULUBORLU HAVZASI JEOLOJİ KESİTLERİ

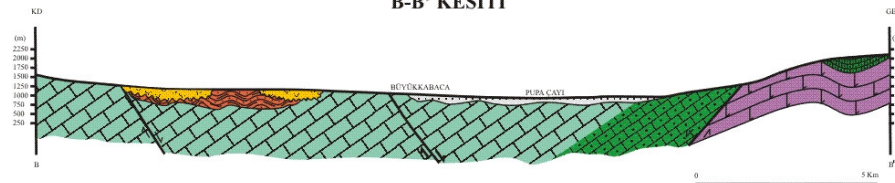
**A-A' KESİTİ**



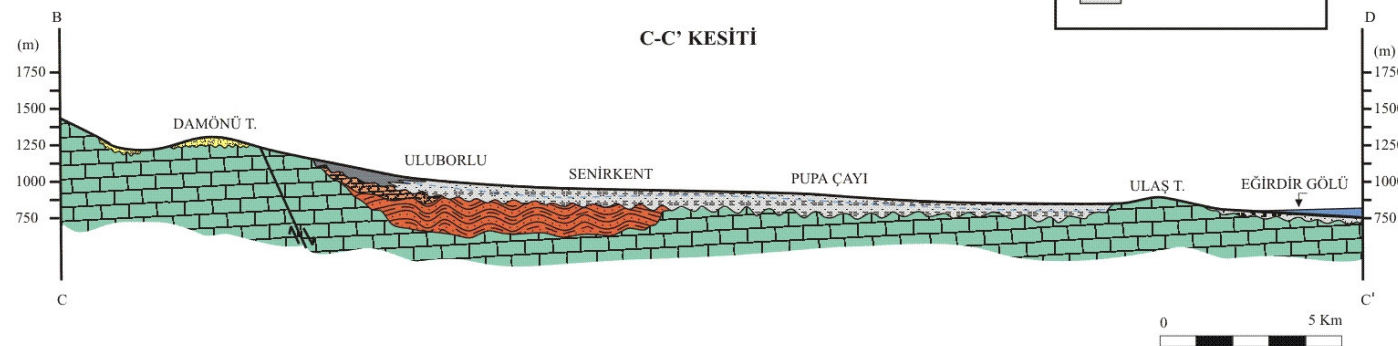
**ACIKLAMALAR**

[Alüyon pattern]	Alüyon
[Eski Alüyon pattern]	Eski Alüyon
[Grey pattern]	Yamaç Molozu
[Yellow pattern]	Pliyosen Karasal Çökeller
[Orange pattern]	Zendevi Volkanitleri
[Green pattern]	Kapıdağı Kireçtaşı
[Red pattern]	Uluborlu Formasyonu
[Light blue pattern]	İncesu Konglomerası
[Dark green pattern]	Suuçandere Kireçtaşı
[Dark red pattern]	Yassıvırın Kireçtaşı
[Purple pattern]	Sarıyardere Dolomiti
[Grey box]	Yeraltısu Seviyesi

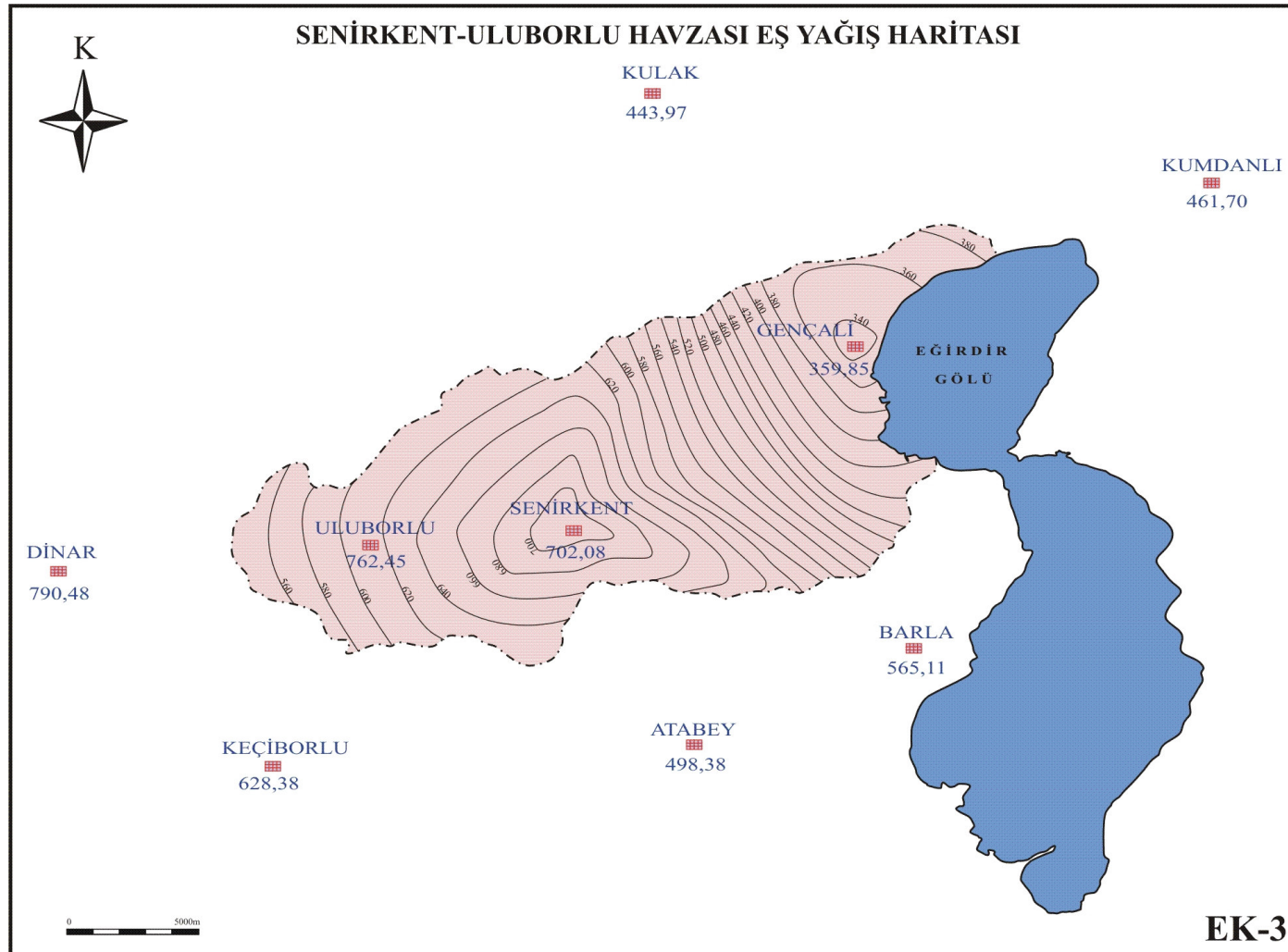
**B-B' KESİTİ**

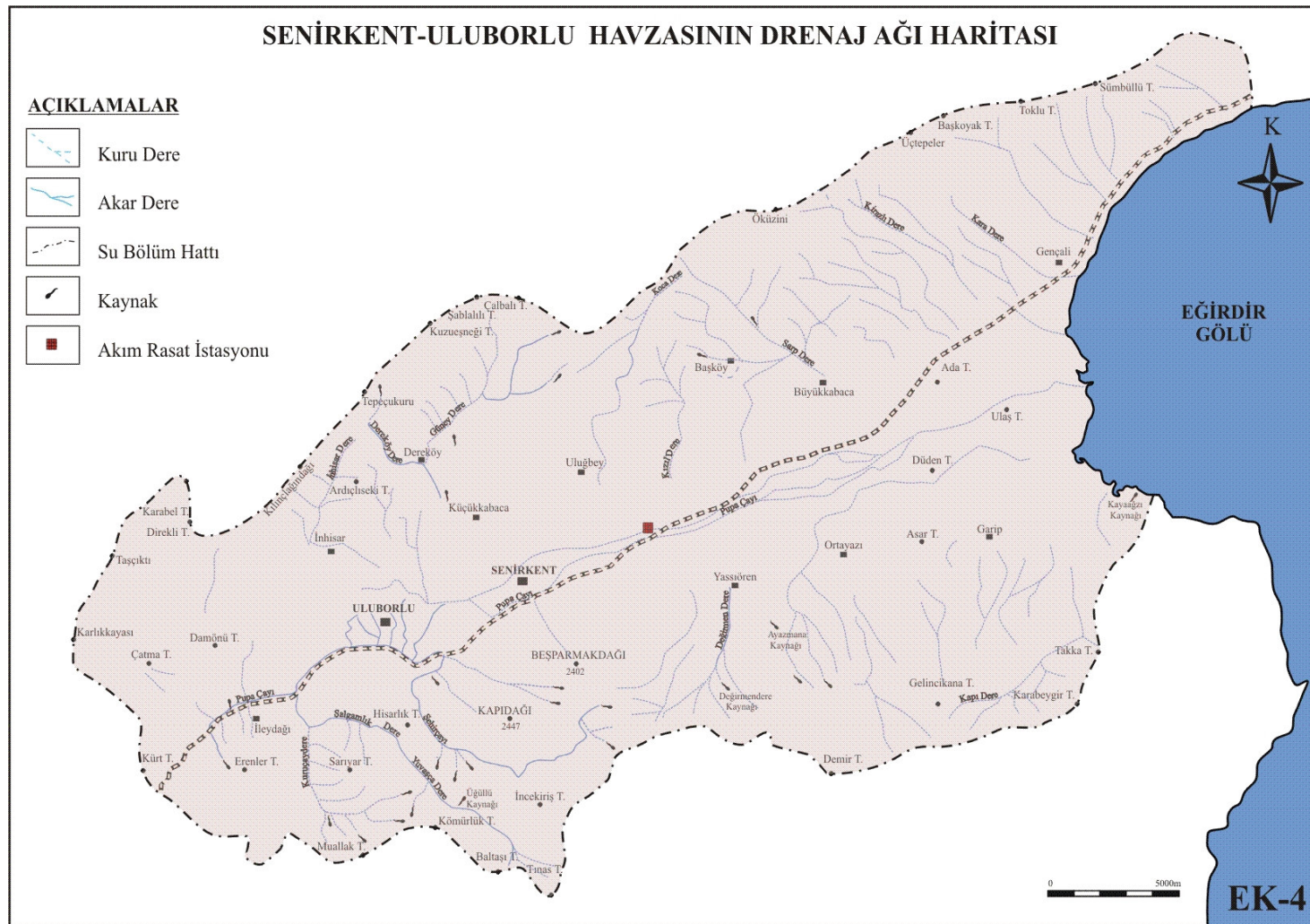


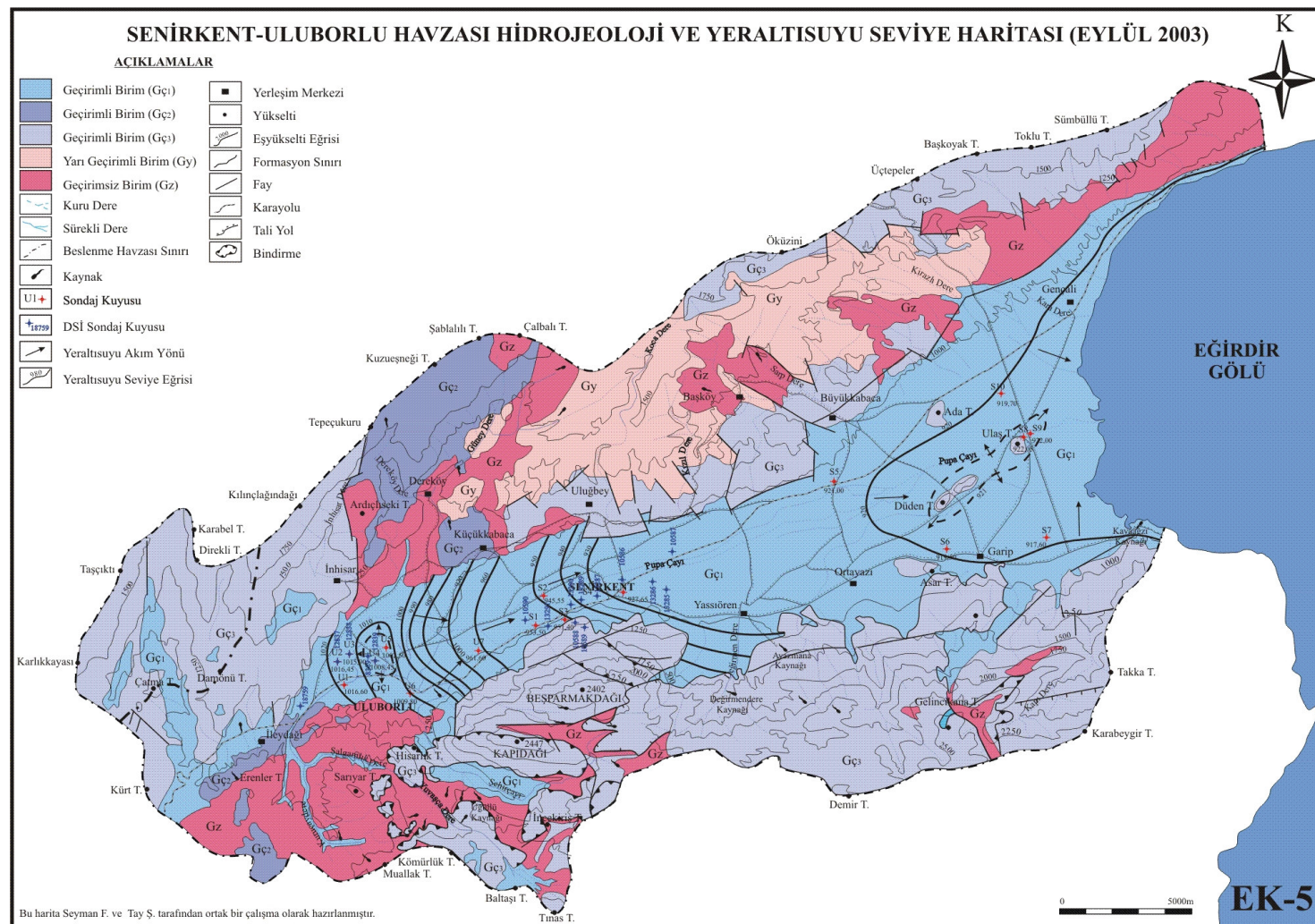
**C-C' KESİTİ**

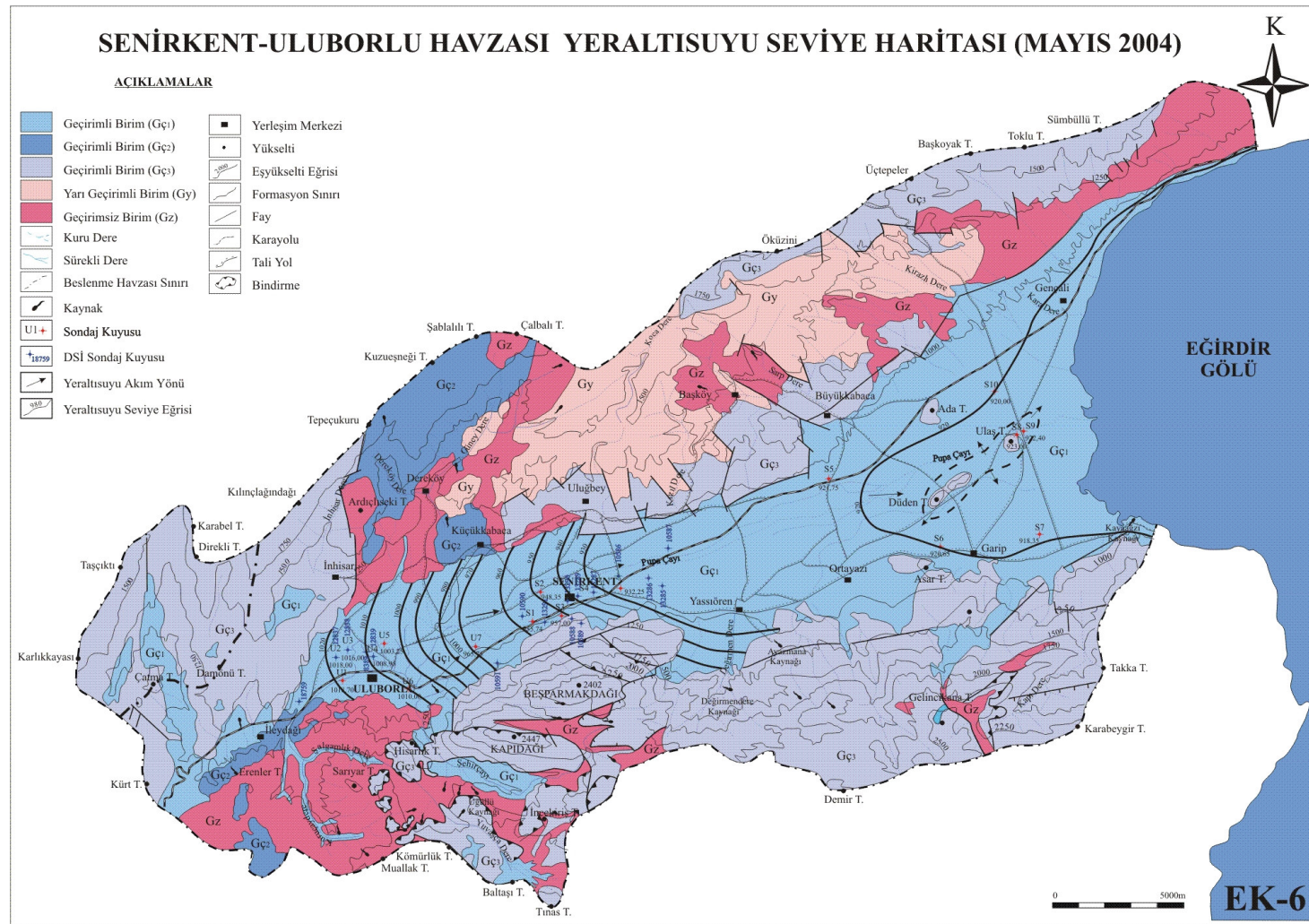


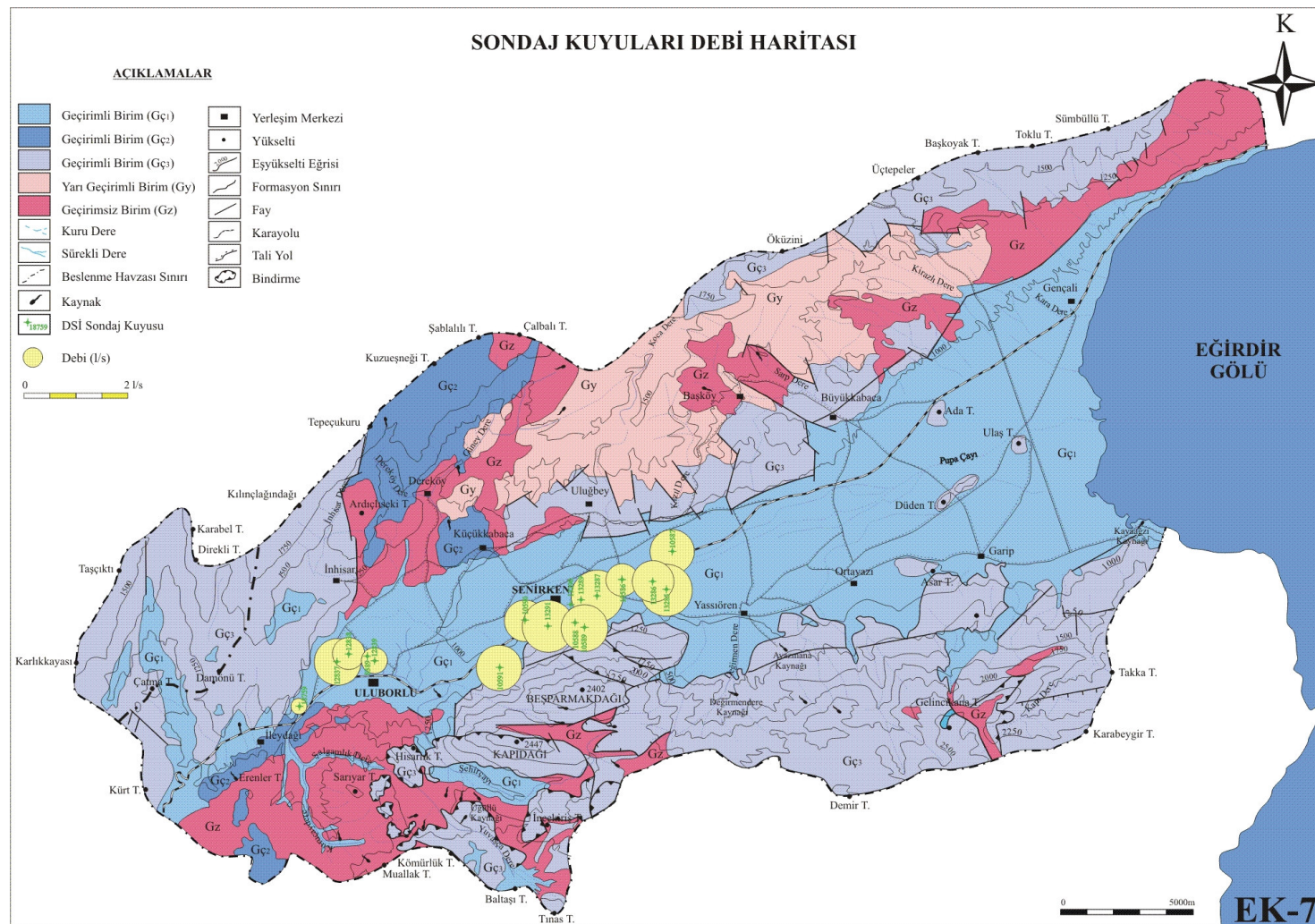
**EK-2**

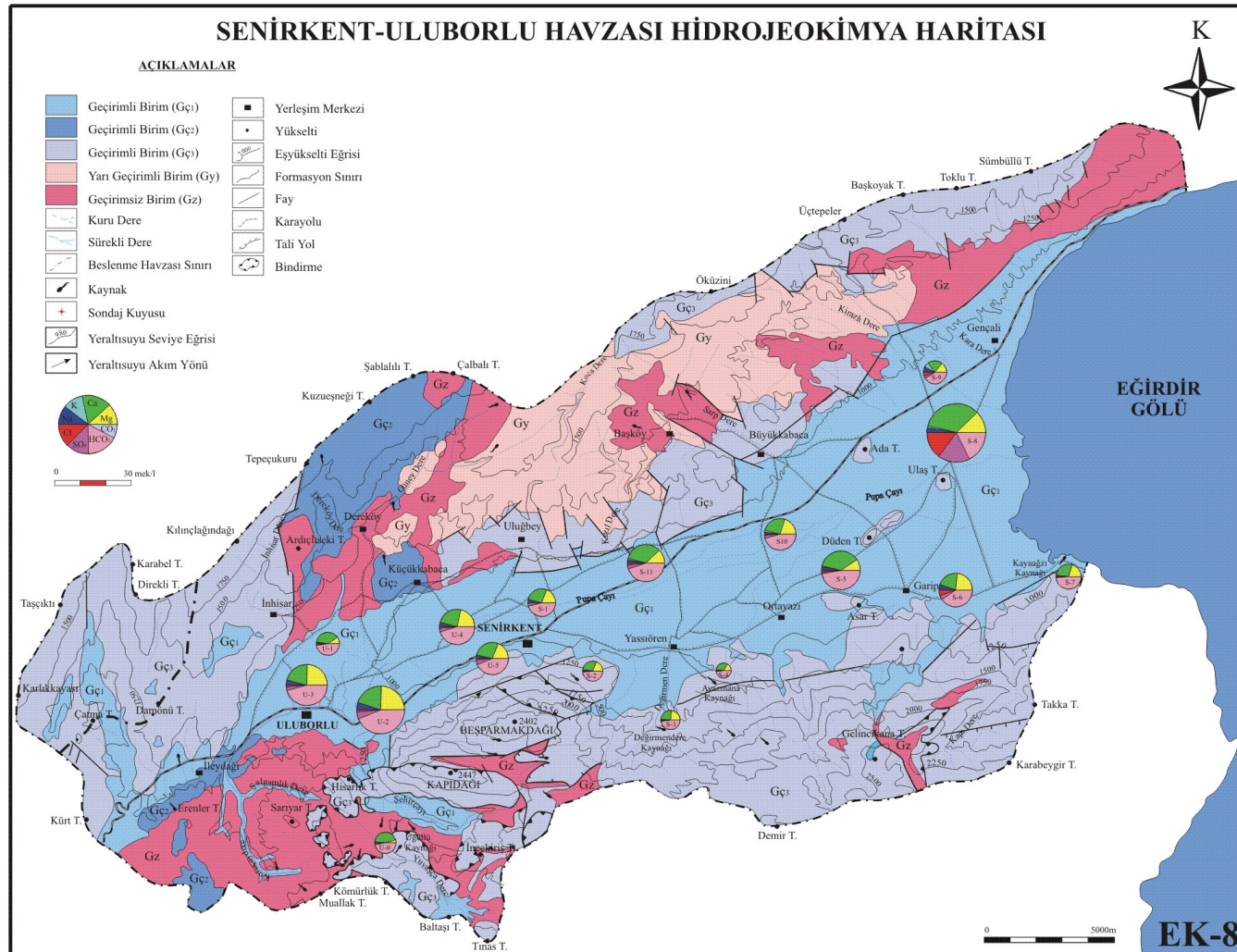




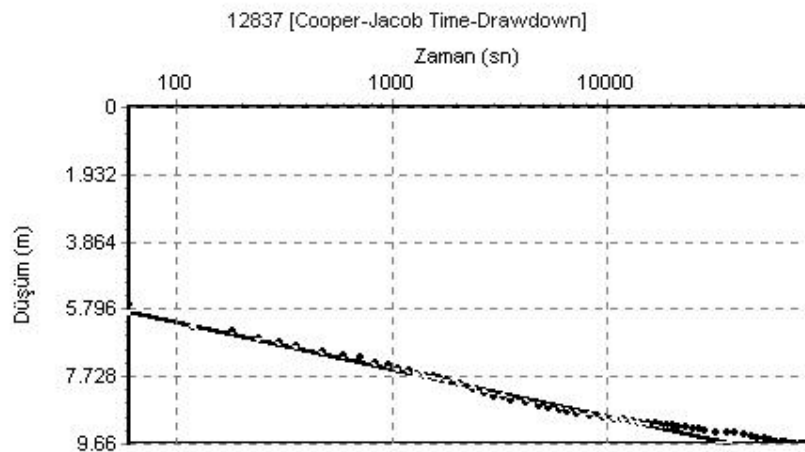








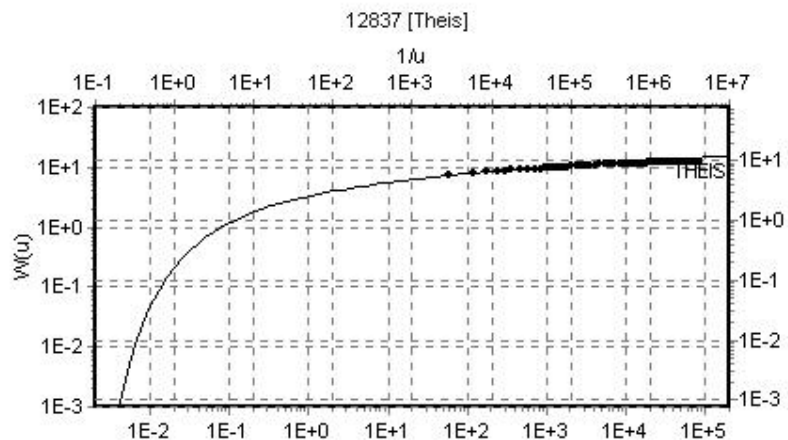
**EK-9**  
**KUYUHİDROLİĞİGRAFİKLERİ**



$$K = 3,05 \times 10^{-5} \text{ m/sn}$$

$$T = 1,44 \times 10^{-3} \text{ m}^2/\text{sn}$$

12837 No'lulu kuyuya ait Cooper-Jacop Time-Drawdown yöntemi

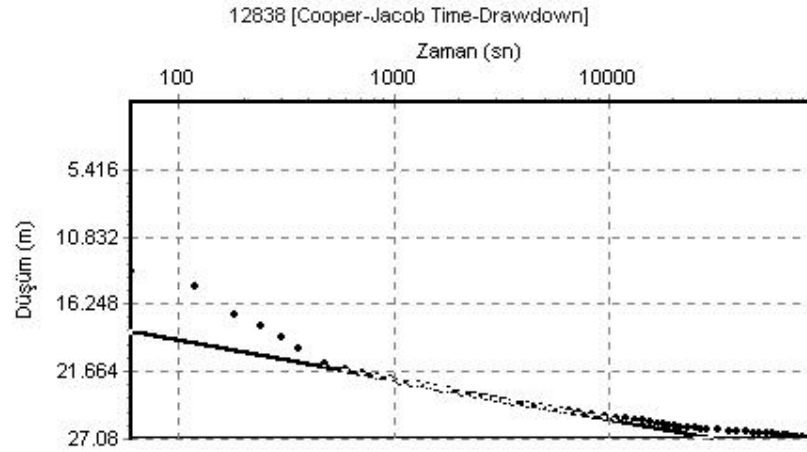


$$K = 2,32 \times 10^{-5} \text{ m/sn}$$

$$T = 3,71 \times 10^{-3} \text{ m}^2/\text{sn}$$

$$S = 5 \times 10^{-2}$$

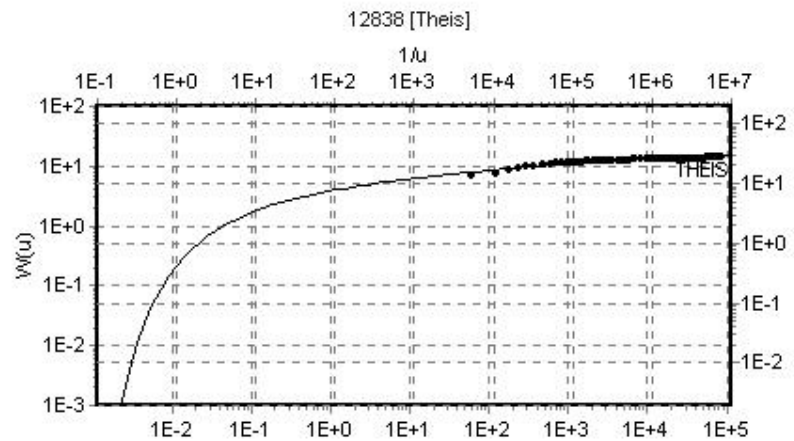
12837 No'lulu kuyuya ait Thies yöntemi



$$K = 9,51 \times 10^{-6} \text{ m/sn}$$

$$T = 1,43 \times 10^{-3} \text{ m}^2/\text{sn}$$

12838 No' lu kuyuya ait Cooper-Jacob Time-Drawdown yöntemi

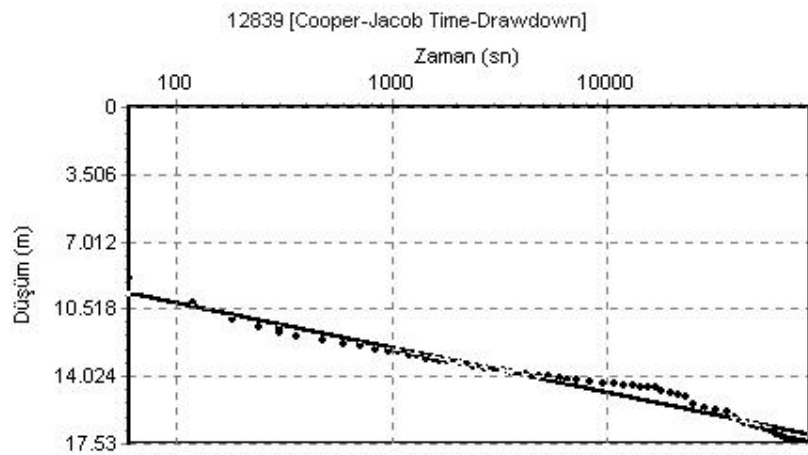


$$K = 6,79 \times 10^{-6} \text{ m/sn}$$

$$T = 1,02 \times 10^{-3} \text{ m}^2/\text{sn}$$

$$S = 1,36$$

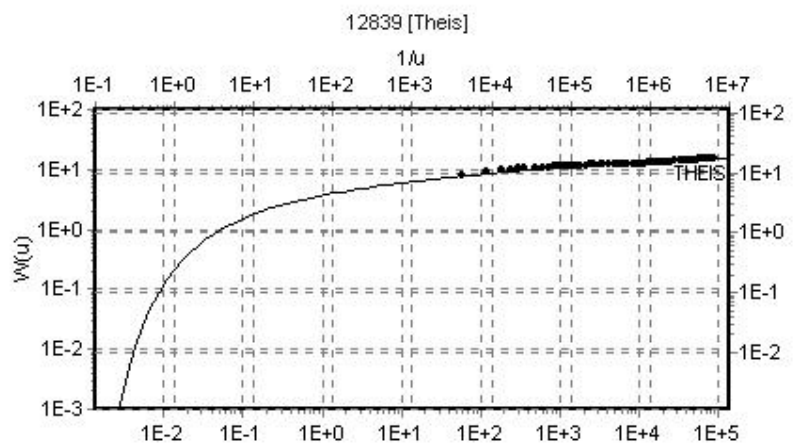
12838 No' lu kuyuya ait Thies yöntemi



$$K = 9,84 \times 10^{-6} \text{ m/sn}$$

$$T = 1,58 \times 10^{-3} \text{ m}^2/\text{sn}$$

12839 No'lu kuyuya ait Cooper-Jacob Time-Drawdown yöntemi

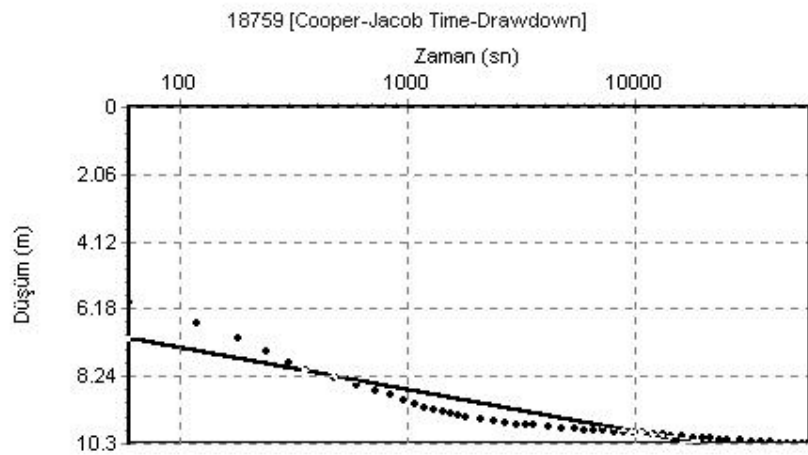


$$K = 8,72 \times 10^{-6} \text{ m/sn}$$

$$T = 1,40 \times 10^{-3} \text{ m}^2/\text{sn}$$

$$S = 0,12$$

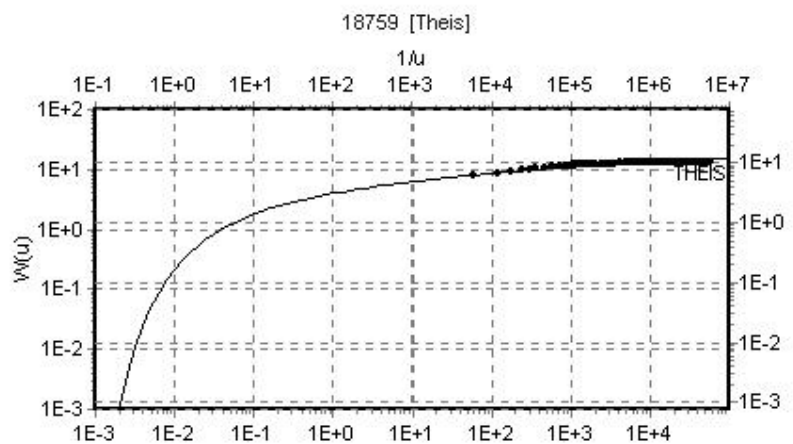
12839 No'lu kuyuya ait Thies yöntemi



$$K = 9,26 \times 10^{-6} \text{ m/sn}$$

$$T = 1,70 \times 10^{-3} \text{ m}^2/\text{sn}$$

18759 No' lu kuyuya ait Cooper-Jacob Time-Drawdown yöntemi

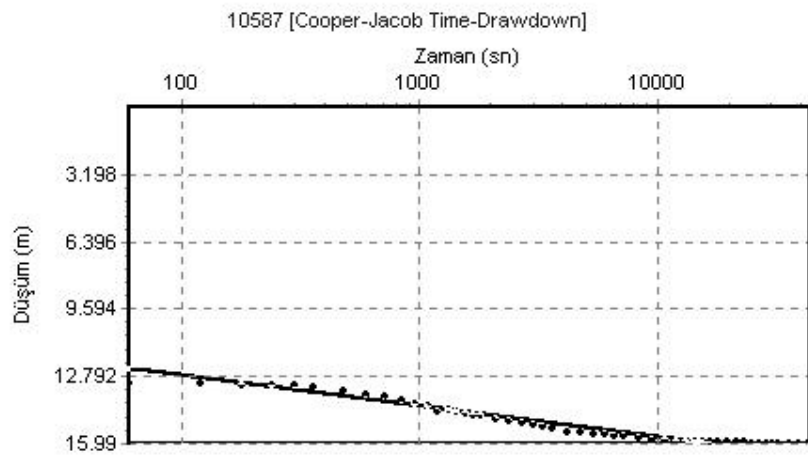


$$K = 6,77 \times 10^{-6} \text{ m/sn}$$

$$T = 1,24 \times 10^{-4} \text{ m}^2/\text{sn}$$

$$S = 1,8 \times 10^{-2}$$

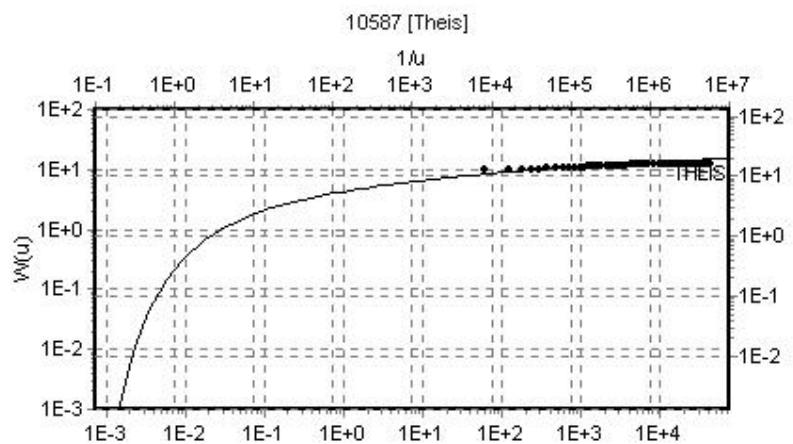
18759 No' lu kuyuya ait Thies yöntemi



$$K = 2,88 \times 10^{-5} \text{ m/sn}$$

$$T = 4,41 \times 10^{-3} \text{ m}^2/\text{sn}$$

10587 No' lu kuyuya ait Cooper-Jacob Time-Drawdown yöntemi

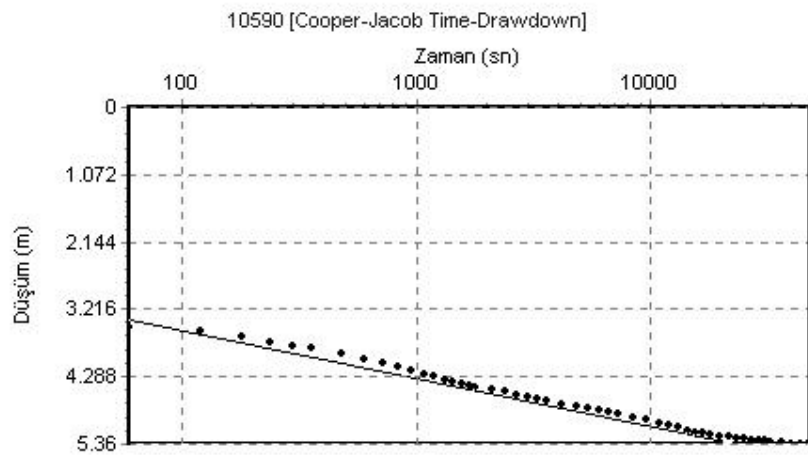


$$K = 1,40 \times 10^{-5} \text{ m/sn}$$

$$T = 2,15 \times 10^{-3} \text{ m}^2/\text{sn}$$

$$S = 3,1 \times 10^{-2}$$

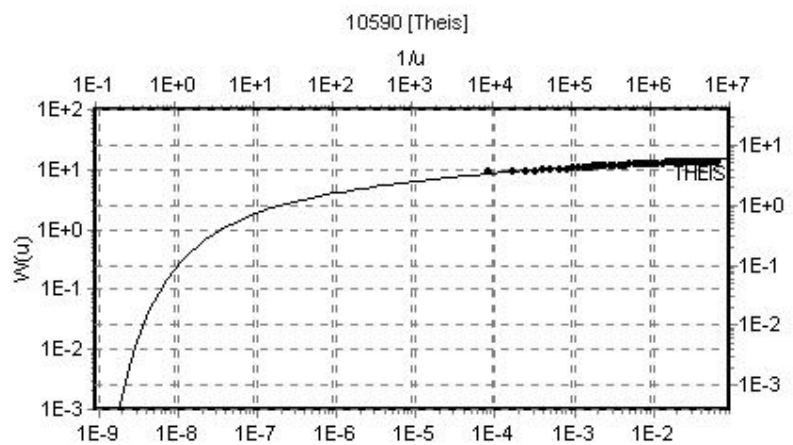
10587 No' lu kuyuya ait Thies yöntemi



$$K = 6,11 \times 10^{-5} \text{ m/sn}$$

$$T = 7,61 \times 10^{-3} \text{ m}^2/\text{sn}$$

10590 No' lu kuyuya ait Cooper-Jacop Time-Drawdown yöntemi

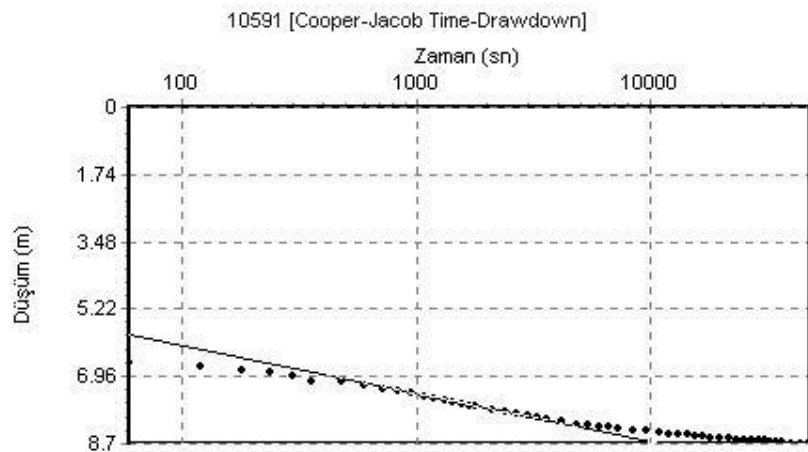


$$K = 5,10 \times 10^{-5} \text{ m/sn}$$

$$T = 6,47 \times 10^{-3} \text{ m}^2/\text{sn}$$

$$S = 1,2 \times 10^{-2}$$

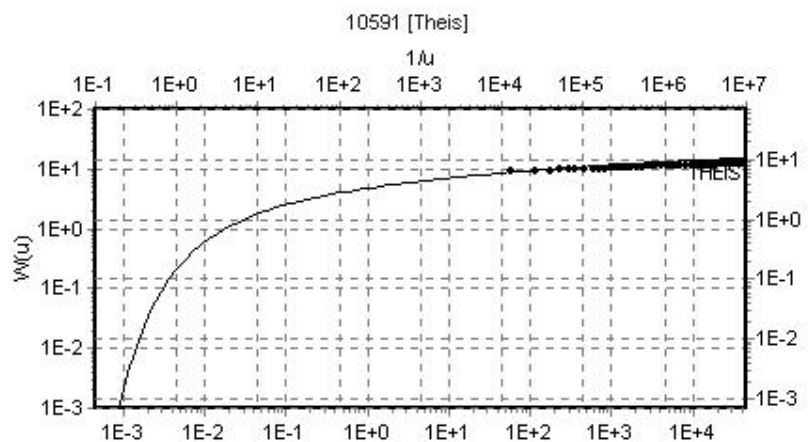
10590 No' lu kuyuya ait Thies yöntemi



$$K = 4,07 \times 10^{-5} \text{ m/sn}$$

$$T = 5,29 \times 10^{-3} \text{ m}^2/\text{sn}$$

10591 No' lu kuyuya ait Cooper-Jacob Time-Drawdown yöntemi

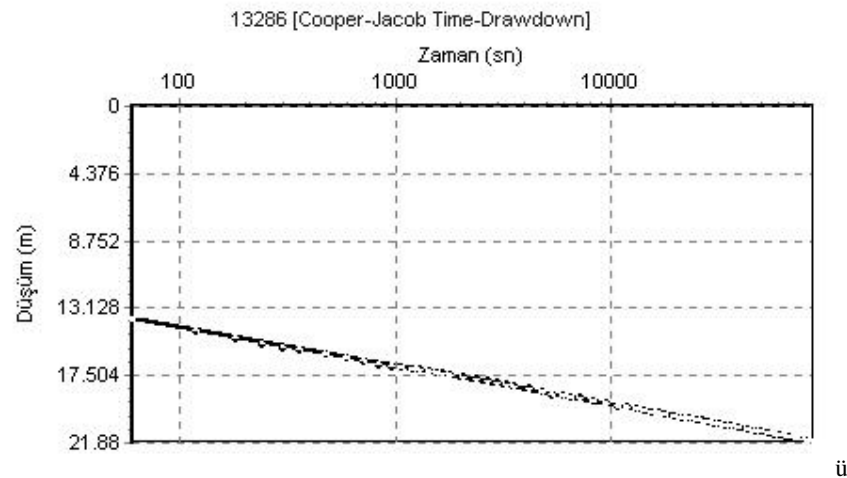


$$K = 3,15 \times 10^{-5} \text{ m/sn}$$

$$T = 4,09 \times 10^{-3} \text{ m}^2/\text{sn}$$

$$S = 1,83 \times 10^{-4}$$

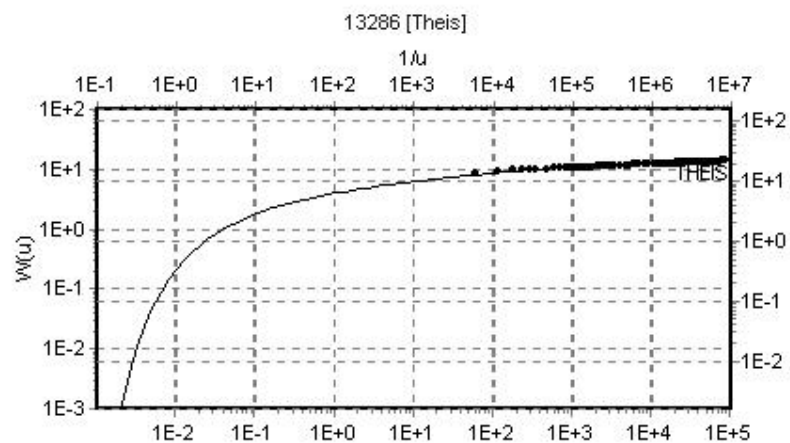
10591 No' lu kuyuya ait Thies yöntemi



$$K = 1,48 \times 10^{-5} \text{ m/sn}$$

$$T = 2,41 \times 10^{-3} \text{ m}^2/\text{sn}$$

13286 No' lu kuyuya ait Cooper-Jacop Time-Drawdown yöntemi

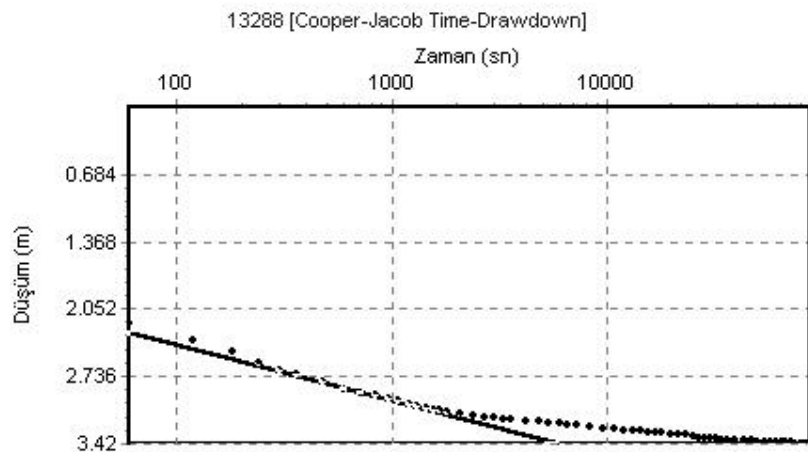


$$K = 1,01 \times 10^{-5} \text{ m/sn}$$

$$T = 11,65 \times 10^{-3} \text{ m}^2/\text{sn}$$

$$S = 2,8 \times 10^{-2}$$

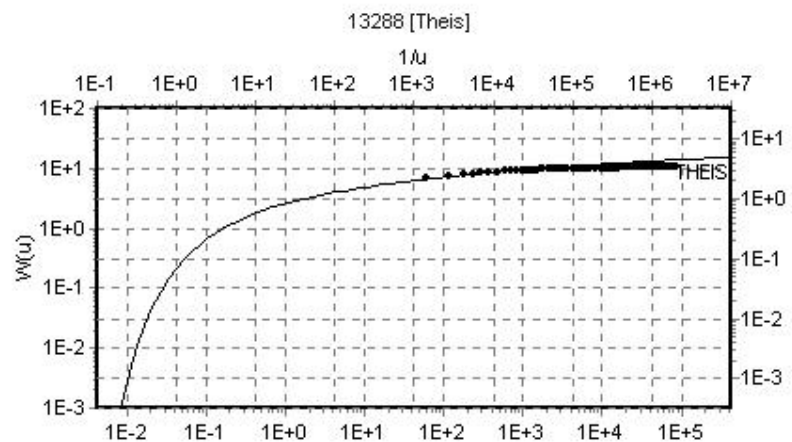
13286 No' lu kuyuya ait Thies yöntemi



$$K = 9,25 \times 10^{-5} \text{ m/sn}$$

$$T = 1,37 \times 10^{-2} \text{ m}^2/\text{sn}$$

13288 No' lu kuyuya ait Cooper-Jacob Time-Drawdown yöntemi

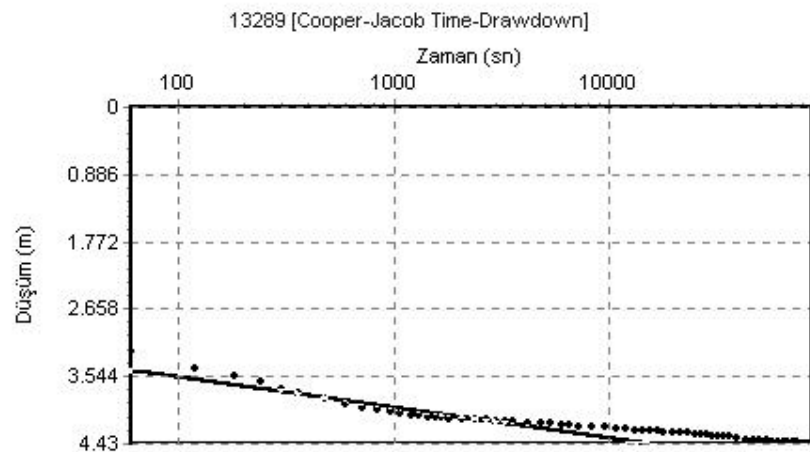


$$K = 6,99 \times 10^{-5} \text{ m/sn}$$

$$T = 1,03 \times 10^{-2} \text{ m}^2/\text{sn}$$

$$S = 2,4 \times 10^{-3}$$

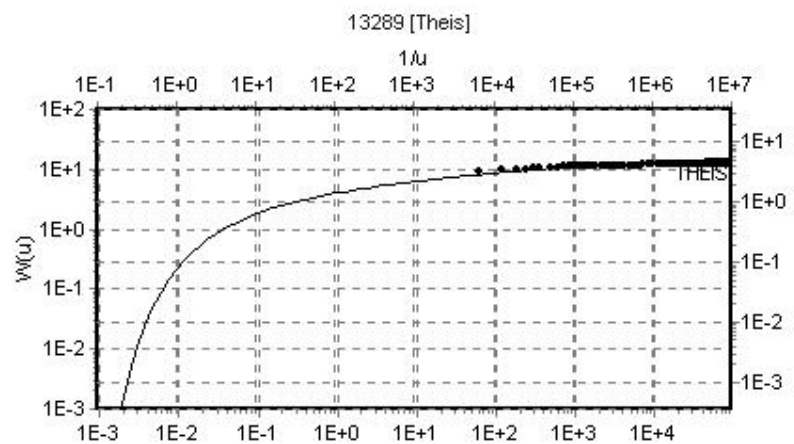
13288 No' lu kuyuya ait Thies yöntemi



$$K = 4,59 \times 10^{-4} \text{ m/sn}$$

$$T = 6,88 \times 10^{-2} \text{ m}^2/\text{sn}$$

13289 No' lu kuyuya ait Cooper-Jacop Time-Drawdown yöntemi

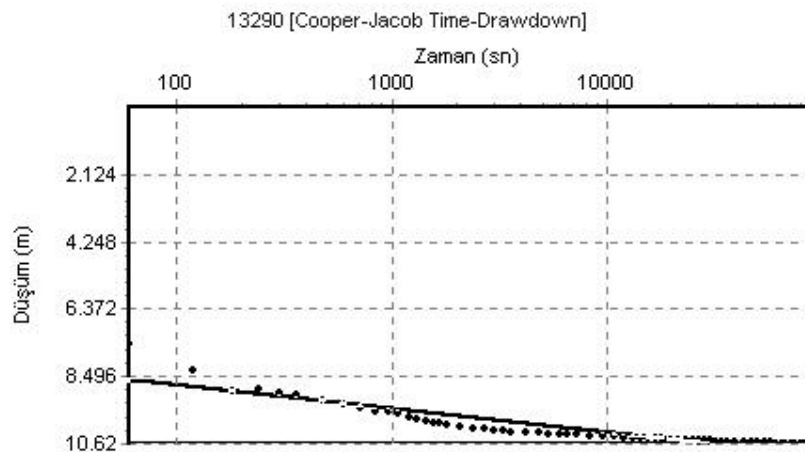


$$K = 2,24 \times 10^{-4} \text{ m/sn}$$

$$T = 3,36 \times 10^{-2} \text{ m}^2/\text{sn}$$

$$S = 1,6 \times 10^{-2}$$

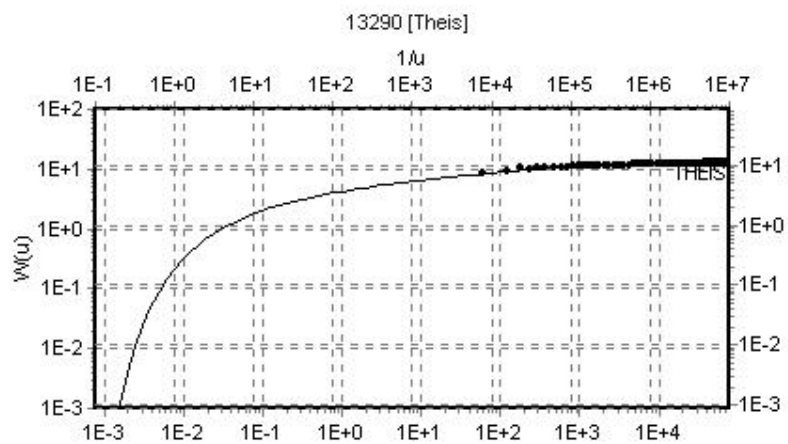
13289 No' lu kuyuya ait Thies yöntemi



$$K = 7,77 \times 10^{-5} \text{ m/sn}$$

$$T = 9,71 \times 10^{-3} \text{ m}^2/\text{sn}$$

13290 No' lu kuyuya ait Cooper-Jacob Time-Drawdown yöntemi

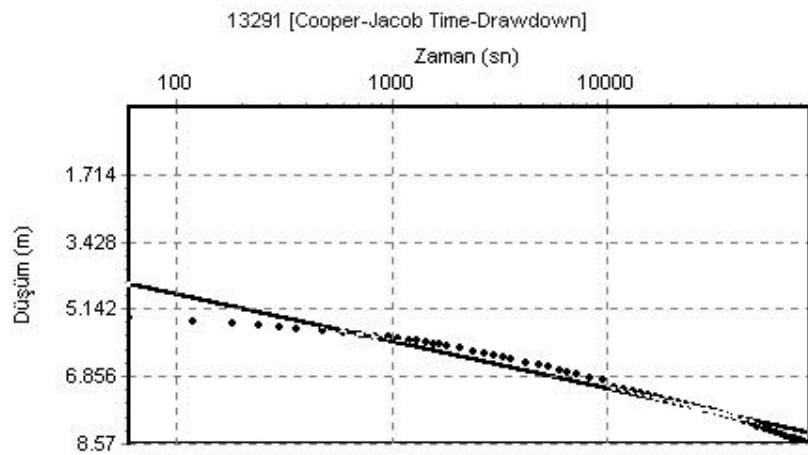


$$K = 2,92 \times 10^{-5} \text{ m/sn}$$

$$T = 3,65 \times 10^{-3} \text{ m}^2/\text{sn}$$

$$S = 7,2 \times 10^{-2}$$

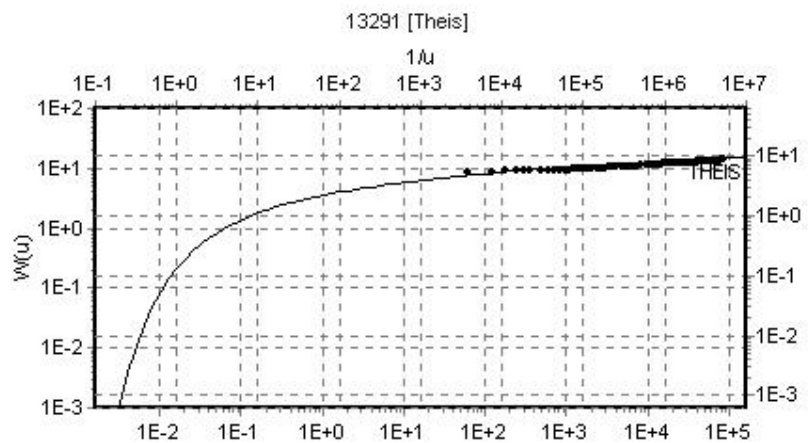
13290 No' lu kuyuya ait Thies yöntemi



$$K = 3,63 \times 10^{-5} \text{ m/sn}$$

$$T = 6,11 \times 10^{-3} \text{ m}^2/\text{sn}$$

13291 No' lu kuyuya ait Cooper-Jacob Time-Drawdown yöntemi



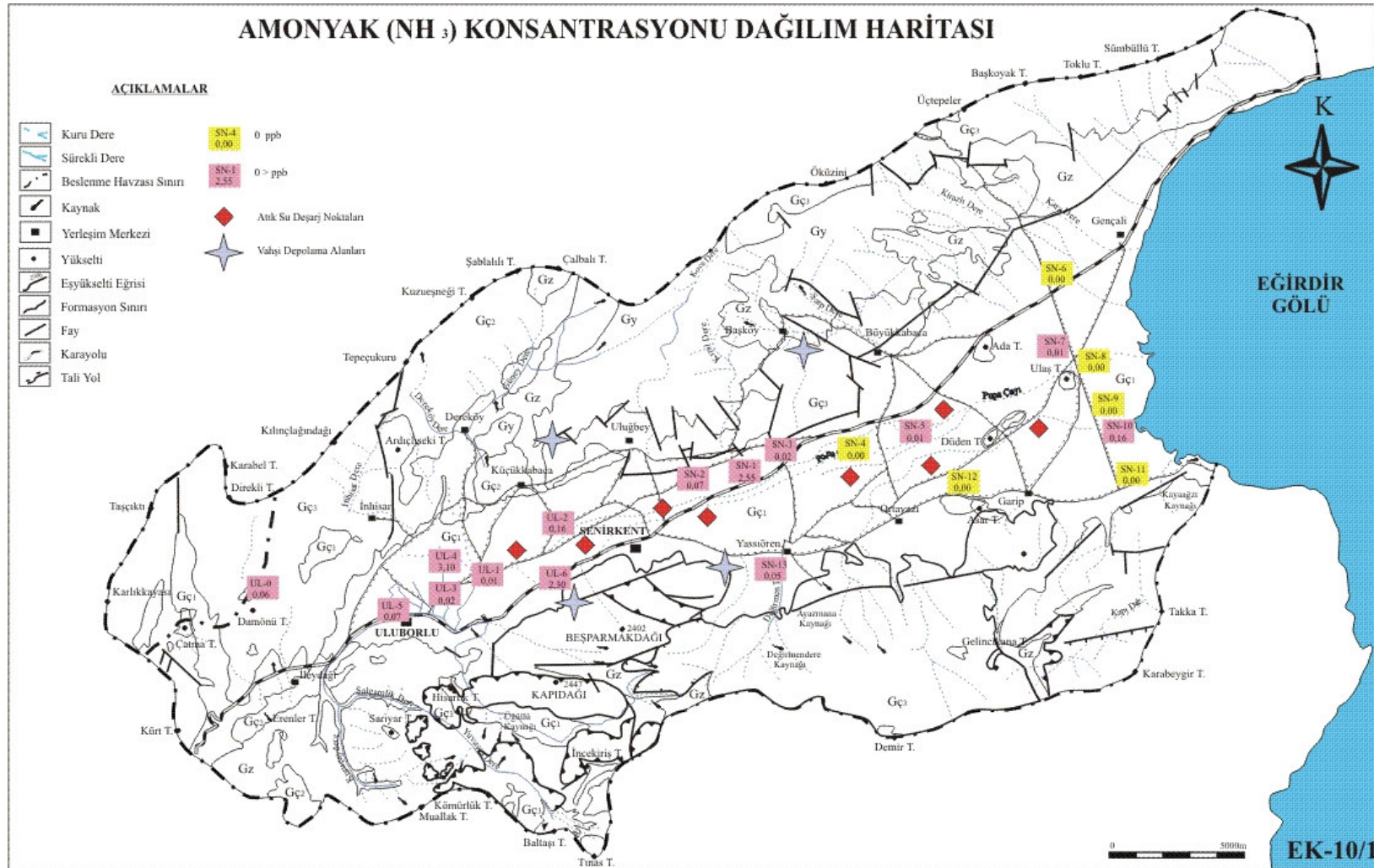
$$K = 3,05 \times 10^{-5} \text{ m/sn}$$

$$T = 5,13 \times 10^{-3} \text{ m}^2/\text{sn}$$

$$S = 2,4 \times 10^{-4}$$

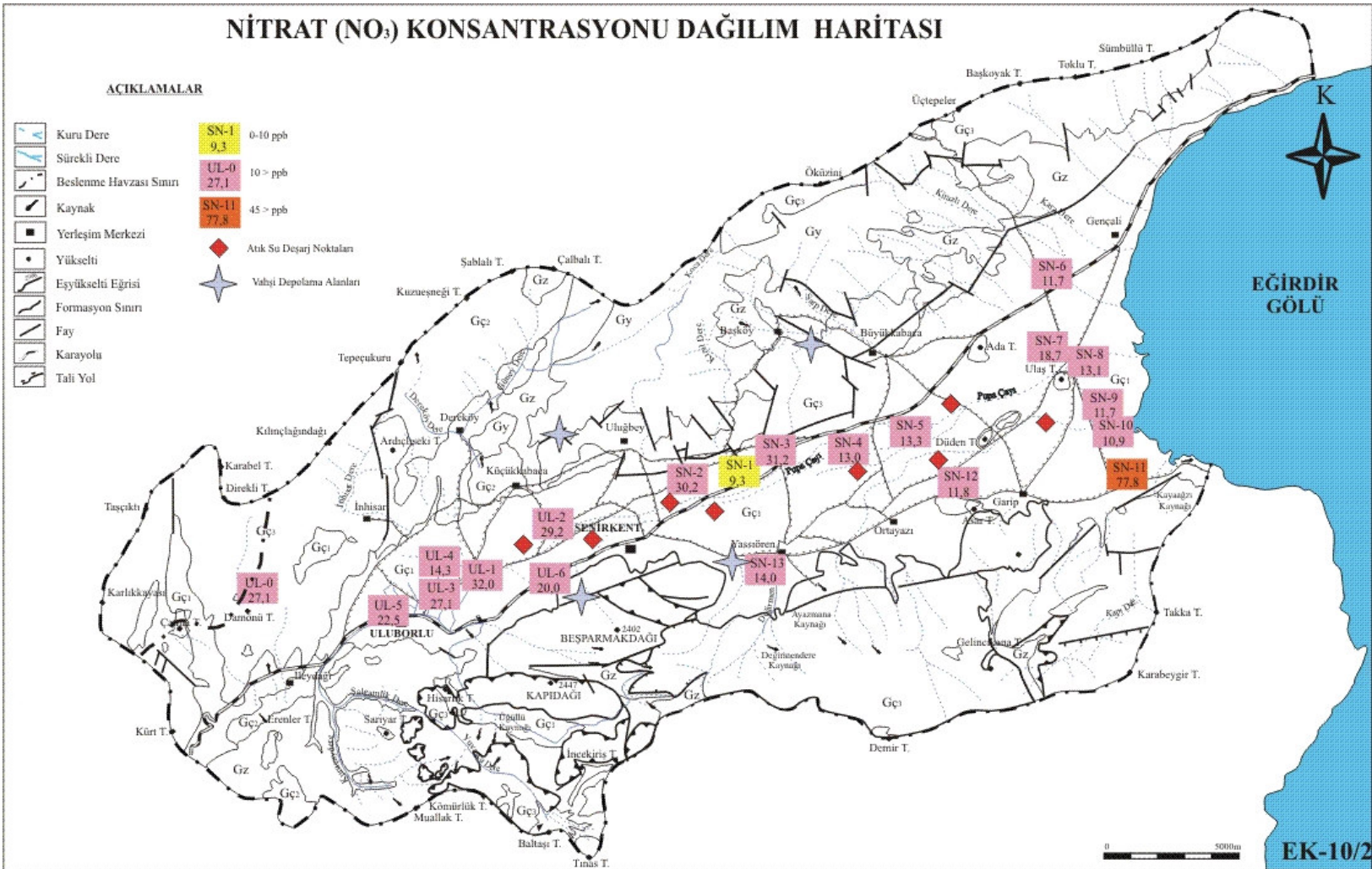
13291 No' lu kuyuya ait Thies yöntemi

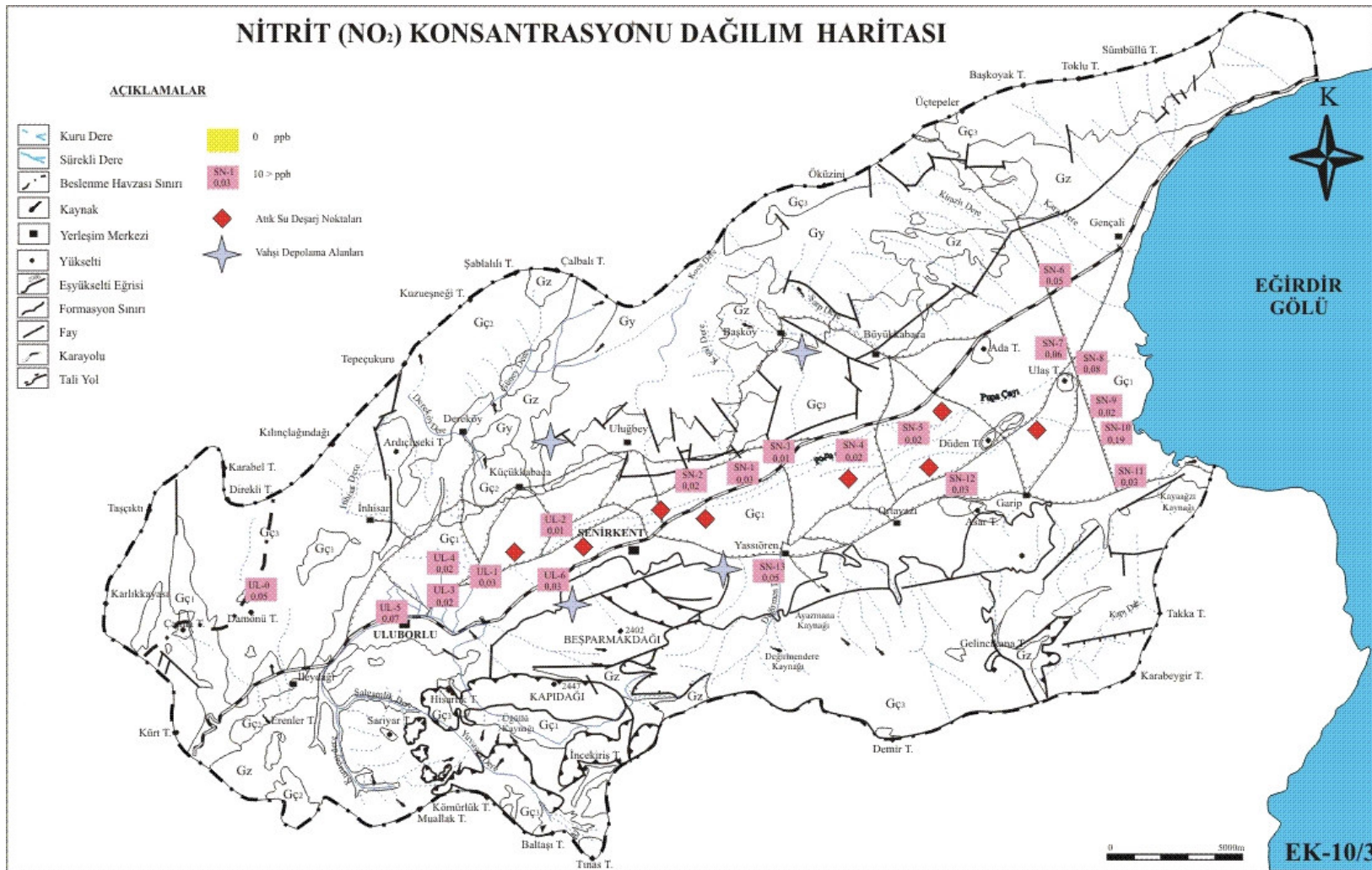
**EK-10**  
**YÜZEWEYERALTISULARINDAAĞIRMETAL,**  
**NİTRAT, NİTRİTveAMONYAK**  
**KONSANTRASYONLARI DAĞILIM HARİTALARI**

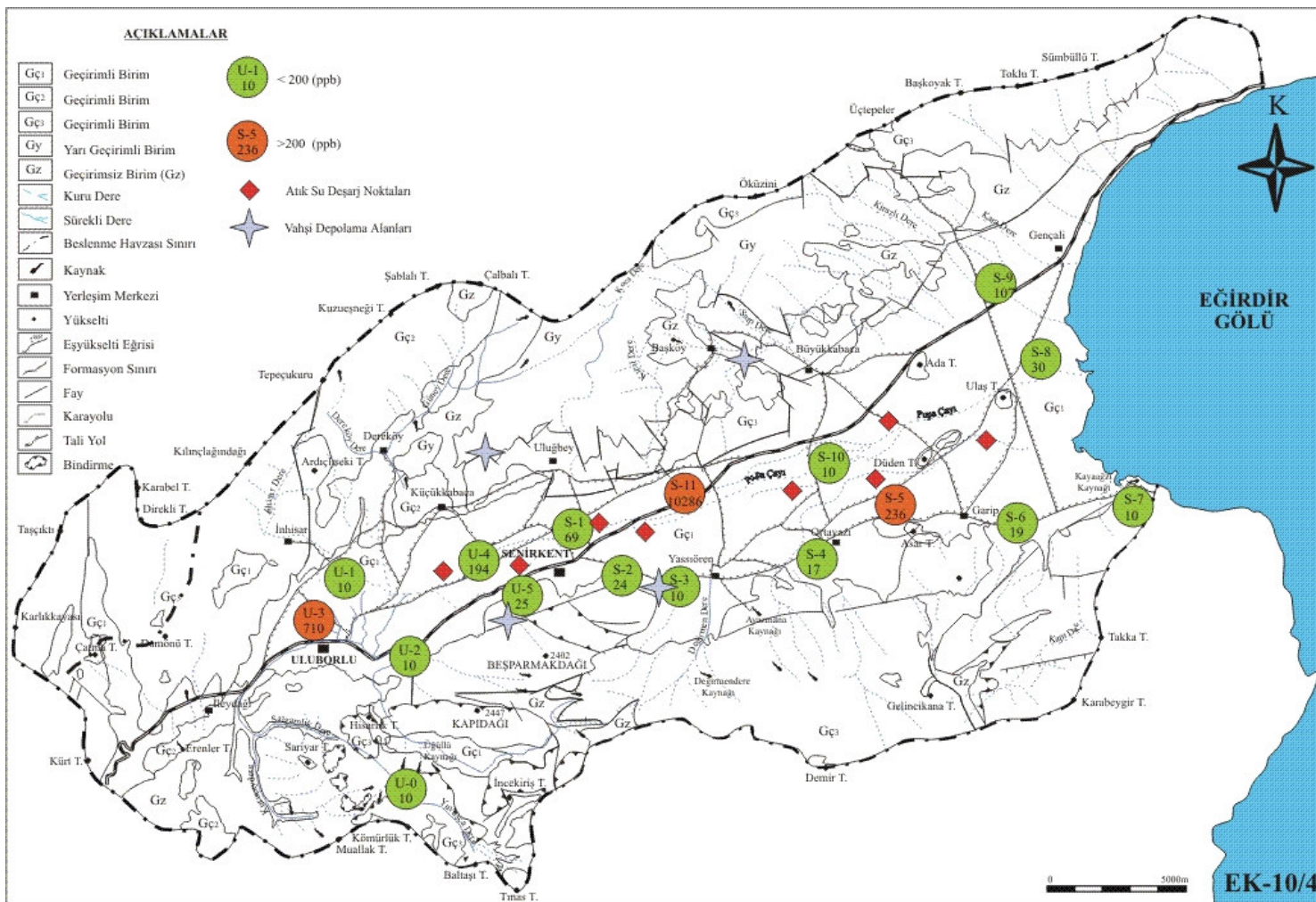


## NİTRAT ( $\text{NO}_3^-$ ) KONSANTRASYONU DAĞILIM HARİTASI

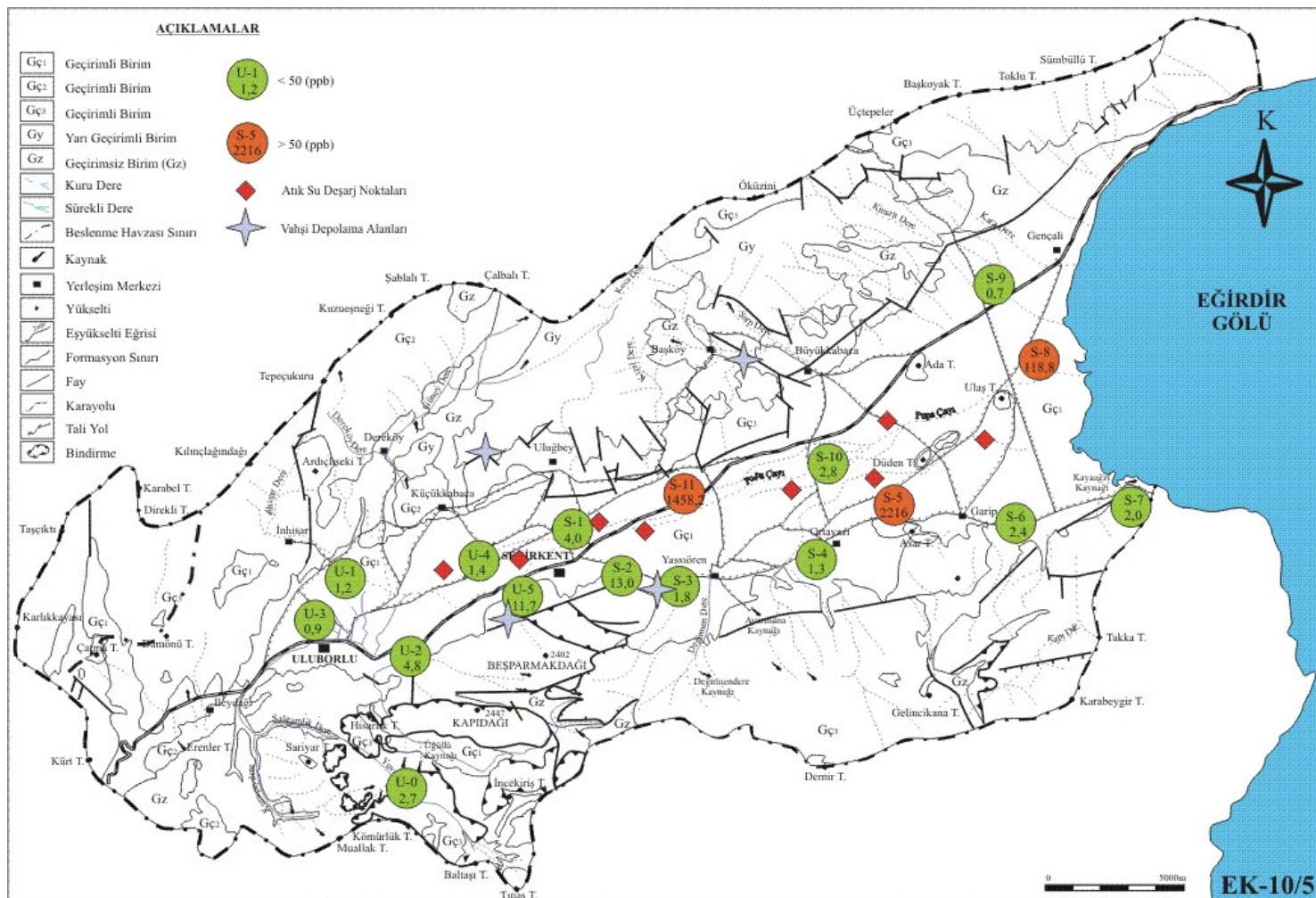
## **AÇIKLAMALAR**



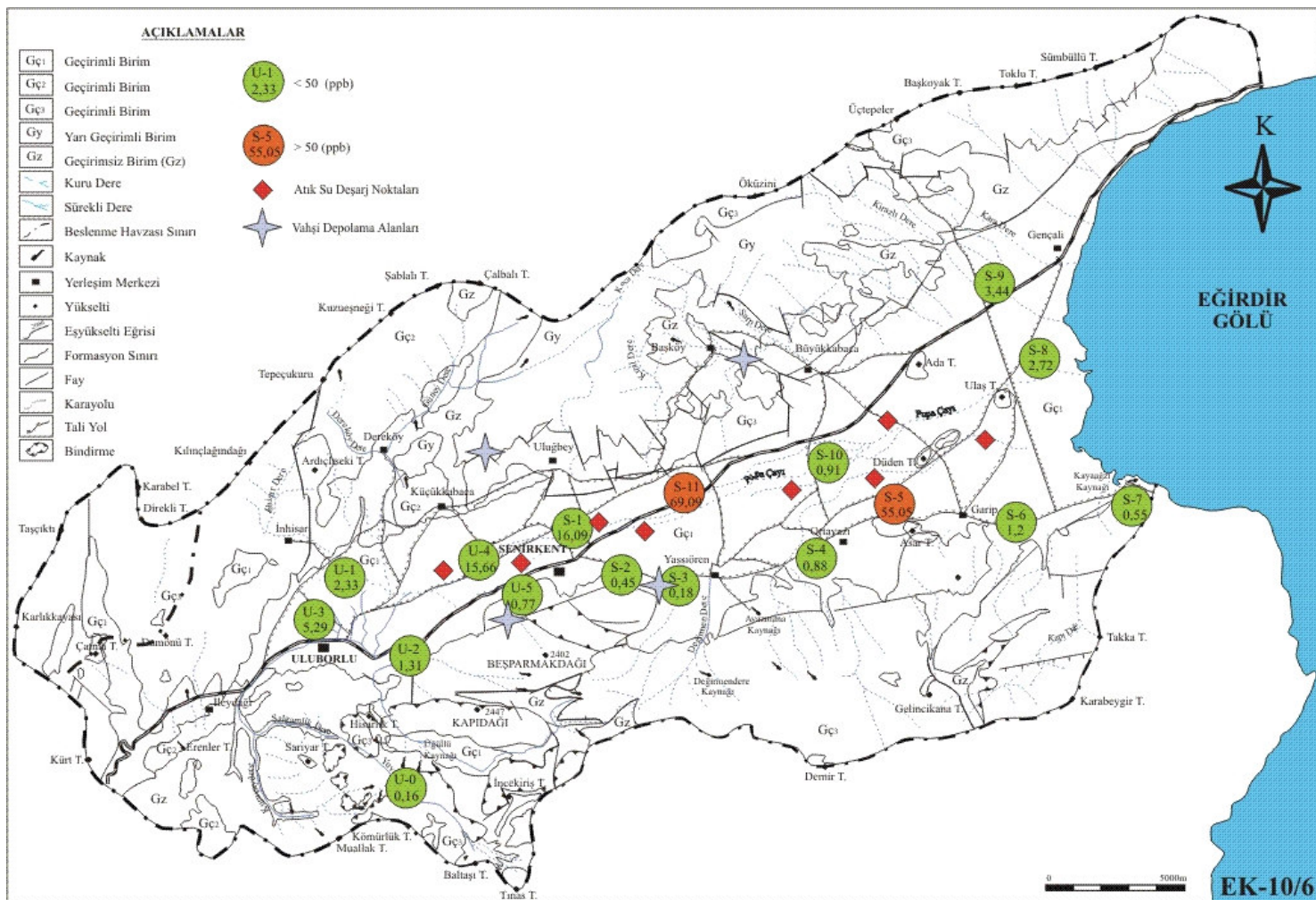




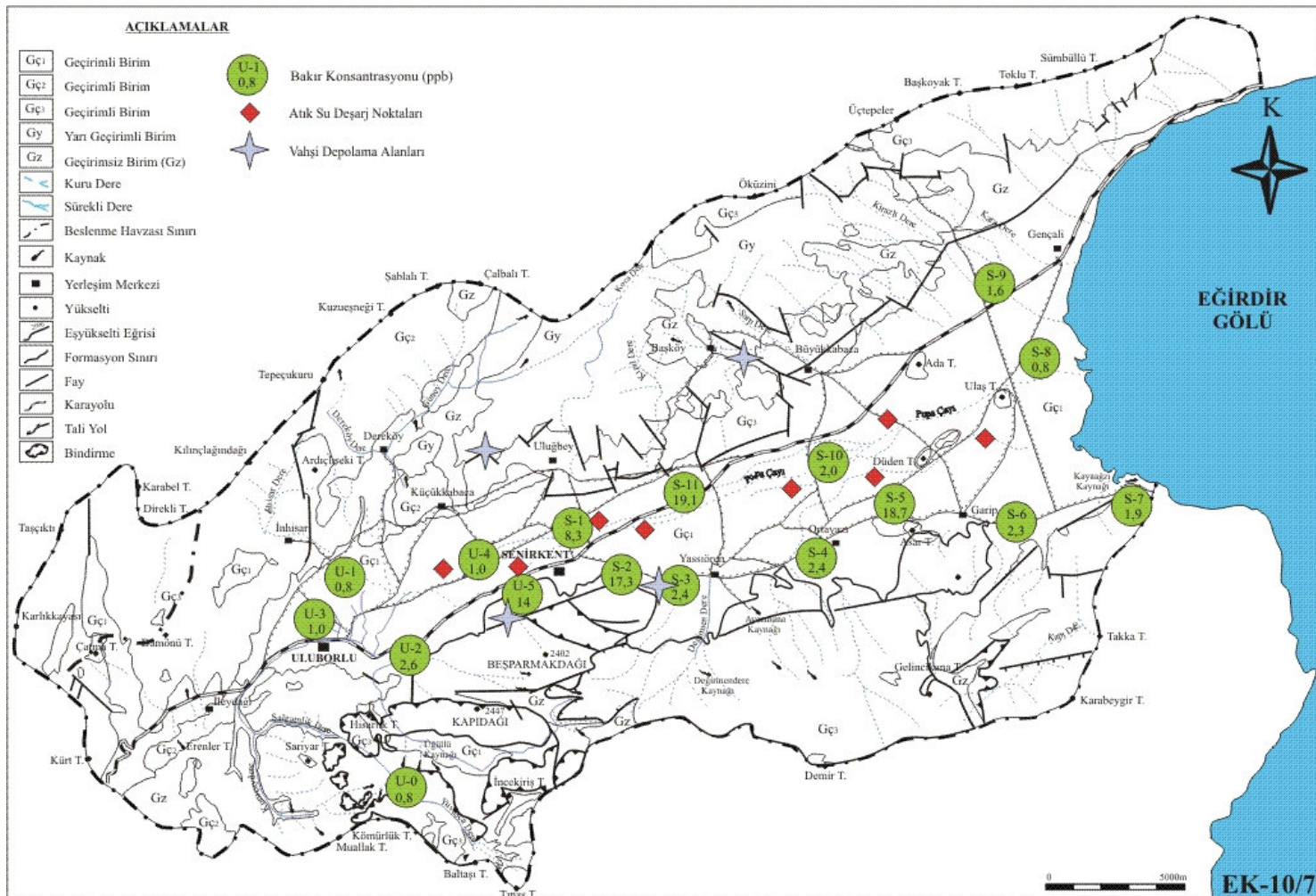
Şekil : Demir Konsantrasyonu (ppb) Dağılım Haritası



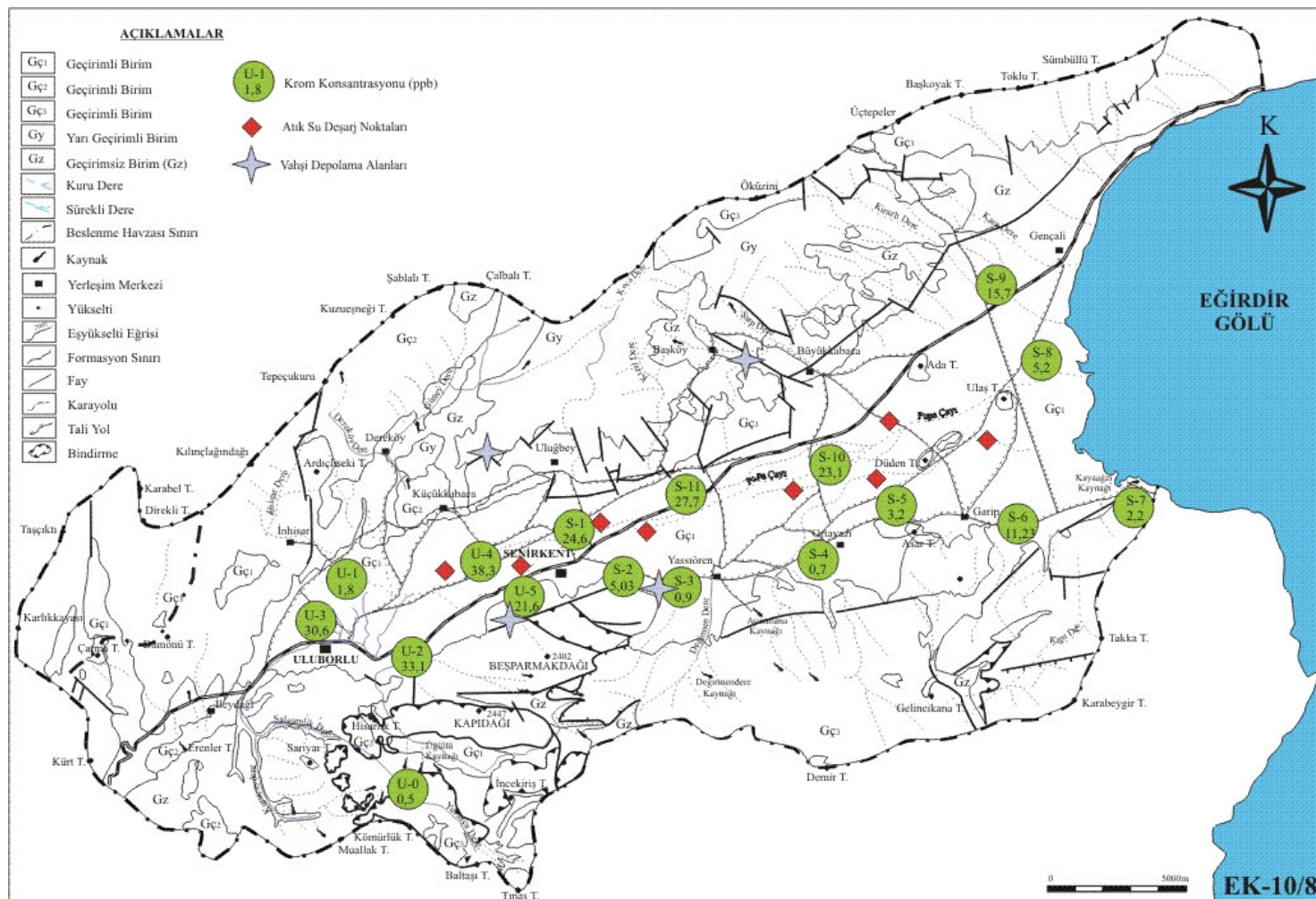
Şekil : Çinko Konsantrasyonu (ppb) Dağılım Haritası



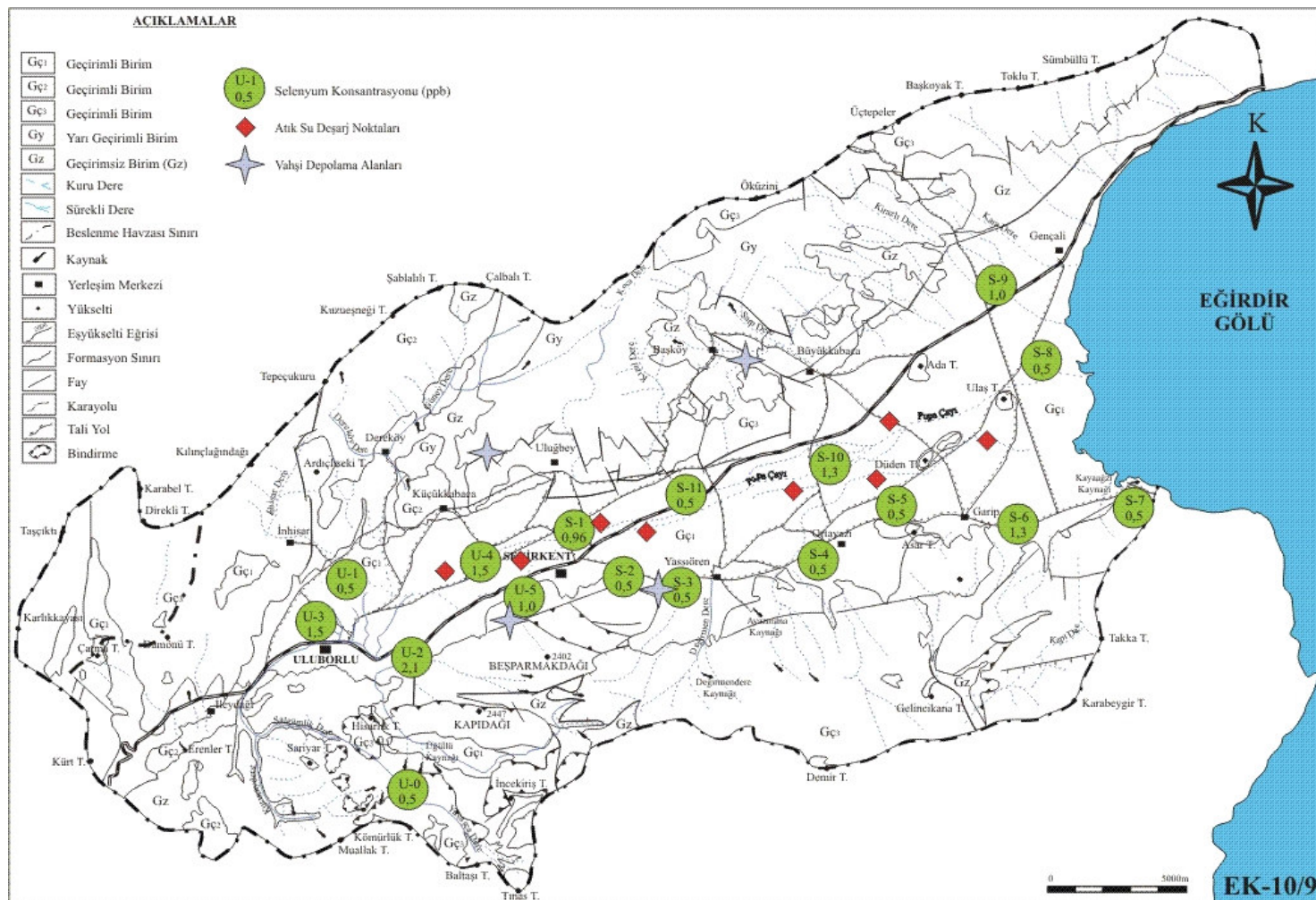
Şekil : Mangan Konsantrasyonu (ppb) Dağılım Haritası

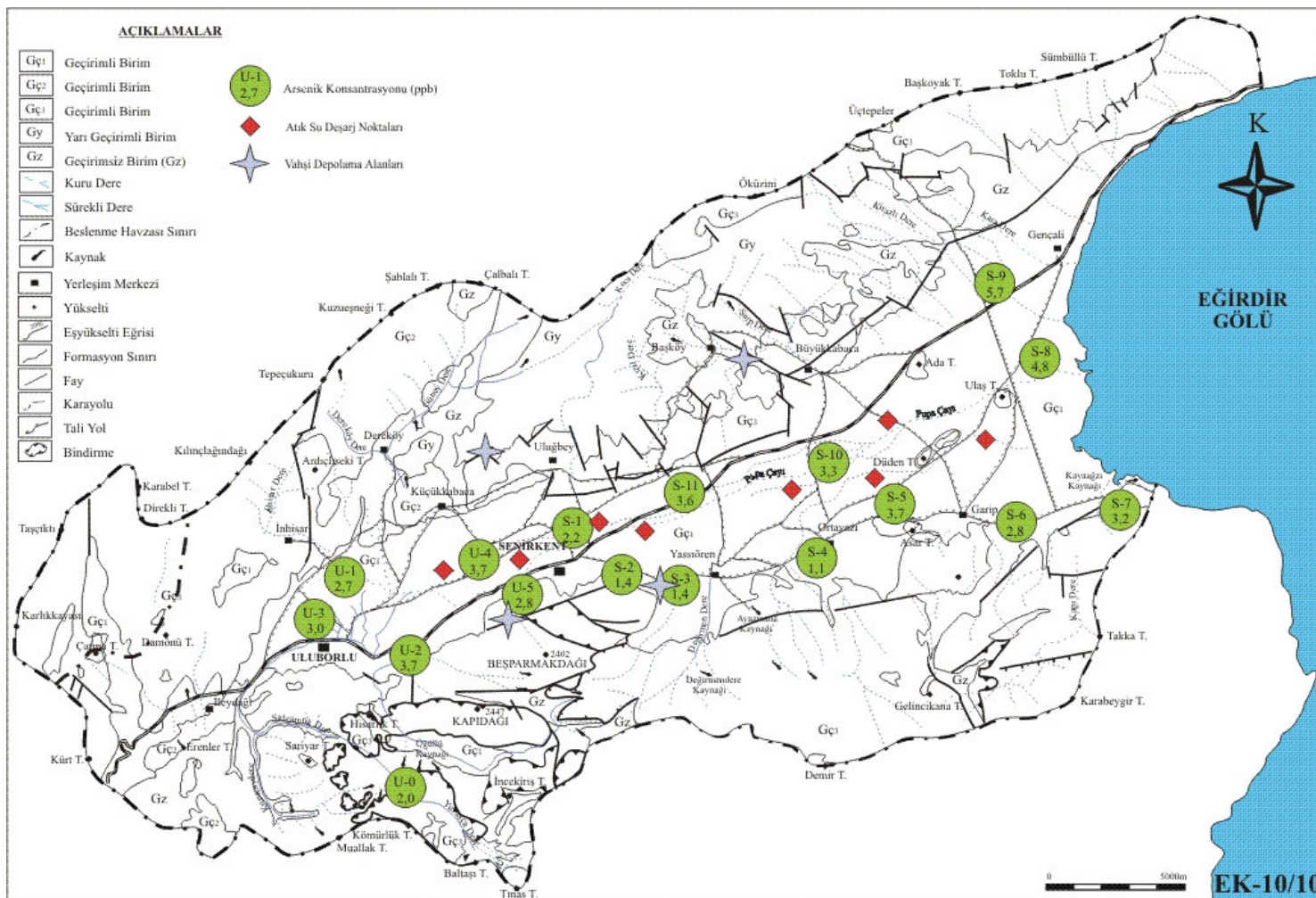


Şekil : Bakır Konsantrasyonu (ppb) Dağılım Haritası

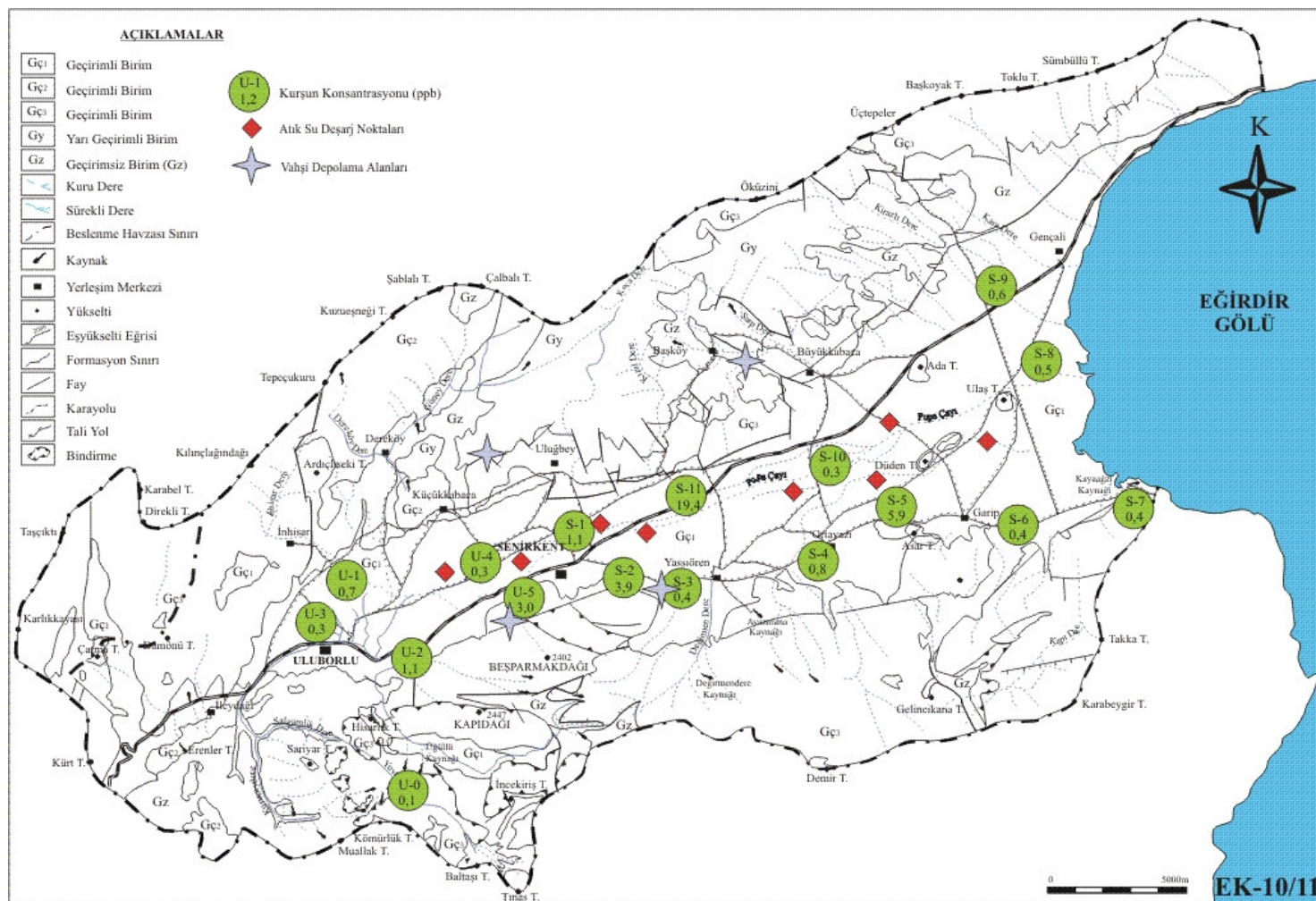


Şekil : Krom Konsantrasyonu (ppb) Dağılım Haritası





Şekil : Arsenik Konsantrasyonu (ppb) Dağılım Haritası



Şekil : Kursun Konsantrasyonu (ppb) Dağılım Haritası